

INSTITUTUL POLITEHNIC „TRAIAN VUIA” TIMISOARA  
FACULTATEA DE ELECTROTEHNICA

ING. IOAN VETRES

CONTRIBUTII PRIVIND DEZVOLTAREA UNOR METODE DE  
CIMP PENTRU DETERMINAREA REZISTIVITATII SI A  
COEFICIENTULUI HALL LA MATERIALE SEMI CONDUCTOARE

BIBLIOTECA CENTRALĂ  
UNIVERSITATEA "POLITEHNICA"  
TIMIȘOARA

CONDUCTOR ȘTIINȚIFIC  
PROF. DR. ING. CONSTANTIN SORA

- 1980 -

INSTITUTUL POLITEHNIC TIMIȘOARA	
BIBLIOTECA	
CENTRALĂ	
Volumul Nr.	402373
Dulap	310 Lit. F

## I N T R O D U C ă R ă

Principalele efecte galvanomagnetice, Hall și magneto-rezistiv, se manifestă într-un mediu conductor sau semiconductor sub acțiunea simultană a unui câmp electric și a unui câmp magnetic. Prezența câmpului magnetic determină în general atât modificarea spectrului intensității câmpului electric cât și a densității de curent din placa conductoare sau semiconductoră. Această modificare are ca rezultat pe de o parte apariția unei tensiuni între două puncte situate pe o suprafață ecipotentială în absența câmpului magnetic, numită tensiune Hall ( $U_H$ ), vorbindu-se astfel de efectul Hall, iar pe de altă parte conduce la modificarea rezistenței electrice a plăcii față de bornele de alimentare,  $R(B) \neq R(0)$ , vorbindu-se astfel de efectul magneto-rezistiv. Modificarea rezistenței electrice a plăcii se datorește atât modificării rezistivității materialului (efect magnetorezistiv fizic) cât și influenței formei și dimensiunilor plăcii și a electrozilor (efect magnetorezistiv geometric).

Utilizarea pe scară largă în tehnică a dispozitivelor galvanomagnetice a fost posibilă în principal datorită progresului înregistrat în direcția realizării de noi materiale semiconductoră cu proprietăți corespunzătoare, precum și ca urmare a cercetărilor efectuate atât în ceea ce privește câmpul electric stabilit în sonda Hall [22,39,95], cât și comportarea acestor dispozitive ca elemente de circuit [24,95,96]. Se pot releva în mod deosebit aplicațiile dispozitivelor galvanomagnetice din domeniul măsurărilor și automatizării [8,12,13,18,34,45,66,79]. În cadrul unor contracte de colaborare ale catedrei de Bazele electrotehnicii de la Institutul Politehnic „Traian Vuia” din Timișoara cu unități de producție și proiectare au fost elaborate de către colective, din care a făcut parte și autorul tezei de doctorat, sub conducerea tov.prof.dr.ing. Constantin Sora, unele dispozitive galvanomagnetice folosite în măsurări și telecomenzi dintre care se pot menționa teslanmetru Hall (cu IASM Timișoara), telewattmetru Hall (cu IRS Timișoara) și kiloampermetru Hall (cu ICP Electroputere Craiova). În acest context se poate menționa și faptul că determinările experimentale

efectuate de autor privind valorile rezistivității și coeficientului Hall a mai multor materiale semiconductoare indigene, precum și dependența lor de inducția magnetică și de temperatură a permis alegerea unui material semiconductor adecvat și a unei scheme electrice relativ simplă pentru teslametru Hall, soluție care a stat la baza celei adoptate ulterior de IASM Timișoara pentru realizarea prototipului industrial de teslametru Hall.

Caracterizarea materialelor semiconductoare din punct de vedere al proprietăților electrice, specifice efectelor galvanomagnetice, se face pe baza unor parametri fizici (de material) între care un rol important îl au conductivitatea electrică  $\sigma$  (respectiv rezistivitatea electrică  $\rho$ ) și coeficientul Hall  $C_H$ . Cu ajutorul acestora se pot determina și alți parame-

tri cum ar fi concentrația, mobilitatea și semnul purtătorilor de sarcină electrică. De asemenea se pot obține informații asupra interacțiunii dintre purtătorii de sarcină și rețeaua cristalină, asupra gradului de omogenitate, anizotropie, etc. Cunoașterea acestor parametri prezintă importanța pe de o parte în diferite stadii de preparare a materialului, iar pe de altă parte în etapa de utilizare, pentru a ști dacă materialul obținut are proprietățile cerute pentru construirea dispozitivului tehnic avut în vedere (generator Hall, traductor magnetorezistiv, etc). Cunoașterea parametrilor fizici ai materialelor semiconductoare prezintă și un interes practic în legătură cu comportarea dispozitivelor ce folosesc astfel de materiale. Este cunoscut faptul că parametrii globali, care intervin în ecuațiile ce descriu comportarea dispozitivelor galvanomagnetice ca elemente de circuit electric, depind și de parametrii fizici ai materialului semiconductor folosit.

Deoarece manifestarea efectelor galvanomagnetice se face în prezența cîmpului magnetic, în unele situații se pune în mod deosebit și problema dependenței parametrilor fizici de inducția magnetică,  $\rho(B)$  și  $C_H(B)$ . În tehnică determinarea acestor parametri fizici ai materialelor semiconductoare se face indirect prin măsurarea unor parametri globali ca rezistențe proprii și de transfer ale dispozitivelor confecționate din materialul respectiv și prin rezolvarea problemei cîmpului electric din plăcile semiconductoare. Datorită cîmpului electric suplimentar

din placă în prezența inducției magnetice, rezolvarea problemei câmpului prezintă unele dificultăți chiar în cazul unei plăci semiconductoare de geometrie relativ simplă, situată într-un câmp magnetic uniform și transversal. Se poate menționa de ex. faptul că condițiile pe frontieră nu sînt de tip Dirichlet sau Neuman, exprimîndu-se în funcție de tangenta unui unghi  $\theta$ , denumit și unghi Hall, ce depinde și de valoarea parametrilor  $\rho(B)$  și  $C_H(B)$ . Dificultatea determinării parametrilor menționați  $\rho(B)$  și  $C_H(B)$  constă deci în faptul că stabilirea soluției de câmp pentru o anumită valoare a inducției magnetice presupune în general cunoașterea acestor parametri.

Obiectivul principal urmărit în lucrare este dezvoltarea unor metode de calcul a parametrilor fizici ai materialelor semiconductoare utilizate la dispozitive galvanomagnetice, inclusiv noi soluții, într-un cadru mai larg și anume ținînd seama de prezența câmpului magnetic. Rezolvarea acestui obiectiv a necesitat și abordarea unor probleme cu caracter mai general, nespecificate în literatură, în legătură cu definirea parametrilor fizici ai materialelor semiconductoare în concordanță cu necesitățile din tehnică și unele precizări privind parametrii globali, în câmp magnetic, ținînd seama și de sensul inducției magnetice. De asemenea, dezvoltarea acestor metode a fost posibilă numai în urma unei analize critice a metodelor existente, din punct de vedere al ipotezelor și domeniilor r specifice de utilizare, în care scop au fost efectuate calcule de câmp urmărind stabilirea unor expresii pentru diferite mărimi și a erorilor care intervin.

Aceste obiective au fost realizate în cadrul a cinci capitole astfel:

În primul capitol este analizată problema parametrilor fizici ai materialelor semiconductoare și a unor parametri globali ai dispozitivelor galvanomagnetice. Pe baza legii conducției electrice în prezența câmpului magnetic stabilită în cadrul fizicii corpului solid, se propune o modalitate de definire a rezistivității materialelor semiconductoare omogene și izotrope, în câmp magnetic transversal, făcîndu-se și unele precizări în legătură cu caracterul scalar al rezistivității electrice. Se demonstrează o teoremă de reciprocitate în câmp magnetic uniform, pe baza căreia se stabilește independența rezistențelor proprii de sensul câmpului magnetic și se fac referiri la rezistențele de transfer.



În capitolul al doilea se face o sistematizare a metodelor de determinare a parametrilor fizici ai materialelor semiconductoare reliefându-se anumite ipoteze de calcul și domenii de utilizare. Se face referire la determinarea rezistivității în prezența câmpului magnetic, problemă ce ocupă un loc restrâns în literatura de specialitate, stabilindu-se în ce condiții relațiile de calcul folosite pentru determinarea rezistivității în absența câmpului magnetic pot fi folosite și în câmp magnetic.

Capitolul al treilea se referă la calculul câmpului electrocinetic în sisteme simetrice situate în câmp magnetic transversal, uniform și invariabil în timp. Aceasta permite deducerea unor expresii de calcul ale parametrilor  $\rho(B)$  și  $C_H(B)$  în cazul unor plăci circulare, dreptunghiulare și de extindere foarte mare. Valorile factorilor ce intervin în aceste expresii sînt calculate numeric. Determinînd câmpul din plăci circulare cu metoda funcției Green se stabilește influența dimensiunilor finite a unor plăci, considerate cu extindere foarte mare. De asemenea pe baza unor analogii electrostatice se determină influența dimensiunilor finite ale electrozilor de alimentare, considerați filiformi.

În capitolul al patrulea se analizează unele metode de calcul pentru plăci de formă oarecare. Datorită avantajelor pe care le prezintă metoda Van der Pauw, se demonstrează valabilitatea acestei metode și în câmp magnetic transversal și se relevă anumite aspecte caracteristice ale aplicării ei în prezența inducției magnetice. S-a elaborat un program de calcul numeric al rezistivității folosind algoritmul Newton - Raphson. Se analizează și metoda modelizării electrocinetice pentru determinarea  $\rho(B)$  și  $C_H(B)$  la plăci de formă oarecare cu electrozi de alimentare arbitrari, în care scop se propune o nouă metodă de determinare a tensiunii Hall.

În capitolul al cincilea sînt menționate determinările experimentale și rezultatele obținute privind dependența de valoarea și sensul inducției magnetice a unor parametri globali ai dispozitivelor galvanomagnetice precum și a rezistivității și coeficientului Hall ai diferitelor materiale semiconductoare. Se fac unele comparații între diferite rezultate obținute experimental prin metode diferite. Conțin și unele date constructive ale instalației de măsurare a efectelor galvanomagnetice și implicit a parametrilor fizici ai materialelor semiconductoare, instalație realizată după concepția autorului.

Autorul își exprimă recunoștința conducătorului său științific Prof.dr.ing.Constantin Sora pentru interesul și atenția acordată acestei lucrări. Indrumările competente, de un ridicat nivel științific au fost de mare utilitate autorului atât pentru elaborarea tezei de doctorat, pentru activitatea de cercetare în general cât și pentru activitatea didactică. De asemenea autorul mulțumește colegilor din catedră, care prin discuțiile purtate au contribuit la fundamentarea ideilor prezentate în această lucrare.

## C A P I T O L U L I

### PARAMETRII FIZICI AI MATERIALELOR SEMICONDUCTOARE SI PARAMETRII GLOBALI AI DISPOZITIVELOR GALVANOMAGNETICE.

#### 1.1. Legea conductiei electrice în câmp magnetic

Rezultate satisfăcătoare în descrierea fenomenelor de transport ce au loc în solide, cum sînt și fenomenele galvanomagnetice, se obțin dacă se ia în considerare printr-un procedeu statistic numărul mare de particule existente într-un solid și care să țină seama de rolul diferit al purtătorilor de sarcină aflați în stări diferite. O astfel de tratare teoretică suficient de riguroasă se poate face cu ajutorul ecuației cinetice a lui Boltzmann [32, 56, 74]

$$-\frac{\partial f}{\partial t} = (\bar{v} \cdot \nabla_{\mathbf{r}} f) + \frac{1}{\hbar} (\mathbf{F} \cdot \nabla_{\mathbf{k}} f) + \frac{1}{\hbar} (\mathbf{F}_1 \cdot \nabla_{\mathbf{k}} f) \quad (1.1)$$

în care :

-  $f(\bar{\mathbf{r}}, \bar{\mathbf{k}}, t)$  reprezintă funcția de distribuție a purtătorilor de sarcină liberi de un anumit tip, respectiv probabilitatea ca un purtător mobil de sarcină la momentul  $t$  să ocupe o stare energetică din volumul unitar al spațiului faze, construit în jurul punctului din acest spațiu de coordonate  $(\bar{\mathbf{r}}, \bar{\mathbf{k}})$ .

-  $\bar{v}$  reprezintă viteza purtătorului de sarcină în raport cu rețeaua cristalină.

-  $\nabla_{\mathbf{r}}$  și  $\nabla_{\mathbf{k}}$  reprezintă operatorul gradient în spațiul coordonatelor și respectiv în spațiul vectorului de undă  $\bar{\mathbf{k}}$ . Vectorul de undă  $\bar{\mathbf{k}}$  indică direcția și sensul de propagare a undei asociate particulelor, modulul său fiind invers proporțional cu lungimea de undă,  $|\bar{\mathbf{k}}| = 1/\lambda$ .

-  $\mathbf{F}$  reprezintă forța exterioară ce determină apariția unei mișcări orientate a purtătorilor mobili de sarcină în spațiul faze.

-  $\mathbf{F}_1$  reprezintă rezultanta forțelor determinate de câmpurile interioare adică de abateri ale periodicității rețelei cristaline, provocate de atomi sau ioni a impurităților, de vibrațiile termice ale rețelei, etc.

-  $\hbar$  reprezintă o constantă ce are valoarea  $\hbar = h/2\pi$ ,  $h$  fiind constanta lui Planck.

Interacțiunea purtătorului mobil de sarcină cu rețeaua cristalină poate produce o variație considerabilă a vitezei acestuia echivalentă cu o ciocnire, motiv pentru care ultimul termen din ecuația (1.1) se scrie în forma [32, 56, 74].

$$\frac{1}{\hbar} (\bar{F}_i \cdot \nabla_k f) = - \left( \frac{\partial f}{\partial t} \right)_{\text{ciocnire}} = \frac{f(\bar{r}, \bar{k}, t) - f_0(\bar{r}, \bar{k})}{\tau(\bar{k})} \quad (1.2)$$

în care  $f_0(\bar{r}, \bar{k})$  este funcția de distribuție în starea de echilibru iar  $\tau(\bar{k})$  este timpul de relaxare ce exprimă timpul după care se stabilește starea de echilibru după dispariția acțiunii câmpului exterior. Pentru o stare staționară ( $\partial f / \partial t = 0$ ), ecuația (1.1) devine

$$\bar{v} \cdot \nabla_r f(\bar{r}, \bar{k}) + \frac{1}{\hbar} \bar{F} \cdot \nabla_k f(\bar{r}, \bar{k}) = - \frac{f(\bar{r}, \bar{k}) - f_0(\bar{r}, \bar{k})}{\tau(\bar{k})} \quad (1.3)$$

Într-o aproximație de primul ordin soluția ecuației (1.3) se caută în forma

$$f(\bar{r}, \bar{k}) = f_0(\bar{r}, \bar{k}) + f^{(1)}(\bar{r}, \bar{k}) \quad (1.4)$$

care se introduce în relația (1.3). Ținând seama de expresia funcției de distribuție pentru starea de echilibru

$$f_0(\bar{r}, \bar{k}) = e \left[ \frac{\epsilon(\bar{k}) - \mathcal{F}(\bar{r})}{k_B T(\bar{r})} + 1 \right]^{-1}$$

în care  $\epsilon(\bar{k})$  este energia totală ce caracterizează starea purtătorului,  $\mathcal{F}(\bar{r})$  poartă numele de energia sau nivelul Fermi,  $T(\bar{r})$  este temperatura absolută iar  $k_B$  constanta lui Boltzmann, se obține pentru  $f^{(1)}(\bar{r}, \bar{k})$  ecuația [56]

$$\begin{aligned} & - \frac{f^{(1)}(\bar{r}, \bar{k})}{\tau(\bar{k})} - (\bar{v} \cdot \nabla_r \mathcal{F}) \frac{\partial f_0}{\partial \epsilon} - (\epsilon - \mathcal{F}) (\bar{v} \cdot \nabla_r \ln T) \frac{\partial f_0}{\partial \epsilon} + (\bar{v} \cdot \nabla_r f^{(1)}) + \\ & + \left[ e \bar{E} + e(\bar{v} \times \bar{B}) \right] \cdot \bar{v} \frac{\partial f_0}{\partial \epsilon} + \frac{1}{\hbar} \left[ e \bar{E} + e \bar{v} \times \bar{B} \right] \cdot \nabla_k f^{(1)} \quad (1.5) \end{aligned}$$

unde s-a înlocuit forța exterioară  $\bar{F} = e \bar{E} + e \bar{v} \times \bar{B}$ ,  $\bar{E}$  fiind intensitatea câmpului electric,  $\bar{B}$  inducția magnetică iar  $e$  sarcina electrică a purtătorului mobil de sarcină. În aproximația de primul ordin (rel. 1.4) se pot neglija termenii ce conțin gradientii funcției  $f^{(1)}(\bar{r}, \bar{k})$ , astfel că relația (1.5) devine

$$-\frac{f^{(1)}(\bar{r}, \bar{k})}{\tau(\bar{k})} = \frac{\partial f_0}{\partial \omega} \left\{ e\bar{A} - \nabla_{\bar{r}} \mathcal{F} - (\omega - \mathcal{F}) \nabla_{\bar{r}} \ln \Gamma \right\} \cdot \bar{v} \quad (1.6)$$

Pentru a se obține și dependența de  $\bar{B}$  este necesar să se pastreze din relația (1.6) și ultimul termen, însă pentru calculul  $\nabla_{\bar{k}} f^{(1)}(\bar{r}, \bar{k})$  se folosește expresia lui  $f^{(1)}(\bar{r}, \bar{k})$  dată de relația (1.6) ce poate fi scrisă concentrat în forma

$$f^{(1)}(\bar{r}, \bar{k}) = -\frac{\partial f_0}{\partial \omega} \left[ \bar{X}(\bar{r}, \bar{k}) \cdot \bar{v} \right] \quad (1.7)$$

Pentru funcția vectorială necunoscută  $\bar{X}(\bar{r}, \bar{k})$  în urma evaluării termenului  $\frac{e}{\hbar} (\bar{v} \times \bar{B}) \cdot \nabla_{\bar{k}} f^{(1)}(\bar{r}, \bar{k})$ , se obține expresia implicită [56]

$$\bar{X}(\bar{r}, \bar{k}) = \bar{A}(\bar{r}, \bar{k}) + e\tau(\bar{k}) \left( \frac{\bar{X}}{\bar{m}^*} \times \bar{B} \right) \quad (1.8)$$

în care

$$\bar{A}(\bar{r}, \bar{k}) = \tau(\bar{k}) \left[ e\bar{A} - \nabla_{\bar{r}} \mathcal{F} - (\omega - \mathcal{F}) \nabla_{\bar{r}} \ln \Gamma \right]$$

iar  $1/\bar{m}^* = d^2 \omega(\bar{k}) / \hbar^2 d\bar{k}^2$  este tensorul generalizat al inversei masa efective a purtătorului mobil de sarcină, diferită de masa inerțială [56, 57]. Dacă masa efectivă este o mărime scalară, cu ajutorul expresiilor obținute prin înmulțirea relației (1.8) vectorial și scalar cu  $\bar{B}$ , se obține pentru  $\bar{X}(\bar{r}, \bar{k})$  expresia

$$\bar{X} = \frac{\bar{A} + \frac{2}{\bar{m}^*} (\bar{A} \times \bar{B}) + \frac{e^2 \tau^2}{\bar{m}^{*2}} (\bar{A} \cdot \bar{B}) \bar{B}}{1 + \frac{e^2 \tau^2}{\bar{m}^{*2}} \bar{B}^2} \quad (1.9)$$

Masa efectivă apare ca o mărime scalară în cazul în care suprafețele izoenergetice din spațiul vectorului de undă al cristalului sînt sfere. Dacă masa efectivă este un tensor, atunci printr-o alegere potrivită a axelor de coordonate acesta poate fi adus la forma diagonală, iar suprafețele izoenergetice în acest sistem de axe sînt elipsoizi. În acest caz se obține pentru  $\bar{X}(\bar{r}, \bar{k})$  expresia [56]

$$\bar{X} = \frac{\bar{A} + e\tau \frac{\bar{A}}{\bar{m}^*} \times \bar{B} + \frac{e^2 \tau^2}{|\bar{m}^*|} \bar{m}^* \bar{B} (\bar{A} \cdot \bar{B})}{1 + \frac{e^2 \tau^2}{|\bar{m}^*|} (\bar{m}^* \bar{B} \cdot \bar{B})} \quad (1.10)$$

în care  $|m^{\bar{m}}|$  este determinantul matricii tensorului  $\bar{m}^{\bar{m}}$ .

$$|m^{\bar{m}}| = \begin{vmatrix} m_1^{\bar{m}} & 0 & 0 \\ 0 & m_2^{\bar{m}} & 0 \\ 0 & 0 & m_3^{\bar{m}} \end{vmatrix} = m_1^{\bar{m}} m_2^{\bar{m}} m_3^{\bar{m}}$$

Dacă masa efectivă este o mărime scalară,  $m_1^{\bar{m}} = m_2^{\bar{m}} = m_3^{\bar{m}} = m^{\bar{m}}$ , atunci  $|m^{\bar{m}}| = m^{\bar{m}3}$ , iar expresia (1.10) devine identică cu (1.9). Cu ajutorul expresiei (1.9) sau (1.10) se poate calcula  $f^{(1)}(\bar{r}, \bar{k})$  din relația (1.7), respectiv funcția de distribuție  $f(\bar{r}, \bar{k})$  cu relația (1.4). Cunoscând funcția de distribuție a purtătorilor mobili de sarcină după stări precum și densitatea de stări energetice se poate calcula densitatea curentului electric. Într-un volum elementar  $dV_k$  din spațiul vectorului de undă din unitatea de volum a cristalului se află  $dV_k/4\pi^3$  stări energetice [56], în care se găsesc  $dn = f(\bar{r}, \bar{k})dV_k/4\pi^3$  purtători de sarcină ce au viteza  $\bar{v}(\bar{k}) = d\omega(\bar{k})/\hbar d\bar{k}$ . Considerînd un singur tip de purtător de sarcină densitatea curentului va fi

$$\bar{J} = \frac{e}{4\pi^3} \int_{V_k} \bar{v}(\bar{k}) \cdot f(\bar{r}, \bar{k}) dV_k = \frac{e}{4\pi^3} \int_{V_k} \bar{v}(\bar{k}) \cdot f^{(1)}(\bar{r}, \bar{k}) dV_k \quad (1.11)$$

în care s-a ținut seama că în starea de echilibru termodinamic densitatea curentului este nulă

$$\int_{V_k} \bar{v}(\bar{k}) \cdot f_0(\bar{r}, \bar{k}) dV_k = 0$$

Înlocuind expresia lui  $f^{(1)}(\bar{r}, \bar{k})$  dată de relația (1.7) se obține

$$\bar{J} = - \frac{e}{4\pi^3} \int_{V_k} \bar{v} \cdot \frac{\partial f_0}{\partial \hbar} (\bar{X} \cdot \bar{v}) dV_k \quad (1.12)$$

după introducerea expresiei (1.9) a lui  $\bar{X}$  în (1.12) și efectuarea integralei se obține [58]

$$\begin{aligned} \bar{J} = e \left\{ eK_{11}^{\bar{m}} - K_{11}^T \nabla_{\mathbf{r}} \left( \frac{\mathcal{F}}{T} \right) - K_{21} \frac{\nabla_{\mathbf{r}} T}{T} \right\} + \\ + \frac{e^2}{m} \left\{ eK_{12}^{\bar{m}} - K_{12}^T \nabla_{\mathbf{r}} \left( \frac{\mathcal{F}}{T} \right) - K_{22} \frac{\nabla_{\mathbf{r}} T}{T} \right\} \times \mathbf{B} + \\ + \frac{e^2}{m^2} \left\{ eK_{13}^{\bar{m}} - K_{13}^T \nabla_{\mathbf{r}} \left( \frac{\mathcal{F}}{T} \right) - K_{23} \frac{\nabla_{\mathbf{r}} T}{T} \right\} \cdot \mathbf{B} \cdot \mathbf{B} \end{aligned} \quad (1.13)$$



in care  $K_{rs}$  reprezintă coeficienții cinetici ce au expresia [56]

$$K_{rs} = \frac{n}{m^3} \cdot \frac{2}{3k_B T} \cdot \frac{\int_0^\infty \frac{w^r \tau^s}{1 + \mu^2 B^2} dn(w)}{\int_0^\infty dn(w)} = \frac{n}{m^3} \left\langle \frac{w^r \tau^s}{1 + \mu^2 B^2} \right\rangle \quad (1.14)$$

Mărimea  $\left\langle \frac{w^r \tau^s}{1 + \mu^2 B^2} \right\rangle$  reprezintă timpul de relaxare la puterea  $s$ ,

mediat în raport cu purtătorii de sarcină și luat cu ponderea  $w^r/(1 + \mu^2 B^2)$ ,  $\mu$  fiind mobilitatea purtătorilor de sarcină,  $\mu = e\tau/m^*$ .

În cazul în care masa efectivă este o mărime tensorială, coeficienții cinetici sînt și ei tensori ce au expresia [56]

$$\overline{\overline{K}}_{rs} = \frac{n}{\overline{\overline{m}}^3} \left\langle \frac{w^r \tau^s}{1 + \frac{e^2 \tau^2}{\overline{\overline{m}}^2} (\overline{\overline{B}} \cdot \overline{\overline{m}} \cdot \overline{\overline{B}})} \right\rangle \quad (1.15)$$

La un semiconductor omogen la care  $\nabla_r \mathcal{F} = \nabla_r \mu = 0$ , relația (1.13) devine

$$\mathcal{J} = e^2 K_{11} \overline{\overline{E}} + \frac{e^3}{m^3} K_{12} (\overline{\overline{m}} \cdot \overline{\overline{B}}) + \frac{e^4}{m^3 K_2} K_{13} (\overline{\overline{B}} \cdot \overline{\overline{B}}) \overline{\overline{B}} \quad (1.16)$$

ce reprezintă forma locală a legii conducției electrice în prezența inducției magnetice. Deducerea ei s-a făcut în anumite ipoteze simplificatoare. Astfel variația funcției de distribuție  $f(\overline{\overline{r}}, \overline{\overline{k}})$  datorită cauzelor interne numite și ciocniri s-a considerat proporțională cu mărimea abaterii de la echilibru și invers proporțională cu timpul de relaxare (rel.1.2). În plus soluția ecuației cinetice a lui Boltzmann s-a determinat într-o aproximație de prim ordin, neglijîndu-se gradientii funcției  $f^{(1)}(\overline{\overline{r}}, \overline{\overline{k}})$ . Deoarece în această ipoteză nu mai apare influența inducției magnetice  $\overline{\overline{B}}$  se ia în considerare și termenul din relația(1.5) ce conține pe  $\overline{\overline{B}}$ , dar  $f^{(1)}(\overline{\overline{r}}, \overline{\overline{k}})$  s-a calculat fără acest termen. Fără aceste ipoteze rezolvarea problemei este foarte complicată.

## 1.2. Definiția conductivității și coeficientului Hall în prezența cîmpului magnetic.

Deoarece conductivitatea și coeficientul Hall sînt parametri fizici ce caracterizează un anumit material, definiția lor se face pe baza unor legi de material în formă locală, cum este și legea conducției electrice. În absența cîmpului magnetic legea conducției electrice în cazul unui material semiconductor omogen

la care suprafețele izoenergetice ale cristalului sînt elipsoizi, devine

$$\overline{\mathbf{J}} = e^2 \overline{\mathbf{K}}_{11} \overline{\mathbf{E}} = \overline{\sigma} \overline{\mathbf{E}} \quad (1.17)$$

în care atît coeficientul cinetic  $\overline{\mathbf{K}}_{11}$  cît și conductivitatea  $\overline{\sigma}$  sînt tensori diagonali. La un cristal cu  $N$  elipsoizi de energie, dacã toți tensorii conductivității  $\overline{\sigma}^{(\nu)}$  ce corespund unui elipsoid de energie se exprimã în același sistem de axe, atunci tensorul conductivității cristalului reprezintă suma tensorilor  $\overline{\sigma}^{(\nu)}$  [56]

$$\overline{\sigma} = \sum_{\nu=1}^N \overline{\sigma}^{(\nu)}$$

Elementele tensorului diagonal  $\overline{\sigma}$  se pot exprima în funcție de elementele tensorilor diagonali  $\overline{\sigma}^{(\nu)}$ . Astfel la cristalele cu o anumită simetrie, ca de exemplu la siliciu, se obține [56, 74]

$$\begin{aligned} \sigma_1 &= 2(\sigma_1^{(3)} + \sigma_2^{(2)} + \sigma_3^{(1)}) , \quad \sigma_2 = 2(\sigma_1^{(1)} + \sigma_2^{(3)} + \sigma_3^{(2)}) , \\ \sigma_3 &= 2(\sigma_1^{(2)} + \sigma_2^{(1)} + \sigma_3^{(3)}) . \end{aligned}$$

Dacã elipsoizii sînt echivalenți atunci  $\sigma_i^{(\nu)} = \sigma_i^{(2)} = \sigma_i^{(3)}$  , astfel cã  $\sigma_1 = \sigma_2 = \sigma_3 = \sigma$  ,

cu alte cuvinte conductivitatea este mărimea scalară. Rezultă deci cã și în cazul materialelor semiconductoare la care suprafețele izoenergetice sînt elipsoizi, acea conductivitatea corespunzătoare unui elipsoid este o mărime tensorială, datorită distribuției simetrice și a echivalenței elipsoizilor conductivitatea cristalului este o mărime scalară. La materialele la care nu se respectă condițiile de simetrie și echivalență a elipsoizilor conductivitatea electrică raportată la un cristal este o mărime tensorială. Deoarece conductivitatea electrică intervine în aplicațiile tehnice în expresiile unor parametri globali ai dispozitivelor semiconductoare, iar pe de altă parte determinarea conductivității electrice în tehnica se face indirect măsurînd anumite mărimi globale este important ca în cadrul teoriei macroscopice a fenomenelor electromagnetice conductivitatea electrică să se definească nu în raport cu un cristal ci și în raport cu ansamblul cristalelor ce formează materialul semiconductor respectiv. Rezultă cã materialele semiconductoare policristaline care nu suferă procese tehnologice privilegiate în raport cu anumite direcții (laminare, trefilare, etc), datorită orientării întîmplătoare (haptică) a cristalelor, se prezintă din punct de vedere macroscopic izotrope, fără a se evidenția vreo direcție privilegiată din punct de vedere al conducției electrice.

Datorită acestui fapt conductivitatea electrică a acestor materiale izotrope este o mărime scalară. În acest caz în expresiile coeficienților cinetici se poate considera o așa numită masă efectivă izotropă  $\tilde{m}^{\text{eff}}$ , definită prin relația [56]

$$\frac{1}{\tilde{m}^{\text{eff}}} = \frac{1}{3} \left( \frac{1}{m_1^{\text{eff}}} + \frac{1}{m_2^{\text{eff}}} + \frac{1}{m_3^{\text{eff}}} \right)$$

conferind astfel coeficienților cinetici caracterul de mărime scalară.

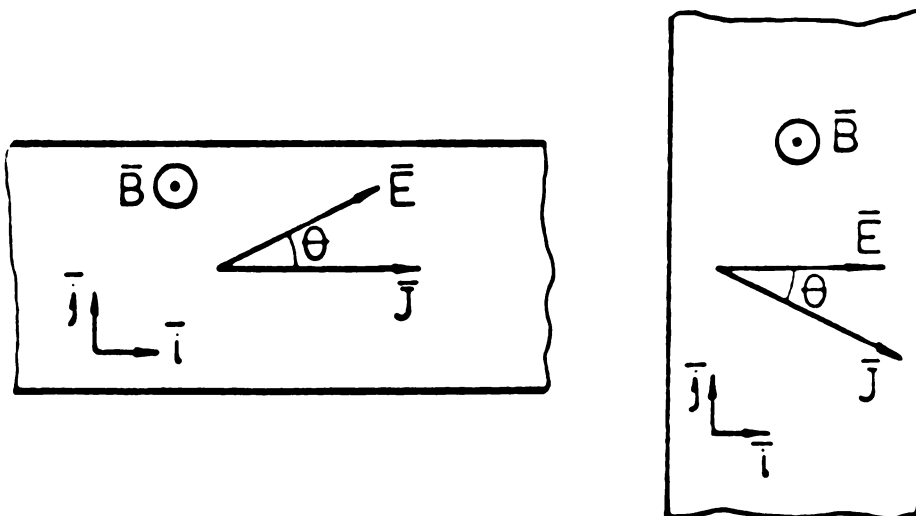
Pentru definirea conductivității electrice în prezența inducției magnetice a materialelor omogene și izotrope se pornește tot de la legea conducției electrice (rel.1.16) se va considera cazul unui câmp magnetic transversal,  $\vec{B} \perp \vec{E}$ , pentru care legea conducției devine

$$\vec{J} = e^2 K_{11} \vec{E} + \frac{e^3}{\tilde{m}^{\text{eff}}} K_{12} (\vec{E} \times \vec{B})$$

care cu notațiile  $K_1 = e^2 K_{11}$  și  $K_2 = e^3 K_{12} / \tilde{m}^{\text{eff}}$  se scrie în forma

$$\vec{J} = K_1 \vec{E} + K_2 (\vec{E} \times \vec{B}) \quad (1.18)$$

Spre deosebire de conductivitatea în absența câmpului magnetic care se poate defini univoc pe baza legii conducției electrice, conductivitatea în prezența inducției magnetice  $\sigma(B)$  poate fi definită în mai multe moduri. În fizică uneori conductivitatea se definește ca raportul componentelor densității curentului și intensității câmpului electric,  $\sigma(B) = J_x / E_x$  [32,56]. Pentru cazul particular al unei plăci de lungime foarte mare (fig.1.1.a)



a. Fig.1.1.

b.

în care densitatea de curent este orientată după axa Ox,  $\vec{J} = J_x \vec{i}$ ,

și respectiv pentru o placă de lățime foarte mare (fig.1.1.b) la care intensitatea câmpului electric este orientată după axa Ox,  $\vec{E} = E_x \vec{i}$ , se obțin valori diferite ale raportului  $J_x / E_x$

$$\left(\frac{J_x}{E_x}\right)_a = K_1 + \frac{K_2^2}{K_1} B^2 \quad ; \quad \left(\frac{J_x}{E_x}\right)_b = K_1 \quad (1.19)$$

Pentru a corespunde interpretării din tehnică a conductivității și coeficientului Hall ca parametri fizici, specifici unui anumit material, este necesară definirea lor independent de geometria plăcii [109]. Se poate menționa posibilitatea definirii rezistivității electrice în prezența inducției magnetice pe baza unor criterii energetice. Astfel puterea electrică cedată de câmpul electromagnetic unității de volum a unui mediu izotrop în procesul de conducție este

$$p = \vec{E} \cdot \vec{J} = \rho J^2 - \vec{E}_1 \cdot \vec{J}$$

în care  $\vec{E}_1$  reprezintă intensitatea câmpului electric imprimat. În medii omogene situate în câmp magnetic uniform și invariabil în timp se poate considera că  $\vec{E}_1$  se datorește prezenței câmpului magnetic și poate fi definit ca raportul dintre forța Lorentz și sarcina electrică a purtătorilor asupra cărora aceasta se exercită. Deoarece lucrul mecanic corespunzător forței Lorentz este nul rezultă că în regim staționar prin intermediul câmpului magnetic nu se furnizează energie mediului considerat, adică produsul scalar  $\vec{E}_1 \cdot \vec{J}$  este nul. Astfel că rezistivitatea mediului în câmp magnetic transversal se definește prin raportul

$$\rho(B) = \vec{E} \cdot \vec{J} / J^2 \quad (1.20)$$

Din legea conducerii electrice (rel.1.18) rezultă că  $\vec{E}$  și  $\vec{J}$  formează în fiecare punct un unghi  $\theta$  (fig.1.2) numit și unghi Hall, astfel că produsul scalar  $\vec{E} \cdot \vec{J}$  se poate exprima în forma

$$\vec{E} \cdot \vec{J} = EJ \cos \theta \quad (1.21)$$

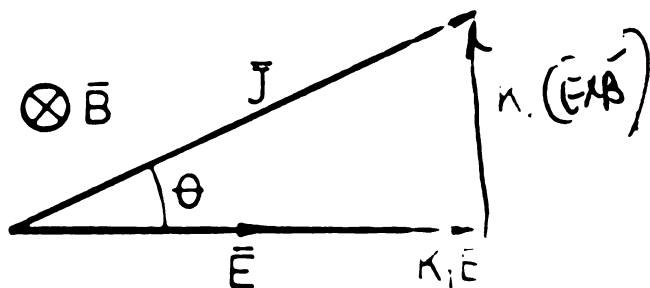


Fig.1.2.

Înlocuind relația(1.18) scalar și apoi vectorial cu  $\vec{E}$  se obțin expresiile

$$J \cdot E = K_1 J^2 \quad (1.22)$$

respectiv

$$\vec{J} \times \vec{E} = K_2 J^2 \vec{B} \quad (1.23)$$

în care s-a ținut seama că  $\vec{E} \cdot \vec{B} = 0$ . Din relațiile (1.21) și (1.22) se obține  $J \cos \theta = K_1 E$  iar din (1.23) rezultă  $J \sin \theta = K_2 E B$ , astfel că se poate scrie relația

$$J^2 = (K_1^2 + K_2^2 B^2) E^2 \quad (1.24)$$

Din relațiile (1.20), (1.22) și (1.24) rezultă pentru conductivitatea electrică în câmp magnetic transversal expresia

$$\sigma(B) = \frac{1}{\rho(B)} = K_1 + \frac{K_2^2}{K_1} B^2 \quad (1.25)$$

în care coeficienții  $K_1$  și  $K_2$  depind de proprietățile materialului și de inducția magnetică. Acest mod de definire a conductivității, independent de geometria plăcii, este în concordanță și cu unele rezultate din literatură [41] și cu expresia cunoscută a conductivității în absența câmpului magnetic. În plus se poate menționa și faptul că rezultatul obținut este identic cu cel din fizică în cazul unor plăci de lungime foarte mare (rel.1.19)

Dacă se exprimă  $\vec{E}$  din relația (1.18) în forma

$$\vec{E} = \frac{1}{K_1} \left[ \vec{J} - K_2 (\vec{E} \times \vec{B}) \right]$$

și se introduce în al doilea termen al relației (1.18) se obține

$$\vec{J} = \sigma(B) \left[ \vec{E} + \frac{K_2}{K_1 + K_2 B^2} (\vec{J} \times \vec{B}) \right]$$

Din compararea acestei relații cu legea conducției electrice stabilită în cadrul teoriei macroscopice în literatura de specialitate [62,95,116],

$$\vec{J} = \sigma (\vec{E} + C_H \vec{J} \times \vec{B})$$

se obține pentru coeficientul Hall expresia

$$C_H(B) = \frac{K_2}{K_1 + K_2 B^2} \quad (1.26)$$

Definirea parametrilor fizici  $\sigma(B)$  și  $C_H(B)$  în modul prezentat este în concordanță și cu posibilitățile de determinare a lor în tehnică pe cale experimentală, măsurînd anumite mărimi globale ce se obțin prin integrarea legii conducției electrice în formă locală.

**1.3. Dependența rezistivității și coeficientului Hall de inducția magnetică.**

Ținând seama de expresiile coeficienților  $K_1$  și  $K_2$  și respectiv de expresiile coeficienților cinetici (rel.1.14), relațiile (1.25) și (1.26) devin

$$\sigma(B) = en \left\langle \frac{\mu}{1+\mu^2 B^2} \right\rangle + en \left\langle \frac{\frac{\mu^2}{1+\mu^2 B^2}}{\frac{\mu}{1+\mu^2 B^2}} \right\rangle B^2 \quad (1.27)$$

$$C_H(B) = \frac{1}{en} \cdot \frac{\left\langle \frac{\mu^2}{1+\mu^2 B^2} \right\rangle}{\left\langle \frac{\mu}{1+\mu^2 B^2} \right\rangle^2 + \left\langle \frac{\mu^2}{1+\mu^2 B^2} \right\rangle B^2} \quad (1.28)$$

în care s-a ținut seama că medierea timpului de relaxare, ce depinde de energie,  $\tau(W)$ , cu ponderea  $W$  reprezintă însăși valoarea medie a timpului de relaxare [56]. Se observă că dependența de inducția magnetică a conductivității și coeficientului Hall este foarte complicată, de aceea se va analiza distinct cazul unui câmp magnetic slab și cazul în care câmpul magnetic este intens. Caracterizarea mărimii câmpului se face prin compararea timpului de relaxare cu perioada de rotație a particulei sub acțiunea câmpului magnetic. Astfel dacă  $\tau \gg 2\pi / \omega_c$ ,  $\omega_c$  fiind pulsația ciclotronică,  $\omega_c = eB/m^*$ , câmpul este intens iar dacă  $\tau \ll 2\pi / \omega_c$  câmpul este slab. În literatură condițiile de câmp slab și respectiv intens sînt date prin inegalitățile [83,95]

$$\mu^2 B^2 \ll 1 \quad , \quad \mu^2 B^2 \gg 1$$

Dezvoltînd în serie mărimea  $1/(1+\mu^2 B^2)$  se obține în câmpuri magnetice slabe expresia

$$1/(1+\mu^2 B^2) = 1 - \mu^2 B^2 + \mu^4 B^4 - \mu^6 B^6 + \dots \quad (1.29)$$

iar în câmpuri magnetice intense rezultă:

$$\frac{1}{1+\mu^2 B^2} = \frac{1}{\mu^2 B^2 (1 + \frac{1}{\mu^2 B^2})} = \frac{1}{\mu^2 B^2} \left( 1 - \frac{1}{\mu^2 B^2} + \frac{1}{\mu^4 B^4} - \dots \right) \quad (1.30)$$



În câmpuri magnetice slabe, neglijând din dezvoltarea în serie (1.29) termenii ce conțin pe B la puteri mai mari ca doi, rezultă pentru rezistivitate și coeficientul Hall expresiile

$$\rho(B) = \rho(0) \left[ 1 + \mu^2 B^2 \left( \frac{\langle \mu^3 \rangle}{\langle \mu \rangle^3} - \frac{\langle \mu^2 \rangle^2}{\langle \mu \rangle^4} \right) \right] \quad (1.31)$$

$$C_H(B) = \frac{1}{en} \cdot \frac{\langle \mu^2 \rangle}{\langle \mu \rangle} \left[ 1 - \mu^2 B^2 \left( \frac{\langle \mu^2 \rangle^2}{\langle \mu \rangle^4} - 2 \frac{\langle \mu^3 \rangle}{\langle \mu \rangle^3} + \frac{\langle \mu^4 \rangle}{\langle \mu^2 \rangle \langle \mu \rangle^2} \right) \right] \quad (1.32)$$

în care  $\rho(0) = 1/en\langle \mu \rangle$  reprezintă rezistivitatea în absența inducției magnetice. Se observă că în câmpuri magnetice slabe rezistivitatea crește proporțional cu  $(\mu B)^2$  iar coeficientul Hall scade proporțional cu  $(\mu B)^2$ , coeficientul de proporționalitate depinzând de mecanismul împrăștierei purtătorilor de sarcină. În figura 1.3 este ilustrată dependența rezistivității de inducția magnetică, iar în figura 1.4 dependența coeficientului Hall pentru o probă de Ge-n [95]

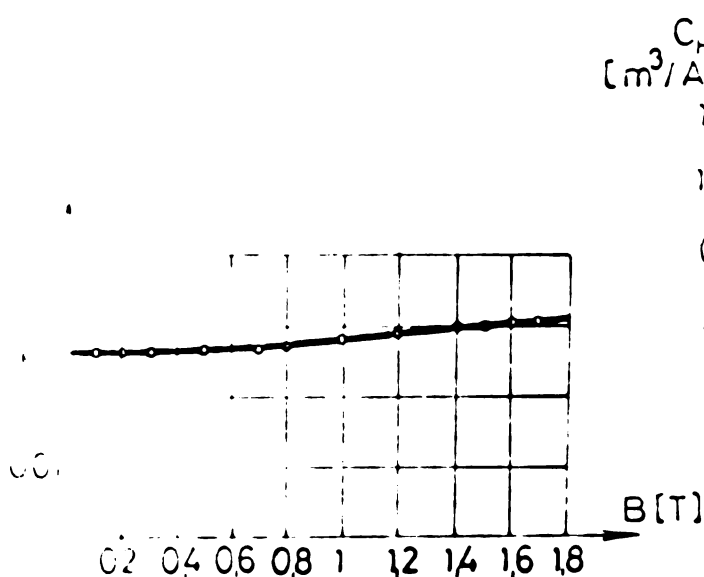


Fig.1.3.

Pentru valori foarte mici ale inducției magnetice, la limită  $B \rightarrow 0$ , se obține pentru coeficientul Hall expresia

$$C_H = \frac{A}{en} \quad (1.33)$$

în care factorul  $A = \langle \mu^2 \rangle / \langle \mu \rangle^2$  are valoarea 1,93 la temperaturi coborâte, la care rolul hotărîtor îl joacă mecanismul de

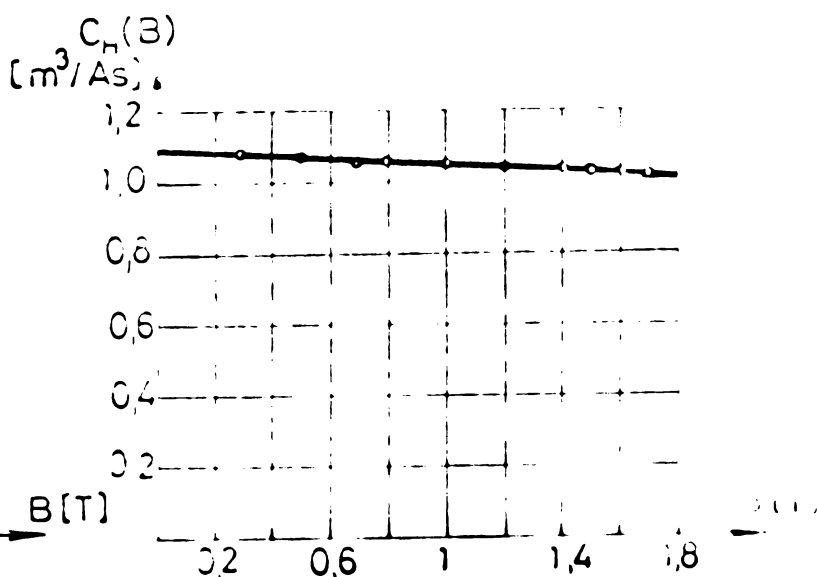


Fig.1.4.

împrăștiere a purtătorilor de sarcină pe ionii rețelei, iar la temperaturi înalte, când rolul principal în împrăștiere îl au vibrațiile termice,  $A = 1,18$  [32,56]

Neglijându-se din dezvoltarea în serie (1.30) termenii ce conțin pe  $B^{-4}$  se obțin pentru rezistivitate și coeficientul Hall în câmpuri magnetice intense expresiile

$$\rho(B) = \rho(0) \left[ \langle \mu \rangle \langle \mu^{-1} \rangle - B^2 (\langle \mu \rangle \langle \mu^{-1} \rangle^3 + \langle \mu \rangle \langle \mu^{-3} \rangle - 2 \langle \mu \rangle \langle \mu^{-1} \rangle \langle \mu^{-2} \rangle) \right] \quad (1.34)$$

$$C_H(B) = \frac{1}{en} \left[ 1 + B^{-2} (\langle \mu^{-2} \rangle - \langle \mu^{-1} \rangle^2) \right] \quad (1.35)$$

Se observă că rezistivitatea crește cu  $B$  pînă la o anumită valoare maximă de saturație, raportul

$$\frac{\rho(B)_{B \rightarrow \infty}}{\rho(0)} = \langle \mu \rangle \langle \mu^{-1} \rangle \quad (1.36)$$

are valoarea 3,39 în cazul împrăștierei pe ionii rețelei și 1,13 în cazul împrăștierei pe vibrațiile termice ale rețelei [56]

Coeficientul Hall scade pe măsura creșterii valorii inducției magnetice, raportul coeficientului Hall pentru valorile extreme ale inducției magnetice fiind

$$\frac{(C_H)_{B \rightarrow 0}}{(C_H)_{B \rightarrow \infty}} = A = \frac{\langle \mu^2 \rangle}{\langle \mu \rangle^2} \quad (1.37)$$

Expresiile obținute pentru  $\rho(B)$  și  $C_H(B)$  se referă la materialele semiconductoare cu un singur tip de purtători de sarcină. În mod analog se pot obține expresii ale  $\rho(B)$  și  $C_H(B)$  pentru materialele semiconductoare cu mai multe tipuri de purtători de sarcină, fie că este vorba de purtători cu mase efective diferite ca de exemplu Ge-p sau Si-p în care se găsesc goluri uoare și goluri grele, sau semiconductori cu conductibilitate mixtă în care la procesul de conducție contribuie atât electronii cît și golurile. În cazul în care concentrația electronilor  $n$  este egală cu cea a golurilor  $p$ ,  $n = p$ , semiconductorii se numesc intrinseci, iar dacă  $n > p$  sau  $n < p$  se numesc extrinseci, a căror proprietăți electrice depind de tipul impurităților donoare respectiv receptoare.

În cazul materialelor semiconductoare cu mai multe ti-

4025/3  
310 F

puri de purtători de sarcină, expresiile rezistivității și coeficientului Hall sînt foarte complicate deoarece coeficienții ce depind de mecanismul împrăstierii purtătorilor de sarcină sînt în general diferiți pentru diferite tipuri de purtători de sarcină și în plus în cazul semiconductorilor extrinseci intervine și energia stării donoare sau acceptoare [74]. De aceea pentru a obține unele informații privind dependența parametrilor fizici de inducția magnetică se consideră ipoteza simplificatoare a independenței timpului de relaxare de energie, în care caz  $\langle f(\tau) \rangle = f(\tau)$ . Astfel, pentru un semiconductor cu conductibilitate mixtă, cu notațiile  $e_1 = -e$ ,  $n_1 = n$ ,  $\mu_1 = -\mu_n$  pentru electroni,  $e_2 = e$ ,  $n_2 = p$ ,  $\mu_2 = \mu_p$  pentru goluri și  $\lambda = \mu_n/\mu_p > 0$  se obțin expresiile [62, 116]

$$\rho(B) = \rho(0) \frac{1 + \mu_n \mu_p B^2 \cdot \frac{n+p}{n\lambda+p}}{1 + (\mu_n B)^2 \frac{(p-n)^2}{(p+n\lambda)^2}} \quad (1.38)$$

$$C_H(B) = C_H(0) \frac{1 + (\mu_n B)^2 \cdot \frac{p-n}{p-n\lambda^2}}{1 + (\mu_n B)^2 \cdot \frac{(p-n)^2}{(p+n\lambda)^2}} \quad (1.39)$$

în care

$$\rho(0) = \frac{1}{e(n\mu_n + p\mu_p)}$$

reprezintă rezistivitatea în absența inducției magnetice, iar cu

$$C_H(0) = \frac{p\mu_p^2 - n\mu_n^2}{e(p\mu_p + n\mu_n)^2}$$

s-a notat factorul independent de inducția magnetică din expresia (1.39). Pentru semiconductorii intrinseci,  $n = p = n_i$ , relațiile (1.38) și (1.39) devin

$$\rho(B) = \rho(0) [1 + \mu_n \mu_p B^2] \quad (1.40)$$

$$C_H(B) = C_H(0) = \frac{1 - \lambda}{en_i(1 + \lambda)} \quad (1.41)$$

din care rezultă că la semiconductorii intrinseci coeficientul Hall nu depinde de inducția magnetică, iar semnul său este determinat de purtătorii cu mobilitate mai mare. La semiconductorii extrinseci slab dopați, la care concentrațiile electronilor și respectiv a golurilor nu diferă mult între ele, ținând seama că  $\lambda \gg 1$  și neglijând în câmpuri magnetice slabe termenii ce conțin pe B la puteri mai mari ca doi relațiile (1.38) și (1.39) devin

$$\rho(B) = \rho(0) \left[ 1 + \frac{p}{n} \mu_n \mu_p B^2 \right] \quad (1.42)$$

$$C_H(B) = C_H(0) \left[ 1 - (\mu_p B)^2 \left( \frac{p}{n} - 1 \right) \frac{p}{n} \right] \quad (1.43)$$

Din relația (1.43) rezultă că în cazul în care  $p > n$  coeficientul Hall scade cu inducția magnetică, iar dacă  $p < n$  coeficientul Hall crește cu inducția magnetică. Dependența coeficientului Hall la InSb slab dopat, determinată experimental [62, 116] și reprezentată în figura 1.5 este în concordanță cu relația (1.43).

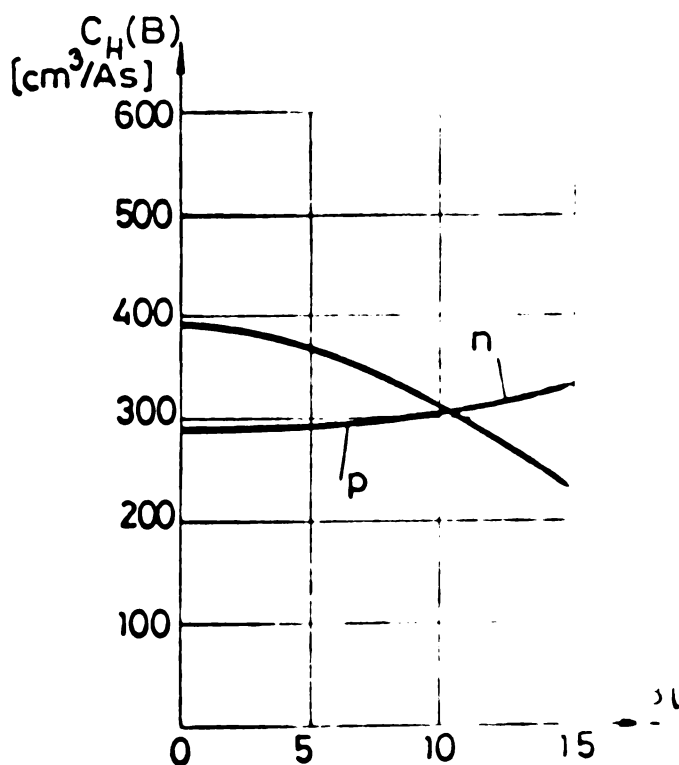


Fig.1.5.

1.4. O condiție de reciprocitate. rezistențele proprii în câmp magnetic

În literatură se demonstrează pe cale analitică invarianța valorii rezistențelor proprii la schimbarea sensului in-

ducției magnetice la plăci Hall dreptunghiulare situate într-un câmp magnetic transversal, invarianță ce este verificată experimental și la plăci de formă oarecare situate în câmp magnetic transversal [95]. În cele ce urmează se va analiza comportarea rezistențelor proprii în regim staționar la schimbarea sensului inducției magnetice în cazul unui mediu semiconductor cu geometrie arbitrară, la care câmpul electrocinetic nu mai este plan paralel. Corpul din material semiconductor liniar, omogen și izotrop este situat într-un câmp magnetic uniform avînd o direcție arbitrară în raport cu corpul. Presupunînd corpul la aceeași temperatură, forma locală a legii conducției electrice în prezența câmpului magnetic este

$$\bar{J} = K_1 \bar{E} + K_2 (\bar{E} \times \bar{B}) + K_3 (\bar{E} \cdot \bar{B}) \bar{B} \quad (1.44)$$

Pentru două stări electrocinetice stabilite la aceeași valoare a inducției magnetice dar la sensuri diferite, legea conducției electrice se scrie în forma

$$\begin{aligned} \bar{J}' &= K_1 \bar{E}' + K_2 (\bar{E}' \times \bar{B}) + K_3 (\bar{E}' \cdot \bar{B}) \bar{B} \\ \bar{J}'' &= K_1 \bar{E}'' - K_2 (\bar{E}'' \times \bar{B}) + K_3 (\bar{E}'' \cdot \bar{B}) \bar{B} \end{aligned}$$

în care  $\bar{J}'$  și  $\bar{E}'$  corespund câmpului electrocinetic stabilit la un sens al inducției magnetice ( $+\bar{B}$ ) iar  $\bar{J}''$  și  $\bar{E}''$  la sens opus al inducției magnetice ( $-\bar{B}$ ). Înmulțind scalar prima relație cu  $\bar{E}''$  și a doua cu  $\bar{E}'$  se obțin relațiile

$$\begin{aligned} \bar{J}' \cdot \bar{E}'' &= K_1 \bar{E}' \cdot \bar{E}'' + K_2 (\bar{E}' \times \bar{B}) \cdot \bar{E}'' + K_3 (\bar{E}' \cdot \bar{B}) (\bar{B} \cdot \bar{E}'') \\ \bar{J}'' \cdot \bar{E}' &= K_1 \bar{E}'' \cdot \bar{E}' - K_2 (\bar{E}'' \times \bar{B}) \cdot \bar{E}' + K_3 (\bar{E}'' \cdot \bar{B}) (\bar{B} \cdot \bar{E}') \end{aligned}$$

din care se obține condiția de reciprocitate corespunzătoare celor două sensuri ale inducției magnetice

$$\bar{J}' \cdot \bar{E}'' - \bar{J}'' \cdot \bar{E}' = 0 \quad (1.45)$$

stabilită în cazul general în care  $\bar{B}$  nu este perpendicular pe vectorii  $\bar{J}$  și  $\bar{E}$ .

Relația (1.45) fiind adevărată în orice punct, ea poate fi integrată în întregul volum al corpului limitat de suprafața închisă  $\Sigma$

$$\int_{V_\Sigma} (\bar{J}' \cdot \bar{E}'' - \bar{J}'' \cdot \bar{E}') dv = 0$$

Deoarece în regim staționar  $\text{rot}\bar{A}' = \text{rot}\bar{A}'' = 0$ , intensitatea cîmpului electric poate fi exprimată în funcție de potențialul electric,  $\bar{E}' = -\nabla V'$  și  $\bar{E}'' = -\nabla V''$  astfel că integrala de volum devine

$$\int_{\Sigma} [\bar{J}'(\nabla V'') - \bar{J}''(\nabla V')] dV = 0 \quad (1.46)$$

Pe baza egalității vectoriale

$$\nabla(\nabla \cdot \bar{J}) = \bar{J}(\nabla \cdot \nabla) + \nabla(\nabla \cdot \bar{J}) = \bar{J}(\nabla \cdot \nabla) \quad (1.47)$$

în care s-a ținut seama că  $\nabla \cdot \bar{J} = 0$  în regim staționar, relația (1.46) devine

$$\int_{\Sigma} \nabla(V''\bar{J}' - V'\bar{J}'') dV = 0$$

Aplicînd transformarea de integrale Gauss-Ostrogradski se obține

$$\int_{\Sigma} (V''\bar{J}' - V'\bar{J}'') \bar{d}s = 0 \quad (1.48)$$

ce reprezintă condiția de reciprocitate în formă integrală.

Folosind condiția de reciprocitate se pot determina rezistențele proprii la cele două sensuri ale inducției magnetice. Se consideră că cele două stări electrocinetice la cele două sensuri ale cîmpului magnetic se stabilesc cu ajutorul a doi electrozi metalici avînd conductivitatea electrică mult mai mare ca a materialului semiconductor. Suprafața acestor electrozi și poziția lor pe suprafața corpului semiconductor sînt arbitrare (fig.1.6). Suprafața închisă  $\Sigma$  poate fi descompusă într-o porțiune

$S_m$  ce reprezintă suprafața electrozilor metalici și într-o porțiune  $S_l$  ce reprezintă suprafața liberă neacoperită de electrozi, astfel că relația (1.48) poate fi scrisă în forma

$$\int_{S_l} (V''\bar{J}' - V'\bar{J}'') \bar{d}s + \int_{S_m} (V''\bar{J}' - V'\bar{J}'') \bar{d}s = 0 \quad (1.49)$$

Deoarece suprafața neacoperită de electrozi  $S_l$  este o

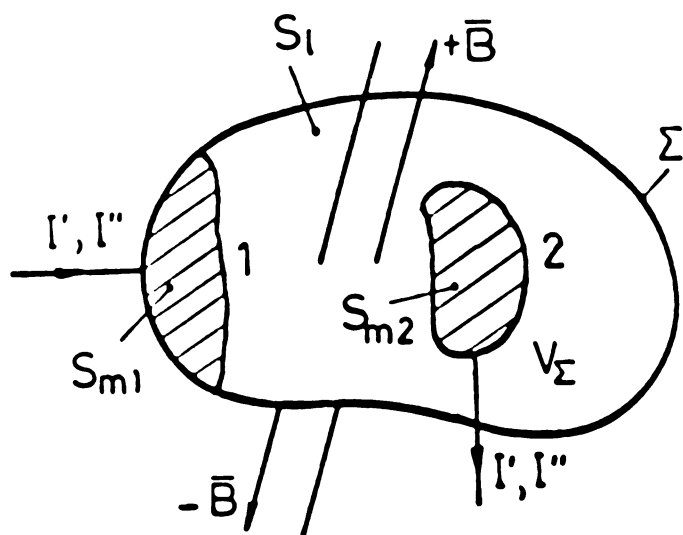


Fig.1.6.



suprafață de câmp pentru  $\bar{J}'$  și  $\bar{J}''$ , integrala pe această suprafață este egală cu zero ( $\bar{J}' \cdot \bar{ds} = \bar{J}'' \cdot \bar{ds} = 0$ ) astfel că (1.49) devine

$$\sum_{i=1}^2 \left[ V_i'' \int_{S_{mi}} \bar{J}' \cdot \bar{ds} - V_i' \int_{S_{mi}} \bar{J}'' \cdot \bar{ds} \right] = 0 \quad (1.50)$$

în care s-a ținut seama că suprafețele  $S_{mi}$  ale electrozilor reprezintă suprafețe echipotențiale avînd potențialul  $V_i'$  la un sens al inducției magnetice ( $+\bar{B}$ ) și  $V_i''$  la sens opus al inducției magnetice ( $-\bar{B}$ ). Deoarece integralele pe suprafețele electrozilor reprezintă curenții stabiliți la cele două sensuri ale inducției magnetice

$$\int_{S_{m1}} \bar{J}' \cdot \bar{ds} = -I' , \quad \int_{S_{m1}} \bar{J}'' \cdot \bar{ds} = -I'' , \quad \int_{S_{m2}} \bar{J}' \cdot \bar{ds} = +I' , \quad \int_{S_{m2}} \bar{J}'' \cdot \bar{ds} = +I''$$

se obține

$$-V_1'' I' + V_1' I'' + V_2'' I' - V_2' I'' = 0$$

respectiv  $(V_1' - V_2')/I' = (V_1'' - V_2'')/I''$  relație ce scoate în evidență egalitatea rezistențelor proprii la cele două sensuri ale inducției magnetice

$$R(+\bar{B}) = R(-\bar{B}) \quad (1.51)$$

### 1.5. Dependența rezistențelor de transfer de valoarea și sensul cîmpului magnetic.

Rezistențele de transfer joacă un rol important atît în funcționarea dispozitivelor Hall cît și în determinarea parametrilor fizici ai materialelor semiconductoare. Se poate astfel menționa faptul că metoda cea mai răspîndită de determinare a rezistivității materialelor semiconductoare în absența cîmpului magnetic, metoda celor patru sonde, se bazează pe determinarea rezistențelor de transfer. Ea este folosită și în cîmp magnetic în condițiile în care se schimbă sensul inducției magnetice [10,38] respectiv cînd se folosește numai o componentă a rezistențelor de transfer [111]. Descompunerea rezistențelor de transfer în două componente precum și unele precizări privind dependența acestor componente de sensul cîmpului magnetic au fost făcute în literatură în cazul unei plăci de formă oarecare, la care cîmpul electrocinetic este plan paralel, situată într-un cîmp magnetic transversal [97,98]. O generalizare a acestor rezultate

se face considerînd un corp semiconductor omogen și izotrop de formă oarecare, la care cîmpul electrocinetic este spațial, situat într-un cîmp magnetic uniform avînd direcție arbitrară în raport cu corpul (fig.1.7). În plus în demonstrație se consideră cazul general cînd curenții de alimentare nu sînt egali,  $I' \neq I''$

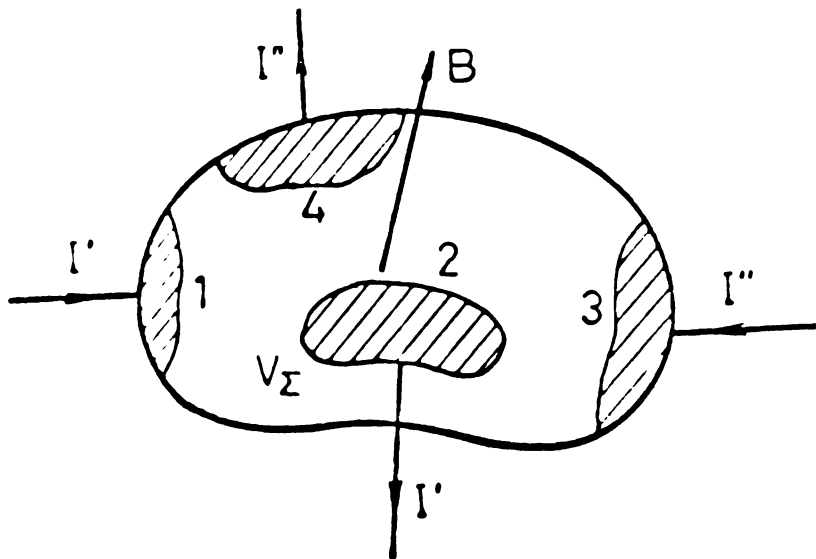


Fig.1.7.

corespunzătoare  $\bar{J}'$  și respectiv  $\bar{J}''$  pot fi exprimate pe baza relației (1.44) în forma

$$\bar{J}' = K_1 \bar{E}' + K_2 (\bar{E}' \times \bar{B}) + K_3 (\bar{E}' \cdot \bar{B}) \bar{B}$$

$$\bar{J}'' = K_1 \bar{E}'' + K_2 (\bar{E}'' \times \bar{B}) + K_3 (\bar{E}'' \cdot \bar{B}) \bar{B}$$

Înmulțind scalar prima relație cu  $\bar{E}''$  iar a doua cu  $\bar{E}'$  și efectuînd integrala pe întreg volumul  $V_\Sigma$  al corpului se obține

$$\int_{V_\Sigma} \bar{J}' \cdot \bar{E}'' dV = \gamma_a + \gamma_b \quad ; \quad \int_{V_\Sigma} \bar{J}'' \cdot \bar{E}' dV = \gamma_a - \gamma_b \quad (1.52)$$

în care  $\gamma_a$  și  $\gamma_b$  sînt două mărimi cu dimensiune de putere electrică ce au expresiile

$$\gamma_a = \int_{V_\Sigma} [K_1 \bar{E}' \cdot \bar{E}'' + K_3 (\bar{J}' \cdot \bar{B})(\bar{E}'' \cdot \bar{B})] dV \quad ; \quad \gamma_b = \int_{V_\Sigma} K_2 (\bar{E}' \times \bar{B}) \cdot \bar{E}'' dV$$

Folosind egalitatea vectorială (1.47) și aplicînd transformarea de integrală Gauss-Ostrogradski relațiile (1.52) devin

$$- \int_{\Sigma} \bar{v} \cdot \bar{J}' d\bar{s} = \gamma_a + \gamma_b \quad ; \quad - \int_{\Sigma} \bar{v} \cdot \bar{J}'' d\bar{s} = \gamma_a - \gamma_b \quad (1.53)$$

în care  $\Sigma$  reprezintă suprafața închisă ce delimitează corpul din figura 1.7. Dacă se ține seama că pe suprafața neacoperită de

[110,112]. Considerînd două stări electrocinetice stabilite în prezența inducției magnetice prin alimentarea între electrozii 1-2 cu curenții  $I'$ , electrozii 3-4 fiind în gol și respectiv prin alimentarea între electrozii 3-4 cu curenții  $I''$ , electrozii 1-2 fiind în gol, densitățile de curent

electrozi  $\overline{J}' \cdot d\overline{s} = \overline{J}'' \cdot d\overline{s} = 0$  și de faptul că suprafețele electrozilor sînt echipotențiale, relațiile (1.53) devin

$$V_1'' I' - V_2'' I' = \gamma_a + \gamma_b ; \quad V_3' I'' - V_4' I'' = \gamma_a - \gamma_b \quad (1.54)$$

Pe baza relațiilor (1.54) se pot determina rezistențele de transfer corespunzătoare celor două regimuri electrocinetice

$$R_t'(B) = (V_3' - V_4') / I' = (\gamma_a - \gamma_b) / I' I'' = R_a - R_b \quad (1.55)$$

$$R_t''(B) = (V_1'' - V_2'') / I'' = (\gamma_a + \gamma_b) / I' I'' = R_a + R_b$$

Relațiile (1.55) pun în evidență faptul că rezistențele de transfer în prezența inducției magnetice nu sînt egale,  $R_t'(B) \neq R_t''(B)$ , deci nu se mai verifică condiția de reciprocitate din absența cîmpului magnetic,  $R_t'(0) = R_t''(0)$ . De menționat însă că ele conțin aceleași două componente,  $R_a = \gamma_a / I' I''$  și  $R_b = \gamma_b / I' I''$ , una din rezistențele de transfer este egală cu suma celor două componente iar cealaltă cu diferența lor.

Dacă a doua stare electrocinetică ( $\overline{J}''$ ,  $\overline{E}''$ ) se realizează la sens opus al inducției magnetice ( $-\overline{B}$ ) atunci din relația (1.50) se obține

$$-V_1'' I' + V_2'' I' + V_3' I'' - V_4' I'' = 0$$

din care rezultă egalitatea  $(V_3' - V_4') / I' = (V_1'' - V_2'') / I''$  ce scoate în evidență faptul că rezistența de transfer cu alimentare la electrozii 1-2 la un sens al inducției magnetice este egală cu rezistența de transfer cu alimentare la electrozii 3-4 la celălalt sens al inducției magnetice

$$R_t'(+\overline{B}) = R_t''(-\overline{B}) \quad (1.56)$$

Din relațiile (1.55) și (1.56) se pot stabili egalitățile

$$R_t'(+\overline{B}) = R_t''(-\overline{B}) = R_a - R_b ; \quad R_t'(-\overline{B}) = R_t''(+\overline{B}) = R_a + R_b \quad (1.57)$$

ce relevă faptul că rezistențele de transfer spre deosebire de rezistențele proprii nu sînt egale la cele două sensuri ale inducției magnetice

$$R_t'(+\overline{B}) \neq R_t'(-\overline{B}) ; \quad R_t''(+\overline{B}) \neq R_t''(-\overline{B}) \quad (1.58)$$

dar că ele conțin aceleași două componente ce se însumează la un sens și se scad la sens opus al inducției magnetice. Aceste componente se pot determina fie în funcție de cele două rezistențe de transfer în raport cu cele două perechi de electrozi de alimentare la același sens al inducției magnetice,  $R_t^I(+\bar{B})$  și  $R_t^{II}(+\bar{B})$  fie în funcție de valorile unei rezistențe de transfer la cele două sensuri ale inducției magnetice,  $R_t^I(+\bar{B})$  și  $R_t^I(-\bar{B})$

$$\begin{aligned} R_a &= \frac{R_t^I(+\bar{B}) + R_t^{II}(+\bar{B})}{2} = \frac{R_t^I(+\bar{B}) + R_t^I(-\bar{B})}{2} \\ R_b &= \frac{R_t^{II}(+\bar{B}) - R_t^I(+\bar{B})}{2} = \frac{R_t^I(-\bar{B}) - R_t^I(+\bar{B})}{2} \end{aligned} \quad (1.59)$$

## C A P I T O L U L II

UNELE PROBLEME GENERALE ASUPRA METODELOR DE DETERMINARE A PARAMETRILOR FIZICI AI MATERIALELOR SEMICONDUCTOARE. PRIVIRE DE ANSAMBLU.

### 2.1. Considerații generale

Pe baza studiului repartiției câmpului electrocinetic din medii semiconductoare se pot stabili legături între mărimile globale (tensiuni, curenți) ce pot fi măsurate, parametri fizici ai materialului respectiv și dimensiunile geometrice. În literatura de specialitate se întâlnește o mare varietate de metode de calcul a parametrilor fizici ai materialelor semiconductoare, determinată de diversitatea metodelor de calcul a câmpului, de geometria epruvetelor, de modul de așezare a electrozilor de măsurare, de prezența sau absența câmpului magnetic, etc.

Majoritatea metodelor de determinare a rezistivității întâlnite în literatură nu se referă la prezența câmpului magnetic, deci nu se ia în considerare efectul magnetorezistiv. Din acest motiv după prezentarea sistematică a acestor metode în paragraful 2.2, se vor face unele precizări în paragraful 2.3 privind utilizarea și în prezența câmpului magnetic a unor relații de calcul stabilite în absența câmpului magnetic. În paragraful 2.4, referitor la determinarea coeficientului Hall, vor fi prezentate și unele metode de determinare atât a coeficientului Hall cât și a rezistivității în prezența câmpului magnetic. Deoarece în expresiile de calcul ale rezistivității și coeficientului Hall intervin și dimensiunile epruvetei precum și distanțele dintre electrozi metodele vor fi grupate în funcție de geometria epruvetelor și de poziția electrozilor. Astfel se vor prezenta relațiile de calcul în cazul unor epruvete cu dimensiuni foarte mari (semispațiul conductor infinit), plăci de extindere foarte mare, plăci de lățime finită și lungime foarte mare, plăci dreptunghiulare și circulare, plăci de formă oarecare. Cei patru electrozi, doi de curent (de alimentare) și doi de tensiune (de măsurare), se consideră așezați în linie sau în pătrat pe suprafața plăcii sau pe ambele fețe ale plăcii precum și pe periferie.

2.2. Determinarea rezistivității în absența câmpului magnetic.

2.2.1. Epruvete cu dimensiuni mari în comparație cu distanța dintre electrozi.

Se consideră pentru început cazul unui spațiu semiconductor semiinfinit cu patru electrozi dispuși în linie pe suprafață (fig.2.1). Materialul probei este presupus omogen și izotrop iar diametrul secțiunii de contact a electrozilor este foarte mic în comparație cu distanța dintre electrozi pentru a putea fi considerat contact punctiform. Expresia potențialului electric într-un punct din spațiul semiinfinit corespunzător unei surse punctuale de curent plasată pe suprafață este

$$V = \frac{\rho I}{2\pi r} \quad (2.1)$$

în care  $\rho$  reprezintă rezistivitatea materialului spațiului semiinfinit,  $I$  valoarea curentului și  $r$  distanța de la sursă la punct. Dacă se consideră patru electrozi punctiformi dispuși în linie pe suprafața spațiului semiconductor semiinfinit, simetric în raport cu o axă, se obține pentru rezistivitate expresia [2, 61]

$$\rho = \frac{\pi(l_1^2 - l_2^2)}{2l_2} \cdot \frac{U}{I} \quad (2.2)$$

în care  $l_1$  și  $l_2$  sînt dimensiunile reprezentate în figura 2.1,

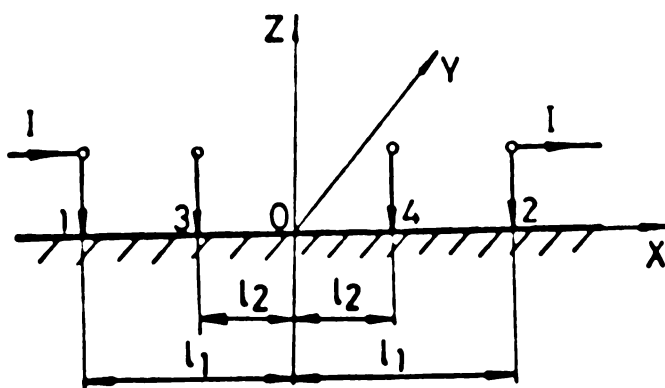


Fig.2.1.

$I$  curentul stabilit prin electrozii 1 și 2 iar  $U$  tensiunea măsurată la electrozii 3 și 4. Aplicarea relației (2.2) în practică pentru epruvete de dimensiuni foarte mari este însoțită de erori datorită dimensiunilor finite ale

epruvetei. Se apreciază că în cazul în care  $l_1 = 2l_2$  eroarea care se face neglijînd efectul marginilor finite ale epruvetei este  $\{ < 1\%$  dacă distanța de la cel mai apropiat electrod de marginea epruvetei este  $D \geq 8l_2$  [5]. Dacă distanța dintre electrozi este aceeași,  $l_1 - l_2 = 2l_2 = d$ , se obține [54, 103]

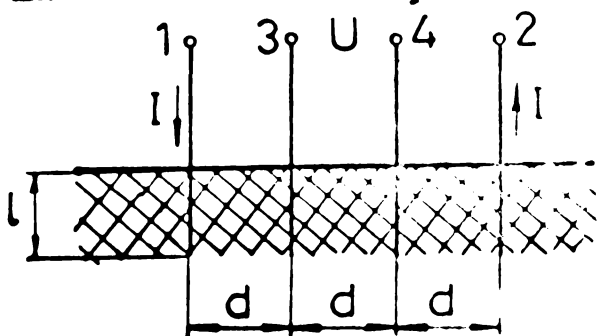
$$\rho = 2\pi d \frac{U}{I} \quad (2.3)$$



relație ce se poate aplica în cazul epruvetelor la care distanța de la cel mai apropiat electrod de marginea epruvetei este  $D \geq 3d$  [23]. Dacă distanțele dintre electrozi sînt inegale,  $d_1 \neq d_2 \neq d_3 \neq d$ , se obține pentru rezistivitate expresia [77]

$$\rho = \frac{2\pi d}{1 + D_2/2d - 3(D_1 + D_2)/4d} \cdot \frac{U}{I} \quad (2.4)$$

în care  $D_1 = d_1 - d$ ,  $D_2 = d_2 - d$ ,  $D_3 = d_3 - d$  reprezintă abaterile de la distanța egală  $d$  dintre electrozi. O metodă de determinare a rezistivității solului folosește patru electrozi filiformi



echidistați îngropați în sol pe o lungime  $l$  (fig.2.2). Se obține pentru rezistivitate expresia [92]

$$\rho = \frac{\pi d}{\ln \left[ \frac{2 \frac{1 + \sqrt{1 + (d/l)^2}}{1 + \sqrt{1 + 4(d/l)^2}}}{1 + \sqrt{1 + 4(d/l)^2}} \right]} \cdot \frac{U}{I} \quad (2.5)$$

fig.2.2.

în care  $d$  reprezintă distanța dintre electrozi.

Se consideră în continuare cazul unei plăci semiconductoare infinit extinsă de grosime constantă  $h$ , cu doi electrozi de curent cu suprafața de contact circulară de rază  $a$  și doi electrozi de tensiune punctiformi dispuși pe ambele fețe (fig.2.3)

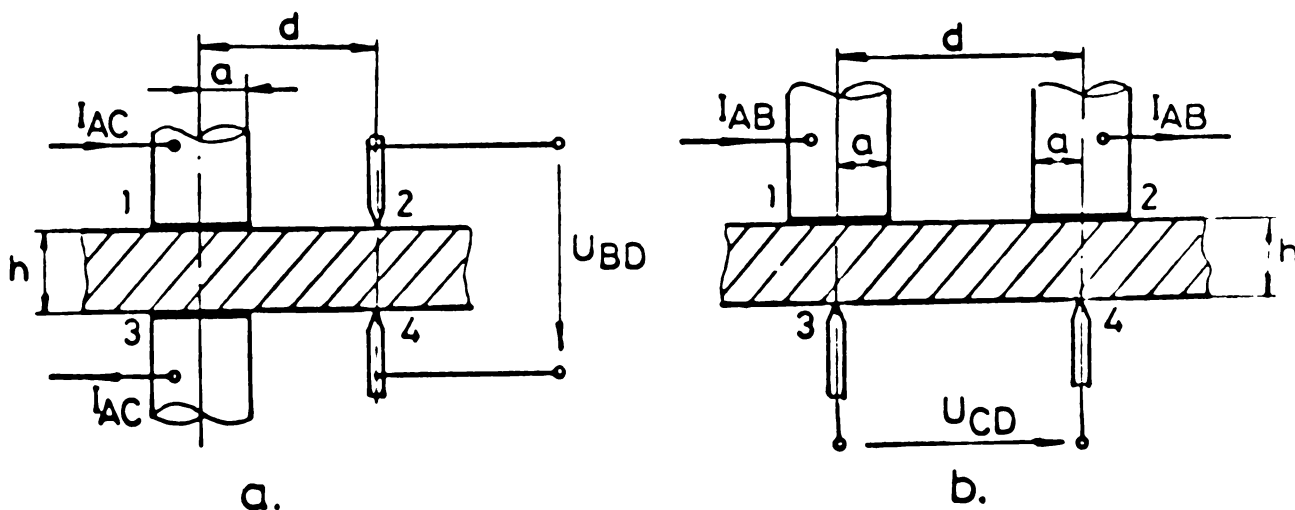


Fig.2.3.

La configurația din figura 2.3.a se obține pentru rezistivitate expresia [87]

$$\rho = \frac{\pi h}{G(a/d, a/d)} \cdot \frac{U_{24}}{I_{13}} \quad (2.6)$$

iar la configurația din figură 2.3.b se obține

$$\rho = \frac{\pi h}{H(h/d, a/d)} \cdot \frac{U_{24}}{I_{12}} \quad (2.7)$$

în care factorii G și H se determină cu ajutorul metodei imaginilor electrice. Aceeași așezare a electrozilor dar cu contacte de curent punctiforme a fost folosită și pentru determinarea componentelor tensorului rezistivitate în cazul unui material anizotrop [88]. Relațiile stabilite se pot aplica și în cazul unei plăci circulare având diametrul D, grosimea h și distanța dintre electrozi  $d \approx h$ , eroarea comisă fiind mai mică de 1% dacă  $D > 6h$  [52]. În cazul electrozilor punctiformi dispuși pe ambele fețe ca în figura 2.3.a, folosind metoda imaginilor electrice s-a obținut pentru rezistivitate expresia [89,90]

$$\rho = \frac{\pi d}{1 + 2 \frac{d}{h} \sum_{n=1}^{\infty} (-1)^n \left[ \left(\frac{d}{h}\right)^2 + n^2 \right]^{-1/2}} \cdot \frac{U_{24}}{I_{13}} \quad (2.8)$$

Dacă  $d/h < 0,1$  se poate considera expresia

$$\rho = \frac{\pi d}{1 + 2 \frac{d}{h} \sum_{n=1}^{\infty} \frac{(-1)^n}{n}} \cdot \frac{U_{24}}{I_{13}} \quad (2.9)$$

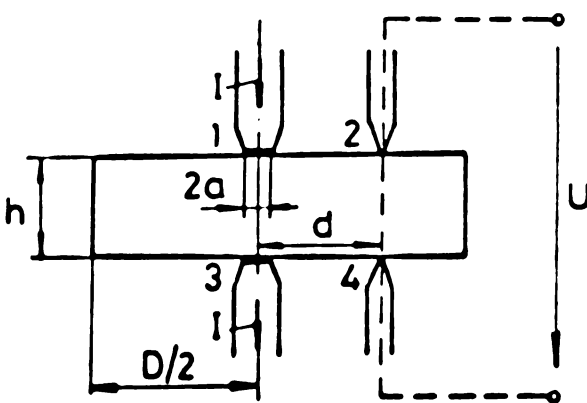


Fig.2.4.

Relația (2.8) a fost obținută și pe baza calculului potențialului într-un disc de diametru D, grosimea h, cu electrozi de curent având secțiunea de contact circulară de rază a, plasați în axa de simetrie a discului (fig. 2.4), folosind metoda separării variabilelor [14]. Considerând  $D^2 \gg 4 \cdot hd$  și  $I$  fiind limita când

$a$  tinde la zero se obține relația (2.8).

Se va considera în continuare cazul unor plăci de grosime și lățime constantă având însă lungimea foarte mare (plăci de lungime infinită) la care electrozii punctiformi sînt dispuși în linie de aceeași parte a plăcii (fig. 2.5). Folosind metoda imaginilor electrice se obține pentru rezistivitate, în cazul în care electrozii sînt echidistanți ( $l_1 = 3l_2$  și  $2l_2 = d$ ), expresia [64]

$$\rho = \frac{\pi h}{\ln(2ch \frac{\pi d}{2b})} \cdot \frac{U_{34}}{I_{12}} \quad (2.10)$$

în care  $h$  este grosimea plăcii,  $2b$  lățimea plăcii,  $d$  distanța dintre electrozi (fig.2.5).

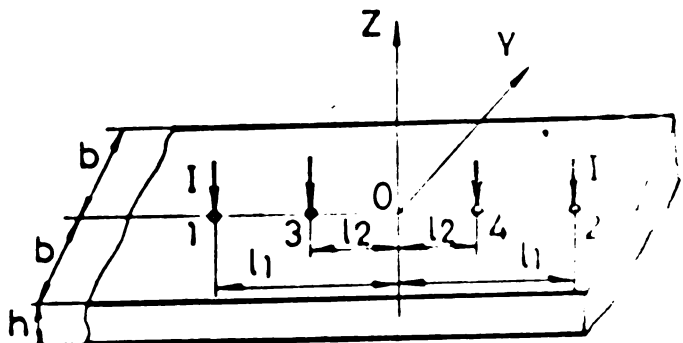


Fig.2.5.

Relația (2.10) este valabilă pentru plăci subțiri la care  $d \geq 2h$ . De menționat că această condiție necesară pentru transformarea unor sume în integrale este echivalentă cu considerarea unui câmp plan paralel în placă. În adevăr dacă în relația (2.10) se consideră limita când  $b$  tinde la infinit se obține relația (3.2) ce va fi discutată direct în capitolul 3, în cazul unor plăci de extindere foarte mare. Dacă placa este de lungime finită se comite o eroare de 1,1% în cazul unei plăci pătrate având latura  $l = 6d$  și de 9% dacă  $l = 3d$  [64]

Relația (2.10) este valabilă pentru plăci subțiri la care  $d \geq 2h$ . De menționat că această condiție necesară pentru transformarea unor sume în integrale este echivalentă cu considerarea unui câmp plan paralel în placă. În adevăr dacă în relația (2.10) se consi-

### 2.2.2. Plăci de dimensiuni finite

Se consideră o placă paralelipipedică având dimensiunile  $2a$ ,  $2b$  și  $h$  cu patru electrozi punctiformi dispuși simetric pe suprafața plăcii (fig.2.6). Se obține pentru rezistivitate

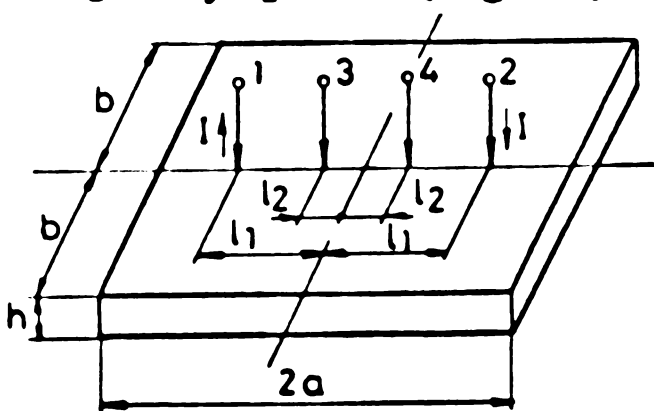


Fig.2.6.

expresia [58]

$$\rho = \frac{ab}{4 \sum_{k,n} \theta_n \frac{B_k}{\alpha_{kn}} \coth(\alpha_{kn} h)} \cdot \frac{U_{34}}{I_{12}} \quad (2.11)$$

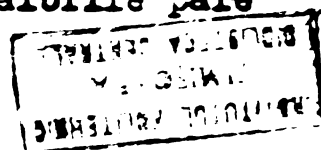
în care

$$\theta_n = \begin{cases} 1/2 & \text{pentru } n = 0 \\ 1 & \text{pentru } n \neq 0 \end{cases}$$

$$B_k = \sin \alpha_k l_1 \cdot \sin \alpha_k l_2$$

$$\alpha_{kn} = \sqrt{\alpha_k^2 + \alpha_n^2} = \sqrt{\left(\frac{\pi k}{2a}\right)^2 + \left(\frac{\pi n}{2b}\right)^2}$$

$k$  ia toate valorile întregi de la 1 la  $\infty$ ,  $n$  ia valorile pare



inclusiv zero, dimensiunile geometrice  $l_1, l_2, a, b, h$  sînt cele din figura 2.6. Relația (2.11) se simplifică în cazul unor plăci subțiri la care mărimile  $(a-l_1), l_2$  și  $(l_1-l_2)$  se pot considera mult mai mari în comparație cu  $h$  [1,30, 58]. Folosind metoda funcției Green a fost calculat factorul din expresia rezistivității ce ține seama de dimensiunile finite ale unei plăci paralelipipedice cu patru electrozi dispuși în linie [72]. Relația de calcul a rezistivității în cazul unei plăci patrute de grosime foarte mică cu patru electrozi punctiformi dispuși în vîrfurile unui pătrat a fost dedusă folosind metoda imaginilor electrice [55] sau prin transformarea conformă a patratului în cerc și apoi utilizînd metoda imaginilor electrice [71]. Dacă se consideră o placă dreptunghiulară cu doi electrozi plini ce ocupă o anumită porțiune pe periferia plăcii, plasați simetric în raport cu o axă, se poate determina expresia rezistenței plăcii în raport cu acești electrozi în funcție de rezistivitate și anumiți factori geometrice, folosind metoda transformărilor conforme [76].

În cazul unui disc cu diametrul  $D$  și grosimea  $h$ , avînd

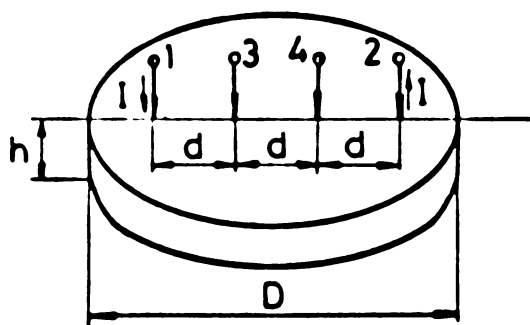


Fig.2.7.

patru electrozi echidistanți dispuși pe un diametru al discului (fig.2.7), în ipoteza unei grosimi mici a discului pentru a putea considera cîmp plan paralel, se obține pentru rezistivitate expresia [91]

$$\rho = \frac{\pi h}{\ln 2 + \ln \frac{(D/d)^2 + 3}{(D/d)^2 - 3}} \cdot \frac{U_{34}}{I_{12}} \quad (2.12)$$

în care  $d$  reprezintă distanța dintre electrozi. Dacă grosimea discului  $h$  este mare, în relația (2.12) intervine un factor de corecție  $F(h/d)$  ce scade pe măsură ce  $h/d$  crește. Valorile acestui factor sînt calculate prin metoda imaginilor electrice [91,104]. Mai apar factori suplimentari în cazul în care electrozii nu sînt așezați pe un diametru al discului [68,93,108]. În cazul dispunerii electrozilor în vîrfurile unui pătrat de latură  $d$ , în ipoteza unei grosimi  $h$  a discului foarte mică pentru a se putea considera cîmpul din disc plan paralel, se obține pentru rezistivitate expresia [63]

$$\rho = \frac{2\pi h}{\ln 2 + 2\ln [1+2(d/D)^2] - \ln [1+4(d/D)^4]} \cdot \frac{U}{I} \quad (2.13)$$

în care  $U$  este tensiunea măsurată la doi electrozi alăturați atunci când curentul  $I$  se stabilește prin ceilalți doi electrozi. Dacă electrozii sînt dispuși pe periferia discului, tot în virfurile unui pătrat, deoarece  $d = D/\sqrt{2}$  relația (2.13) devine

$$\rho = \frac{\pi h}{\ln 2} \cdot \frac{U}{I} \quad (2.14)$$

În cazul unui inel semiconductor cu electrozi filiformi plasați simetric pe periferie (fig.2.8) se obține pentru rezistivitate expresia [4]

$$\rho = \frac{\pi h}{\ln 2 + 2\ln \prod_{n=1}^{\infty} \frac{(b^{2n}/a^{2n}+1)^2}{(b^{4n}/a^{4n}+1)}} \cdot \frac{U_{34}}{I_{12}} \quad (2.15)$$

în care  $h$  reprezintă grosimea inelului,  $a$  raza exterioară,  $b$  raza interioară. Dacă se face limita când  $b$  tinde la zero relația (2.15) devine identică cu relația (2.14).

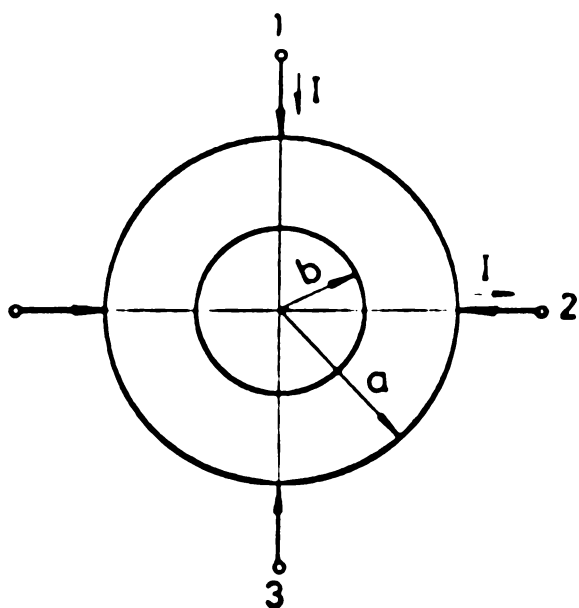


Fig.2.8.

$$\rho = \frac{\pi h}{\ln 2} \cdot \frac{R_1 + R_2}{2} f \left( \frac{R_1}{R_2} \right) \quad (2.16)$$

în care  $h$  este grosimea plăcii,  $R_1$  și  $R_2$  două rezistențe de transfer definite prin relațiile  $R_1 = (V_4 - V_3)/I_{12}$ ,  $R_2 = (V_1 - V_4)/I_{23}$  iar  $f$  este un factor ce depinde de raportul  $R_1/R_2$ .

O altă posibilitate de determinare a rezistivității

plăcilor semiconductoare de formă arbitrară o constituie modelizarea.

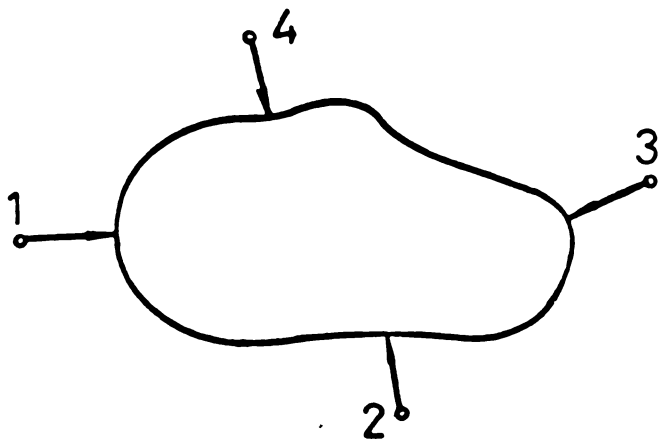


Fig.2.9.

Măsurînd rezistența plăcii  $R$  și a modelului de aceeași formă și dimensiuni  $R_m$ , confecționat dintr-un material cu rezistivitatea cunoscută  $\rho_m$ , se poate determina rezistivitatea plăcii cu relația(11)

$$\rho = \rho_m \frac{R}{R_m} \quad (2.17)$$

O problemă mai dificilă o reprezintă determinarea tensorului rezistivității materialelor anizotrope, respectiv matricea

$$[\rho] = \begin{bmatrix} \rho_1 & 0 & 0 \\ 0 & \rho_2 & 0 \\ 0 & 0 & \rho_3 \end{bmatrix}$$

În general problema se rezolvă prin transformarea mediului anizotrop într-un mediu izotrop în alt sistem de axe printr-o schimbare de coordonate adecvată [3, 42, 114]. O altă modalitate o reprezintă confecționarea a trei plăci prin tăierea materialului anizotrop după anumite direcții, la care aplicînd relația (2.16) se determină mărimile  $\sqrt{\rho_1 \rho_2}$ ,  $\sqrt{\rho_2 \rho_3}$ ,  $\sqrt{\rho_3 \rho_1}$ , din care se pot calcula  $\rho_1$ ,  $\rho_2$  și  $\rho_3$  [50, 107]. La o epruvetă elaborată printr-o tehnologie ce comportă operații de presare sau laminare într-o direcție tensorul rezistivității va avea doar două componente distincte ce pot fi determinate prin alegerea potrivită a configurației electrozilor de măsurare [0,7].

În anumite situații este necesar ca la determinarea rezistivității plăcilor semiconductoare să se țină seama și de rezistivitatea suportului pe care este așezată placa [49,60].

### 2.3. Determinarea rezistivității în prezența câmpului magnetic.

În acest paragraf se va considera cazul efectelor galvanomagnetice transversale, respectiv câmpul magnetic uniform de inducție  $\vec{B}$  va fi presupus perpendicular pe vectorii  $\vec{J}$  și  $\vec{E}$ . În cazul efectelor galvanomagnetice netransversale sînt necesare unele precizări suplimentare [9,45]. Pe altfel ipoteza mențio-



nată reprezintă una din condițiile necesare pentru că anumite relații de calcul ale rezistivității în absența cîmpului magnetic să rămîna valabile și în prezența cîmpului magnetic. În adevăr în absența cîmpului magnetic în regim staționar în fiecare punct al unui mediu omogen și izotrop potențialul electric satisface ecuația lui Laplace  $\nabla^2 V_0 = 0$ . În prezența cîmpului magnetic se demonstrează că potențialul electric satisface ecuația lui Laplace numai dacă cîmpul electrocinetic din placă este plan paralel și dacă  $\vec{B}$  este perpendicular pe placă [22, 95]. În aceste condiții din legea conducției electrice în prezența cîmpului magnetic

$$\vec{J} = \sigma(B) \left[ \vec{E} + c_H(B) \vec{J} \times \vec{B} \right]$$

rezultă că în fiecare punct al plăcii semiconductoare  $\vec{E}$  și  $\vec{J}$  fac între ei unghiul Hall a cărui tangentă este

$$\operatorname{tg} \theta = \sigma(B) \cdot c_H(B) \cdot B$$

Datorită acestui fapt condițiile pe frontieră ale lui  $\vec{J}$  și  $\vec{E}$  în prezența cîmpului magnetic diferă de cele din absența cîmpului magnetic. În cazul particular însă al unor electrozi filiformi sau punctiformi condițiile pe frontieră ale densității de curent rămîn neschimbate în prezența și absența cîmpului magnetic dacă alimentarea se face cu aceeași valoare a curentului.

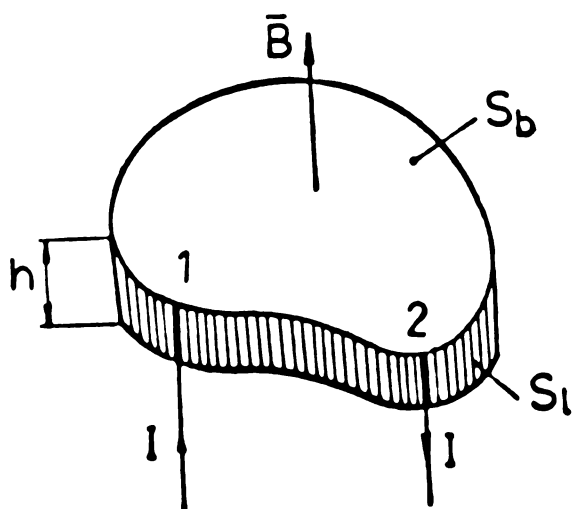


Fig.2.10.

În adevăr considerînd o placă semiconductoare de forma arbitrară cu doi electrozi filiformi 1 și 2 pe periferie, situată într-un cîmp magnetic de inducție  $\vec{B}$  perpendicular pe placă (fig.2.10), condițiile de existență ale densității curentului în absența cîmpului magnetic  $\vec{J}_0$  și respectiv în prezența cîmpului magnetic  $\vec{J}$  sînt date de relațiile

$$\operatorname{div} \vec{J}_0 = 0, \operatorname{rot} \vec{J}_0 = 0, (J_{on})_{S_b} = 0, (J_{on})_{S_l} = \pm \frac{I_0}{h} \delta(\vec{r} - \vec{r}_{1,2}) \quad (2.18)$$

$$\operatorname{div} \vec{J} = 0, \operatorname{rot} \vec{J} = 0, (J_r)_{S_b} = 0, (J_n)_{S_l} = \pm \frac{I}{h} \delta(\vec{r} - \vec{r}_{1,2})$$

în care  $\delta$  este funcția lui Dirac

$$\delta(\bar{r}-\bar{r}_{1,2}) = \begin{cases} 0 \text{ ptr. } \bar{r} \neq \bar{r}_1 \text{ și } \bar{r} \neq \bar{r}_2 \\ \infty \text{ ptr. } \bar{r} = \bar{r}_1 \text{ sau } \bar{r} = \bar{r}_2 \end{cases}$$

$\bar{r}_1$  și  $\bar{r}_2$  fiind vectorii de poziție a electrozilor filiformi 1 și 2. Dacă  $I = I_0$  rezultă din condițiile (2.18) că densitățile de curent sînt identice  $\bar{J} = \bar{J}_0$ . Ținînd seama de această identitate din legea conducției electrice în absența și în prezența inducției magnetice rezultă

$$\sigma(0) \bar{J}_0 = \sigma(B) [ \bar{E} + c_H(B) \bar{J} \times \bar{B} ] \quad (2.19)$$

Integrînd relația (2.19) pe o linie de cîmp a lui  $\bar{J}$  între două puncte 3 și 4 situate pe această linie se obține

$$\sigma(0) \int_3^4 \bar{J}_0 \cdot d\bar{l} = \sigma(B) \int_3^4 \bar{E} \cdot d\bar{l}$$

deoarece  $(\bar{J} \times \bar{B}) \cdot d\bar{l} = 0$ . Rezultă deci egalitatea

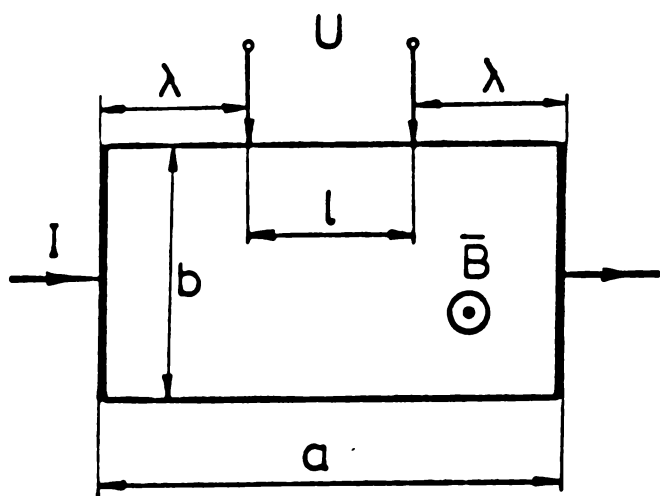
$$\rho(B) = \rho(0) \cdot \frac{U_{34}(B)}{U_{34}(0)} \quad (2.20)$$

ce pune în evidență faptul că în condițiile menționate relațiile de calcul ale rezistivității stabilite în absența cîmpului magnetic rămîn valabile și în prezența cîmpului magnetic cu observația că intervin mărimile măsurate în prezența cîmpului magnetic. În concluzie relațiile de calcul stabilite în absența cîmpului magnetic (paragraful 2.2) pot fi folosite și în cîmp magnetic în următoarele ipoteze:

- cîmpul electrocinetic din placă să fie plan paralel
- cîmpul magnetic să fie perpendicular pe placă
- electrozii să fie punctiformi sau filiformi
- electrozii de tensiune să fie dispuși pe aceeași linie de cîmp a densității de curent.

Determinarea rezistivității în prezența cîmpului magnetic poate fi făcută și în cazul plăcilor dreptunghiulare cu electrozi plini avînd lungimea mult mai mare ca lățimea astfel încît în zona centrală a plăcii să nu se manifeste efectul magnetorezistiv geometric, respectiv cîmpul densității de curent să fie uniform. Au fost făcute în acest sens determinări experimentale la plăci cu o lungime de 10-25 ori mai mare ca lățimea [70,115]. Folosind transformarea conformă și neglijînd anumiți termeni se arată cu creșterea rezistenței datorită efectului magnetorezistiv

Geometrie  $\Delta R$  în zona electrozilor de măsurare a tensiunii



(fig.2.11) este neglijabilă dacă  $a/b > 3$  și  $\lambda \gg b$  [27]. În acest caz

$$\frac{U}{I} = \rho \frac{l}{bh} + \Delta R \quad (2.21)$$

în care  $l$  reprezintă distanța dintre electrozii de tensiune,  $h$  grosimea plăcii iar  $b$  lățimea.

Fig.2.11.

De altfel considerarea cîmpului uniform în zona de măsurare

a tensiunii stă la baza mai multor lucrări de specialitate la care accentul a fost pus pe îmbunătățirea circuitului electric de măsurare pentru ca erorile să fie mici [31,44,48,117]. Pentru eliminarea efectelor perturbatoare se folosește curent de comandă cu impulsuri dreptunghiulare [47,82].

#### 2.4. Determinarea coeficientului Hall

##### 2.4.1. Metode specifice pentru determinarea coeficientului Hall.

Metode specifice pentru determinarea coeficientului Hall sînt în general mai puțin frecvente în literatură, datorită în primul rînd faptului că în tehnică ele sînt folosite doar în cazul utilizării dispozitivelor galvanomagnetice. În fizică însă ele au o importanță deosebită deoarece cunoașterea coeficientului Hall permite obținerea unor informații în legătură cu alte proprietăți fizice ale materialului. În al doilea rînd trebuie precizat că metodele de determinare a coeficientului Hall trebuie să se bazeze pe legea conducției electrice în prezența cîmpului magnetic, spectrul intensității cîmpului electric fiind diferit față de cel din absența cîmpului magnetic.

Folosind expresia potențialului dedusă în absența cîmpului magnetic și echilibrul forțelor ce se exercită asupra unui purtător mobil de sarcină ( $e\vec{v}$  și  $e\vec{v} \times \vec{B}$ ) în cazul unei plăci de lungime foarte mare după direcția axei  $Ox$  (fig.2.12) se obține pentru coeficientul Hall expresia [64]

$$C_H = \frac{2b}{\sigma t h} \cdot \frac{U}{I \cdot B} \quad (2.22)$$

în care  $2b$  este lățimea plăcii,  $2l_1$  distanța dintre electrozii

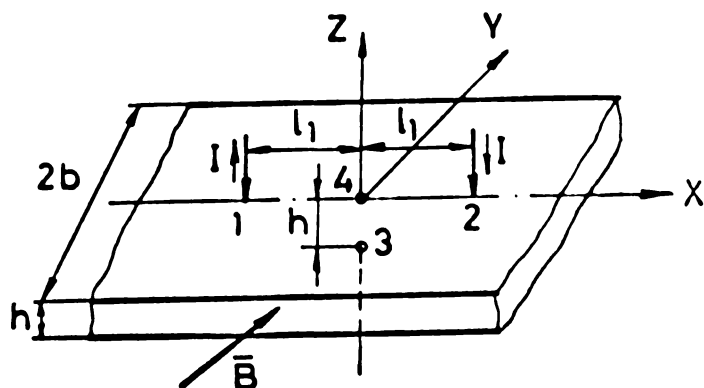


Fig.2.12.

presia coeficientului Hall nu intervine grosimea plăcii  $h$ , în schimb intervine lățimea plăcii  $2b$ .

În cazul în care toate dimensiunile plăcii sînt finite

(fig.2.13) expresia coeficientului Hall este mai complicată [59]

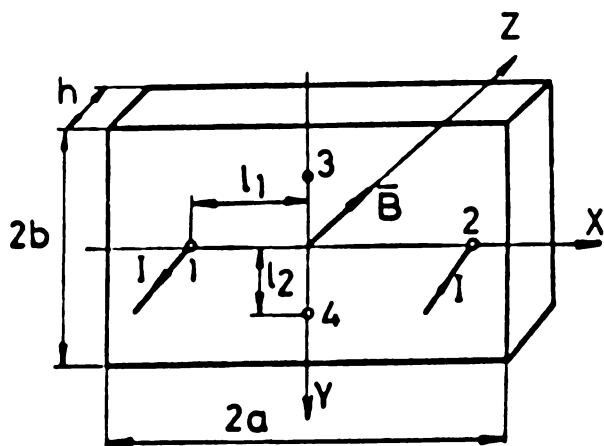


Fig.2.13.

pe axa de simetrie longitudinală și de distanța  $2l_2$  dintre electrozii punctiformi de tensiune situați pe axa de simetrie transversală (fig.2.13). Câmpul magnetic uniform este orientat perpendicular pe placa de grosime  $h$ . Expresia (2.23) a fost dedusă în ipoteza unor câmpuri magnetice slabe, legea conducției electrice fiind scrisă în forma [59]

$$\vec{J} = \sigma \vec{E} + \sigma^2 C_H (\vec{E} \times \vec{B})$$

în care  $\sigma$  reprezintă conductivitatea materialului în absența câmpului magnetic. În plus s-a considerat că tensiunea Hall ce apare între electrozii 3-4 poate fi considerată o funcție liniară de inducție magnetică.

O metodă simplă și utilă se referă la determinarea coeficientului Hall la plăci de o formă oarecare avînd grosimea constantă  $h$ . Pe periferia plăcii sînt prevăzuți patru electrozi filiformi a căror poziție este de asemenea arbitrară. Se alimen-

$$C_H = \frac{h}{\frac{l_1 l_2}{ab} + F_H} \cdot \frac{U}{I \cdot B} \quad (2.23)$$

în care  $F_H$  este o funcție ce depinde de lungimea și lățimea plăcii,  $2a$  și respectiv  $2b$ , de distanța  $2l_1$  dintre electrozii punctiformi de curent așpuși

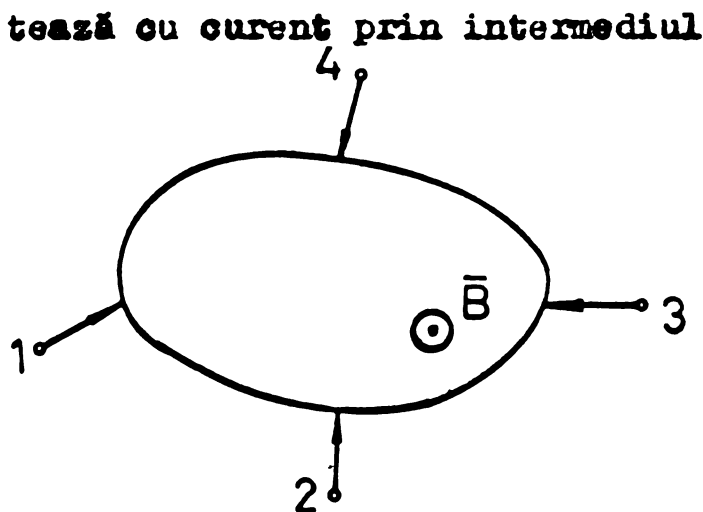


Fig.2.14.

tează cu curent prin intermediul a doi electrozi nealăturați și se măsoară tensiunea electrică între ceilalți doi electrozi în absența și în prezența câmpului magnetic uniform și perpendicular pe placă (fig. 2.14). Pentru coeficientul Hall se obține expresia [105]

$$C_H = h \frac{\Delta U_{24}}{3 \cdot I_{13}} = \frac{h}{b} \cdot \frac{U_{24}(B) - U_{24}(0)}{I_{13}} \quad (2.24)$$

relație afectată de anumite erori ce se vor analiza în capitoul 4

În cazul unui disc cu diametrul  $D$  și grosimea  $h$  foarte mică, pentru a se putea considera câmp plan paralel în disc,

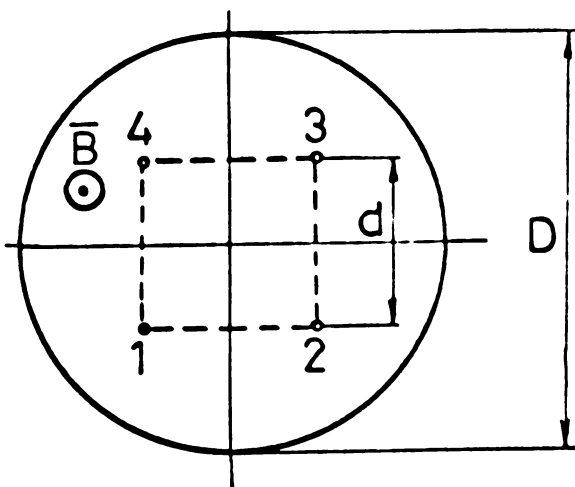


Fig.2.15.

cu patru electrozi punctiformi dispuși în vîrfurile unui pătrat cu latura  $d$  (fig.2.15) se obține pentru coeficientul Hall expresia [63]

$$C_H = \frac{2\pi h}{\pi \cdot 4 \arctg^2(d/D)^2} \cdot \frac{U_{24}}{I_{13} \cdot b} \quad (2.25)$$

Pentru aceeași configurație folosind metoda „imaginilor Cervoine” a rezultat pentru coeficientul Hall expresia [16]

$$C_H = \frac{\pi h}{4 \arctg^2(d/D)^2} \cdot \frac{U_{24}}{b \cdot I_{13}} \quad (2.26)$$

Deosebirile dintre expresiile (2.25) și (2.26) se datoresc faptului că în primul caz electrozii au fost considerați punctiformi iar în al doilea caz s-a considerat dimensiunea finită a electrozilor în stabilirea condițiilor de frontieră, neglijându-se însă în calcule această dimensiune. Totuși reprezentarea conformă a dreptunghiului pe cerc și prelucrarea rezultatelor obținute în cazul discurilor subțiri se poate determina și expresia coeficientului Hall la o placă dreptunghiulară subțire cu patru electrozi dispuși în pătrat pe suprafața plăcii [38].

Intr-o serie de lucrări de specialitate se consideră plăci dreptunghiulare cu electrozi de comandă plini și electrozi Hall punctiformi situați în zona centrală a plăcii (fig.2.16).

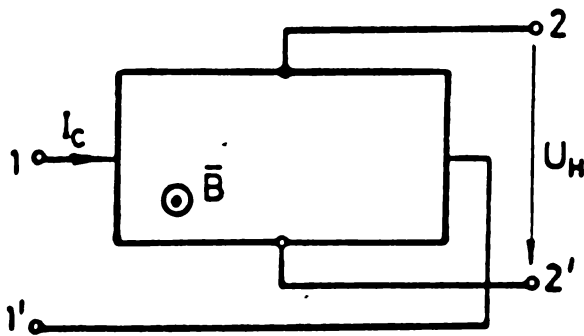


Fig.2.16.

Coeficientul Hall se calculează cu relația

$$C_H = \frac{1}{h} \cdot \frac{U_H}{B \cdot I_c} \quad (2.27)$$

valabilă în cazul unor plăci de lungime foarte mare. În anumite situații expresia (2.27) se corectează cu un factor subunitar

funcție de raportul dintre lungimea plăcii și lățimea sa, factor care în realitate depinde și de inducția magnetică. Pentru eliminarea efectelor perturbatoare se folosește curent de comandă și inducție magnetică sub forma unor mărimi sinusoidale de frecvențe diferite, tensiunea Hall fiind măsurată cu voltmetre selective ce măsoară componentele alternative cu frecvența  $f_1 - f_2$  și  $f_1 + f_2$  [86] sau se folosește curent de comandă continuu și câmp magnetic alternativ pentru a se elimina și tensiunea de zero [36].

O situație specială o prezintă materialele semiconductoare ferimagnetice ca  $Fe_3O_4$  la care în afara coeficientului Hall obișnuit corespunzător câmpului magnetic aplicat din exterior mai intervine și coeficientul Hall corespunzător magnetizației proprii. Pentru determinarea coeficientului Hall obișnuit se măsoară tensiunea Hall la două valori ale câmpului magnetic din exterior în domeniul saturației magnetice a materialului [10,65].

#### 2.4.2. Determinarea simultană a coeficientului Hall și a rezistivității.

Există metode care presupun determinarea experimentală simultană a coeficientului Hall și a rezistivității în prezența câmpului magnetic, deoarece așa cum s-a precizat în cazul general condițiile de frontieră depind de unghiul Hall. O care este funcție și de parametri fizici menționați. O metodă interesantă ce va fi dezvoltată în capitolul 4 se referă la determinarea  $C_H(B)$  și  $\rho(B)$  în cazul unor plăci de formă oarecare cu electrozi de comandă (de alimentare) având dimensiunile și poziția pe periferia plăcii arbitrare (fig.2.17). Confectionând un model asemănător cu placa câtă se determină printr-un proces iterativ



„ paralelogramul Hall ” corespunzător, folosind proprietățile

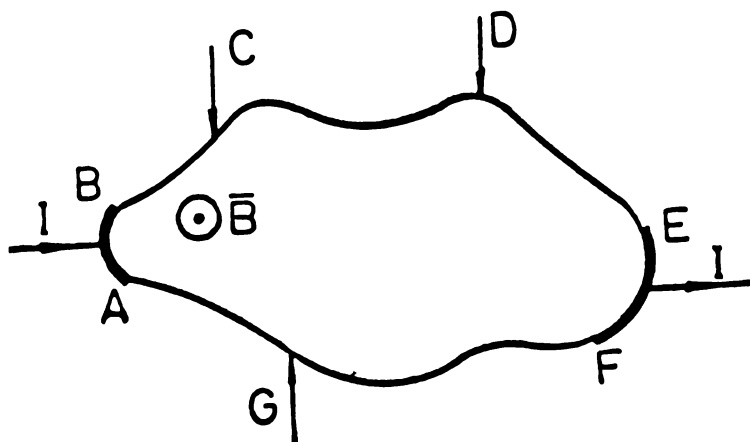


Fig.2.17.

reprezentării conforme [15] alegând o valoare inițială a unghiului Hall, se determină valorile rezistivității și coeficientului Hall ce corespund unei anumite inducții magnetice. Cu aceste valori se recalculază unghiul Hall și se modifică înclinarea pa-

ralelogramului Hall din care se determină apoi  $\rho(L)$  și  $C_H(B)$ . Procesul se continuă pînă cînd valoarea nou calculată a unghiului este egală sau diferă foarte puțin de valoarea anterioară. Pe baza caracteristicilor paralelogramului Hall se obțin pentru coeficientul Hall și rezistivitate expresiile [15]

$$C_H(B) = \frac{h}{1 - \frac{s}{b} \operatorname{ctg} \theta} \cdot \frac{U_H}{I \cdot b} ; \quad \rho(L) = \frac{h \cdot b}{l} \cdot \frac{U_P}{I} \quad (2.43)$$

în care s, b, l și  $\theta$  sînt mărimile indicate în figura 2.18, h re-

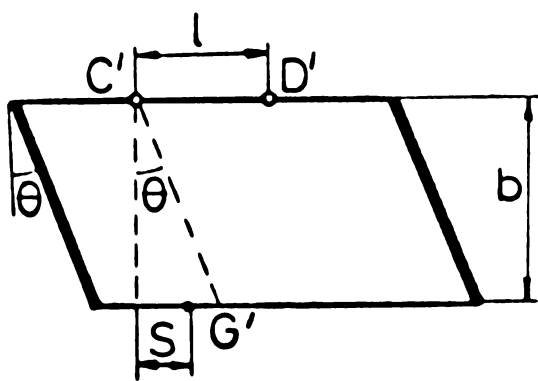


Fig.2.18.

prezintă grosimea plăcii iar  $U_H$  și  $U_P$  sînt tensiunile măsurate în prezența inducției magnetice B între contactele C-G și respectiv C-D. Poziția contactelor C', D' și G' din paralelogramul Hall se determină pentru fiecare înclinare respectînd egalitatea rezistențelor respectiv a căderilor de tensiune cu cele de pe modelul

plăcii considerate. La metoda prezentată în literatură [15] sînt necesare două precizări și anume electrozii de tensiune trebuie să fie punctiformi (piliformi) pentru că altfel paralelogramul Hall s-ar modifica, iar în plus expresia coeficientului Hall este adevărată dacă electrozii C și G sînt echipotențiali în absența cîmpului magnetic. Un proces iterativ asemănător se face și pentru calculul rezistivității în prezența cîmpului magnetic în cazul unor discuri [16] și a unor plăci dreptunghiulare [30] cu elec -

trozii dispuși în pătrat pe suprafața plăcii. Deoarece în expresia rezistivității intervine și unghiul Hall  $\theta$ , plecând de la o valoare aleasă se determină valoarea rezistivității și apoi a unei noi valori a unghiului Hall, procesul continuându-se pînă se ajunge la două valori succesive practic egale. Aceasta presupune însă cunoașterea coeficientului Hall pentru acea valoare a inducției magnetice.

La o placă dreptunghiulară lungă cu electrozi de comandă plini și electrozi de tensiune punctiformi plasați în zona centrală a plăcii în care se consideră cîmp uniform se poate separa efectul Hall de efectul magnetorizitiv fizic [25] dacă

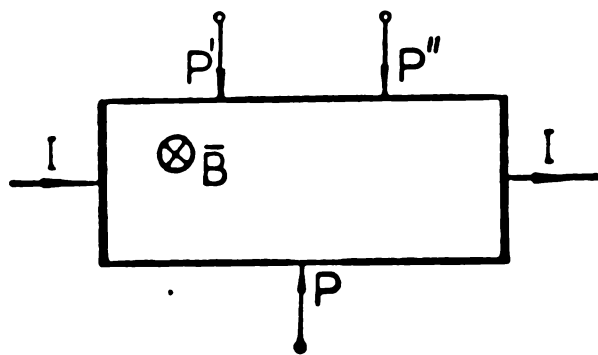


Fig.2.19.

se măsoară tensiunea în prezența și în absența cîmpului magnetic între electrozii P-P' și de asemenea între P-P'' (fig.2.19). Configurația din figura 2.19 în care însă electrozul P este așezat astfel încît să aibă același potențial electric în absența cîmpului magnetic cu unul dintre electrozii

P' sau P'' poate fi folosită și pentru determinarea separată a coeficientului Hall și a rezistivității [19,85].

În afara plăcilor dreptunghiulare se mai folosesc și alte forme de epruvete pentru măsurarea efectelor galvanomagnetice. Una dintre acestea o reprezintă forma în cruce folosită pentru măsurarea mobilității Hall. Utilizarea unei plăci în forma de inel situată într-un cîmp magnetic variabil în timp (fig.2.20)

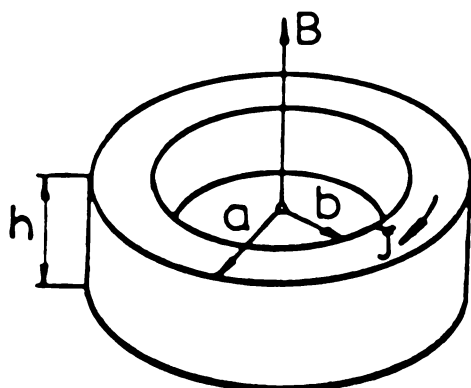


Fig.2.20.

cauză unele efecte perturbatoare ce pot apărea la măsurarea în regim staționar și în plus elimină electrozii de alimentare. Cîmpul magnetic sinusoidal în timp induce în inel un curent electric rezultînd astfel o tensiune Hall între raze interioară și exterioară a inelului. Dacă grosimea  $h$  a inelului nu este prea mare se obține pentru tensiunea Hall expresia [81]

$$u_H = \frac{1}{c} \mu_H \omega B_m^2 (a^2 - b^2) \sin 2\omega t \quad (2.44)$$

în care  $\mu_H$  reprezintă mobilitatea Hall iar  $B_m$  amplitudinea inducției magnetice ce variază sinusoidal cu pulsația  $\omega$ .

### C A P I T O L U L III

#### METODE DE CALCUL PENTRU PLACI SIMETRICE

##### 3.1. Determinarea rezistivității și coeficientului Hall la plăci de extindere foarte mare

În acest paragraf se stabilesc relațiile de calcul ale rezistivității și coeficientului Hall la plăci semiconductoare de extindere foarte mare (teoretic infinite), având grosime constantă. Materialul semiconductor este presupus omogen, izotrop și fără gradienti de temperatură. Datorită faptului că în acest caz relațiile de calcul sînt mai simple decît în cazul plăcilor finite, ele se folosesc uneori în practică pentru determinări cu o anumită aproximație și în cazul plăcilor cu dimensiuni mari în raport cu distanța dintre electrozi.

##### 3.1.1. Determinarea rezistivității. Influența dimensiunilor finite ale electrozilor de alimentare.

α. Dacă curentul  $I$  în placă se stabilește cu ajutorul a doi electrozi filiformi situați perpendicolar pe aceasta pe toată grosimea ei, astfel încît cîmpul electrocinetic staționar din placă să fie plan paralel, într-un punct al plăcii potențialul electric în absența cîmpului magnetic are expresia

$$V = \frac{\rho I}{2\pi h} \ln \frac{r_2}{r_1} \quad (3.1)$$

în care  $h$  este grosimea plăcii,  $r_2$  distanța de la punct la electrodul prin care curentul iese din placă iar  $r_1$  distanța de la punct la electrodul prin care curentul intră în placă.

Dacă se consideră electrozii filiformi 1 și 2 de alimentare iar 3 și 4 de măsurare, situați pe aceeași linie la distanța  $d$  unul de celălalt (fig.3.1) atunci tensiunea măsurată între electrozii 3 și 4 va fi

$$U = V_3 - V_4 = \frac{\rho I}{\pi h} \ln 2$$

rezultînd pentru rezistivitate expresia

$$\rho = \frac{\pi h}{\ln 2} \cdot \frac{U}{I} \quad (3.2)$$

Dacă electrozii sînt situați în vîrfurile unui pătrat cu latura  $d$  (fig.3.2) pentru rezistivitate rezultă expresia

$$\rho = \frac{2\pi h}{\ln 2} \cdot \frac{U}{I} \quad (3.3)$$

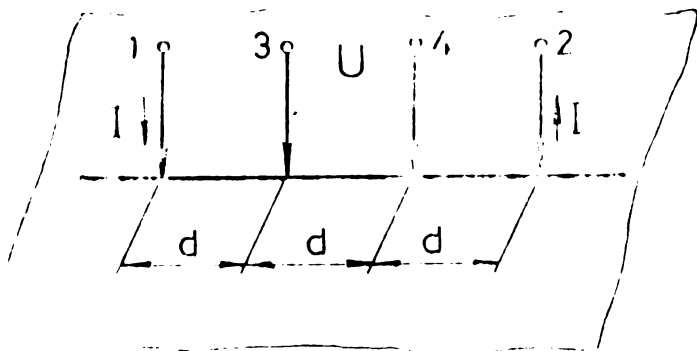


Fig.3.1.

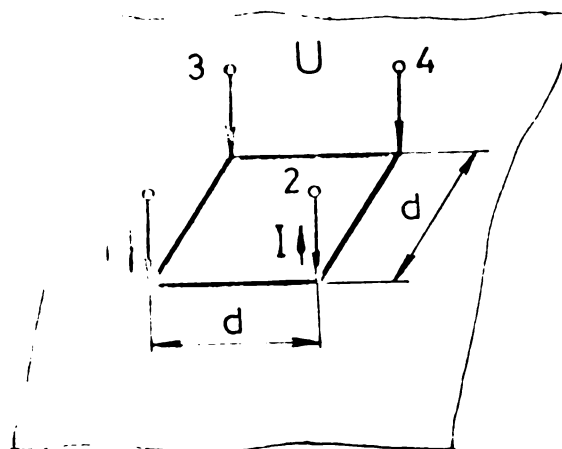


Fig.3.2.

Relațiile (3.2) și (3.3) stabilite în absența cîmpului magnetic rămîn valabile și în prezența cîmpului magnetic transversal, fiind îndeplinite toate condițiile precizate în paragraful 2.3 din capitolul 2.

3. Relațiile (3.2) și (3.3) pentru determinarea rezistivității materialelor semiconductoare sînt valabile pentru electrozi de alimentare filiform. În realitate electrozii au o anumită dimensiune ceea ce implică o eroare în aplicarea relațiilor menționate. Pentru a evalua această eroare se consideră electrozi de alimentare cilindrici cu raza  $a$  dispuși la distanța  $d$  măsurată între axe. Prin analogia cîmpului electrocinetic staționar cu cîmpul electrostatic, potențialul electric corespunzător electrozilor cilindrici poate fi calculat înlocuindu-i pe aceștia cu electrozi filiformi plasați excentric față de axa electrozilor cilindrici (fig.3.3), avînd excentricitatea [84]

$$e = \frac{d}{2} - \sqrt{\frac{d^2}{4} - a^2} \quad (3.4)$$

Potențialul electric corespunzător celor doi electrozi filiformi situați excentric este

$$V = K \ln \frac{r_2}{r_1} \quad (3.5)$$

în care  $k$  este o constantă de proporționalitate ce se determină dintr-o condiție de echivalență a electrozilor filiformi cu cei

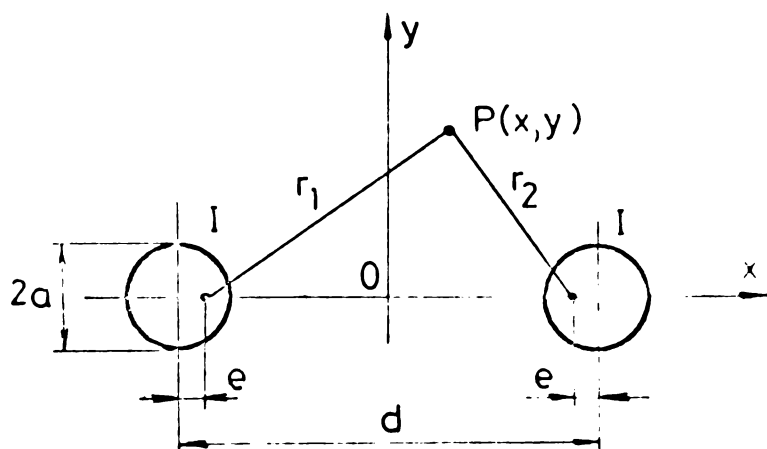


Fig. 3.3.

cilindrici iar  $r_1$  și  $r_2$  sînt distanțele de la punctul  $P$  în care se calculează potențialul la cei doi electrozi avînd coordonatele  $(-e, 0)$  și respectiv  $(e, 0)$  în care

$$\alpha = \frac{d}{2} - e = \sqrt{\frac{d^2}{4} - a^2}$$

Constanta  $k$  poate fi determinată punînd condiția ca prin înlocuirea electrozilor cilindrici cu cei filiformi curentul printr-o suprafață ce separă cei doi electrozi să fie egal cu curentul de alimentare  $I$ . Considerînd planul infinit ce trece prin axa  $Oy$  se obține

$$I = \int_S \vec{J} \cdot d\vec{s} = h \int_{-\infty}^{+\infty} (J_x)_{x=0} \cdot dy$$

în care

$$(J_x)_{x=0} = -\sigma \left( \frac{\partial V}{\partial x} \right)_{x=0} = \frac{2\sigma k \alpha}{\alpha^2 + y^2}$$

astfel ca

$$I = 2\sigma k \alpha h \int_{-\infty}^{+\infty} \frac{dy}{\alpha^2 + y^2} = 2\sigma k h \pi$$

Rezultă deci

$$k = \frac{I}{2\pi h \sigma} = \frac{\rho I}{2\pi h} \tag{3.5}$$

În cazul electrozilor dispuși în linie (fig. 3.4) tensiunea măsurată între electrozii 3 și 4 are expresia

$$U = V_3 - V_4 = 2V_3 = \frac{\rho I}{\pi h} \ln \frac{2d - 3e}{d - 3e}$$

ținînd seama de relația (3.4)

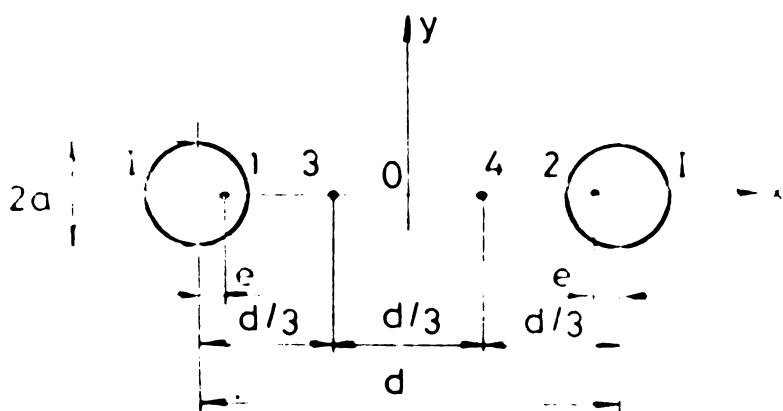


Fig. 3.4.

se obține pentru rezistivitate expresia

$$\rho = \frac{\pi h}{\ln \frac{d+3\sqrt{d^2-4a^2}}{-d+3\sqrt{d^2-4a^2}}} \cdot \frac{U}{I} \quad (3.7)$$

Se observă că pentru  $d \gg a$  rezultă pentru  $\rho$  expresia (3.2) ce corespunde electrozilor de alimentare filiformi. Prin urmare cu cât distanța dintre electrozi este mai mare cu atât eroarea datorată dimensiunii finite a electrozilor de alimentare este mai mică. Eroarea relativă cu care se determină rezistivitatea în cazul electrozilor cilindrici dacă se folosește relația (3.2) valabilă pentru electrozi filiformi este

$$\xi = \frac{\ln(1+3\sqrt{1-4\lambda^2}) - \ln(-1+3\sqrt{1-4\lambda^2})}{\ln 2} - 1 \quad (3.8)$$

în care  $\lambda = a/d$ . Dependența  $\xi = f(1/\lambda)$  este prezentată în figura 3.5 (curba 1).

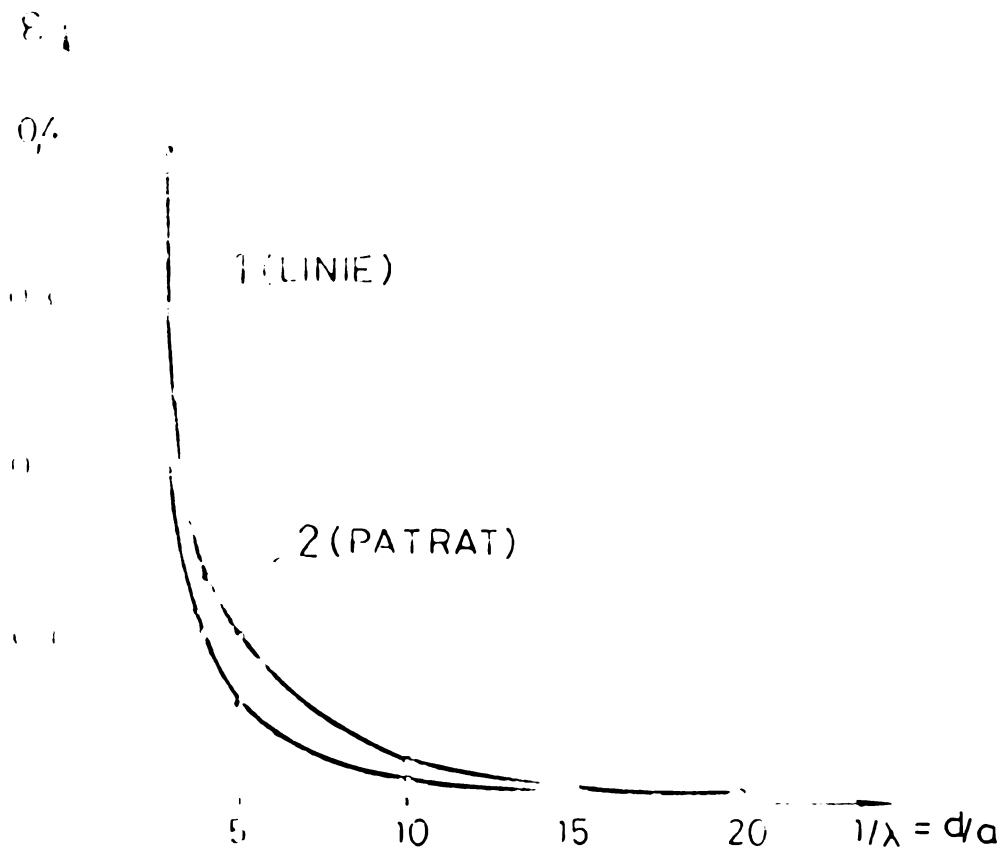


Fig.3.5.

În cazul unor electrozi dispuși în patrat (fig.3.6) pentru tensiunea măsurată între electrozii 3 și 4 rezultă expresia

$$U = V_3 - V_4 = 2V_3 = \frac{\rho I}{2\pi h} \ln \frac{d^2 + (d-e)^2}{d^2 + e^2}$$



Tinând seama de relația (3.4) se obține pentru rezistivitate expresia

$$\rho = \frac{2\pi h}{\ln \frac{d^2 + \frac{d^2}{4}(1 + \sqrt{1 - 4\frac{a^2}{d^2}})^2}{d^2 + \frac{d^2}{4}(1 - \sqrt{1 - 4\frac{a^2}{d^2}})^2}} \cdot \frac{U}{I} \quad (3.9)$$

Se observă că pentru  $d \gg a$  se obține relația (3.3) valabilă pentru electrozi filiformi. Folosind relația (3.3) în cazul în care electrozii de alimentare sînt cilindrici se comite o eroare ce are expresia

$$\xi = \left| \frac{\ln \left[ 1 + \frac{1}{4}(1 + \sqrt{1 - 4\lambda^2})^2 \right] - \ln \left[ 1 + \frac{1}{4}(1 - \sqrt{1 - 4\lambda^2})^2 \right]}{\ln 2} - 1 \right| \quad (3.10)$$

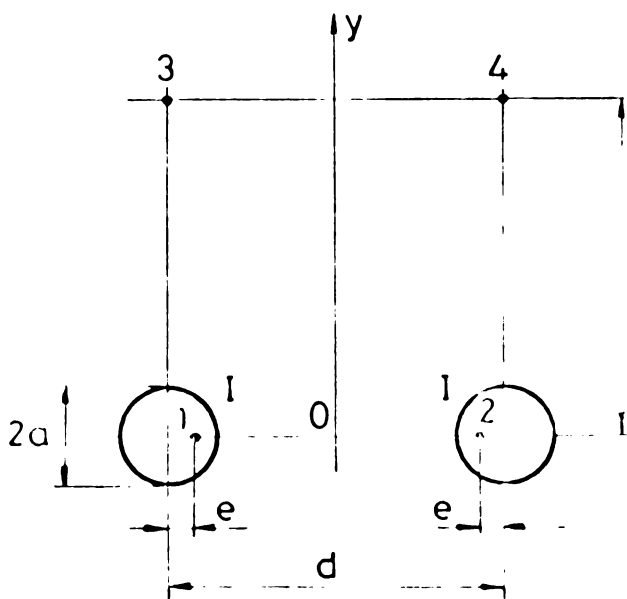


Fig. 3.6.

Dependența  $\xi = f(1/\lambda)$  este prezentată în figura 3.5 (curba 2). Se remarcă faptul că în cazul electrozilor echidistanți plasați în vîrfurile unui pătrat eroarea este mai mică decît în cazul electrozilor echidistanți plasați în linie. În plus dispunerea în pătrat a electrozilor este folosită și pentru controlul omogenității materialelor în care caz alimentarea se face prin electrozi opuși. Se mai poa-

te menționa și faptul că dispunerea în pătrat a electrozilor permite și determinarea coeficientului Hall.

Trebuie menționat faptul că relațiile stabilite corespund plăcilor semiconductoare în care se stabilește un cîmp electrocinetic plan paralel. Deoarece în cazul determinărilor experimentale electrozii nu pot fi introduși în materialul semiconductor pe toată grosimea plăcii ei se dispun pe suprafața plăcii. În acest caz relațiile sînt valabile doar pentru plăci foarte subțiri la care cîmpul să fie practic plan paralel. Dacă grosimea plăcii este relativ mare este necesar să se considere factor de corecție ce se pot determina cu ajutorul metodei imaginilor

electrice [30]. Se apreciază că este necesară considerarea factorului de corecție în relația (3.2) dacă  $h > 0,3 d$  [94].

### 3.1.2. Determinarea coeficientului Hall

Se consideră o placă de extindere foarte mare situată într-un câmp magnetic exterior de inducție  $B$ , uniform și perpendicular pe placă. Considerând electrozii filiformi de coordonate  $(x_1, y_1)$  prin care curentul  $I$  intră în placă și  $(x_2, y_2)$  prin care curentul  $I$  iese din placă, componentele densității de curent într-un punct  $P(x, y)$  sînt

$$J_x = \frac{I}{2\pi h} \left[ \frac{x - x_1}{(x-x_1)^2 + (y-y_1)^2} - \frac{x - x_2}{(x-x_2)^2 + (y-y_2)^2} \right] \quad (3.11)$$

$$J_y = \frac{I}{2\pi h} \left[ \frac{y - y_1}{(x-x_1)^2 + (y-y_1)^2} - \frac{y - y_2}{(x-x_2)^2 + (y-y_2)^2} \right]$$

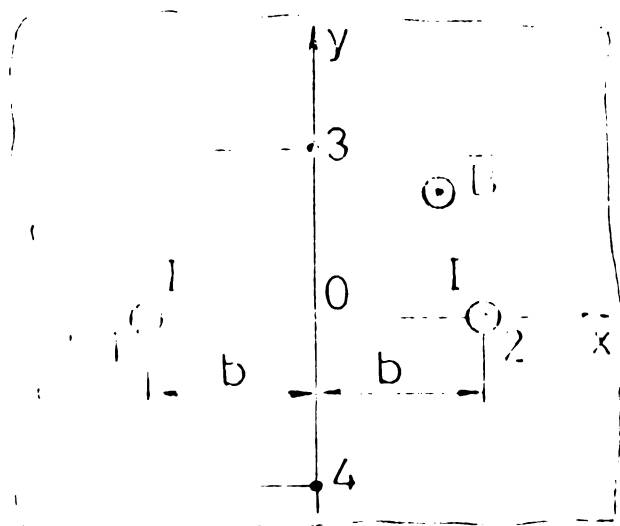


Fig.3.7.

câmp magnetic. Dacă electrozii 3-4 de măsurarea tensiunii se află pe mediatoarea segmentului ce unește electrozii de alimentare 1-2 (fig.3.7) se obține pentru tensiune expresia

$$U = \int_3^4 \vec{s} \cdot d\vec{l} = - \int_{-c}^{+c} (u_y)_{x=0} \cdot dy$$

Ținând seama de relațiile (3.12) și (3.11) se obține expresia

$$U = - \frac{2C_H BI}{\pi h} \operatorname{arctg} \frac{c}{b}$$

rezultînd pentru coeficientul Hall expresia

Pe baza legii conducției electrice în prezența câmpului magnetic transversal se pot exprima componentele intensității câmpului electric astfel

$$E_x = \vec{s} \cdot \vec{i} = \rho J_x - C_H B J_y \quad (3.12)$$

$$E_y = \vec{s} \cdot \vec{j} = \rho J_y + C_H B J_x$$

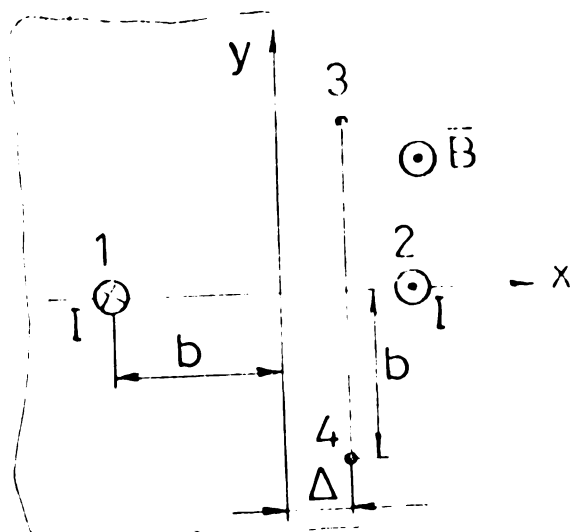
în care  $\rho$  și  $C_H$  reprezintă rezistivitatea și coeficientul Hall în

$$C_H = - \frac{\pi h}{2 \arctg \frac{c}{b}} \cdot \frac{U}{BI} \quad (3.13)$$

Dacă electrozii sînt dispuși în virfurile unui pătrat,  $c = b$ , se obține

$$C_H = - 2h \frac{U}{BI} \quad (3.14)$$

Cînd electrozii de tensiune 3-4 se află așezați pe o dreaptă paralelă cu mediatoarea segmentului ce unește electrozii 1-2, deplasată față de aceasta cu distanța  $\Delta$  (fig.3.8), expresia tensiunii este



$$U = \int_3^4 \vec{E} \cdot d\vec{l} = - \int_{-b}^{+b} (E_y)_{x=\Delta} \cdot dy =$$

$$= - \rho \int_{-b}^{+b} (J_y)_{x=\Delta} \cdot dy - C_H B \int_{-b}^{+b} (J_x)_{x=\Delta} \cdot dy$$

Deoarece  $\int_{-b}^{+b} (J_y)_{x=\Delta} \cdot dy = 0$  se obține pentru coeficientul Hall expresia

$$C_H = - \frac{\pi h}{\arctg \frac{b}{b+\Delta} + \arctg \frac{b}{b-\Delta}} \cdot \frac{U}{BI} \quad (3.15)$$

Fig.3.8.

Dacă în rel.(3.15) se consideră  $\Delta = 0$  se obține relația (3.14)

### 3.1.5. Influența sensului cîmpului magnetic

Uneori determinările experimentale pot fi însoțite de erori datorită faptului că electrozii nu pot fi așezați cu exactitate în virfurile unui pătrat, de care în general se ține seama prin anumiți factori de corecție. De subliniat că acești factori de corecție în prezența cîmpului magnetic depind și de proprietățile de material. Pe baza acestei constatări se propune utilizarea unei așezări nesimetrice a electrozilor în vederea determinării rezistivității și coeficientului Hall în prezența cîmpului magnetic. În acest scop sînt necesare două măsurări efectuate la cele două sensuri ale cîmpului magnetic.

Se consideră cazul în care un electrod de tensiune (4) nu este așezat în virful unui patrat (fig.3.9). În acest caz tensiunea are expresia

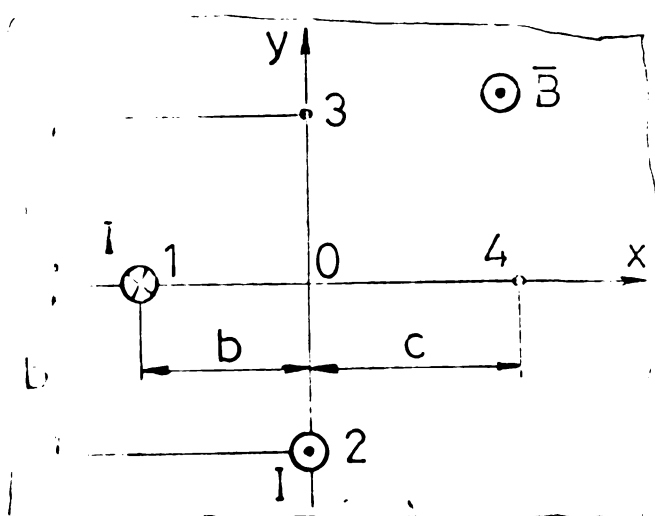


Fig. 3.9.

$$U = \int_3^4 \bar{E} \cdot d\bar{l} = -\rho \int_0^b (J_y)_{x=0} \cdot dy -$$

$$- C_H B \int_0^b (J_x)_{x=0} \cdot dy + \rho \int_0^c (J_x)_{y=0} \cdot dx$$

$$- C_H B \int_0^c (J_y)_{y=0} \cdot dx$$

Ținând seama de relațiile (3.11) se obține

$$U = \frac{\rho I}{2\pi h} \ln \frac{2(b+c)}{\sqrt{2(b^2+c^2)}} -$$

$$- \frac{C_H \rho I}{2\pi h} \left( \frac{\pi}{4} - \operatorname{arctg} \frac{c}{b} \right) \quad (3.16)$$

Se remarcă în expresia tensiunii (rel. 3.16) doi termeni, unul conținând rezistivitatea în prezența cîmpului magnetic iar celălalt coeficientul Hall. Determinarea rezistivității se poate face dacă se cunoaște coeficientul Hall și invers. Se observă că dacă în rel. (3.16) se face  $c = b$  se obține relația (3.3) corespunzătoare așezării electrozilor în vîrfurile unui pătrat.

Relația (3.16) poate fi folosită pentru determinarea atât a rezistivității cît și a coeficientului Hall dacă se măsoară tensiunea la cele două sensuri ale inducției magnetice  $\bar{B}$ . Din semisuma celor două tensiuni

$$U^a = \frac{U(+\bar{B}) + U(-\bar{B})}{2} = \frac{\rho I}{2\pi h} \ln \frac{2(b+c)}{\sqrt{2(b^2+c^2)}}$$

se poate calcula rezistivitatea în cîmp magnetic

$$\rho = 2\pi h U^a / \left( I \cdot \ln \frac{2(b+c)}{\sqrt{2(b^2+c^2)}} \right) \quad (3.17)$$

iar din semidiferența celor două tensiuni

$$U^b = \frac{U(+\bar{B}) - U(-\bar{B})}{2} = \frac{C_H \rho I}{2\pi h} \left( \operatorname{arctg} \frac{c}{b} - \frac{\pi}{4} \right)$$

se poate calcula coeficientul Hall

$$C_H = 2\pi h U^b / \left( \operatorname{arctg} \frac{c}{b} - \frac{\pi}{4} \right) \cdot \rho I \quad (3.18)$$

Se menționează că dacă  $c = b$  nu se poate determina coeficientul Hall deoarece  $U^b = 0$ .

### 3.2. Determinarea rezistivității și coeficientului Hall la plăci circulare.

#### 3.2.1. Determinarea rezistivității cu electrozi în linie. Influența dimensiunii finite a plăcii.

$\alpha_1$ . Se consideră un disc din material semiconductor omogen și izotrop, avînd grosimea  $h$  și raza  $a$ , în care se stabilește un curent electric constant  $I$  prin intermediul a doi electrozi metalici filiformi 1 și 2 (fig.3.10).

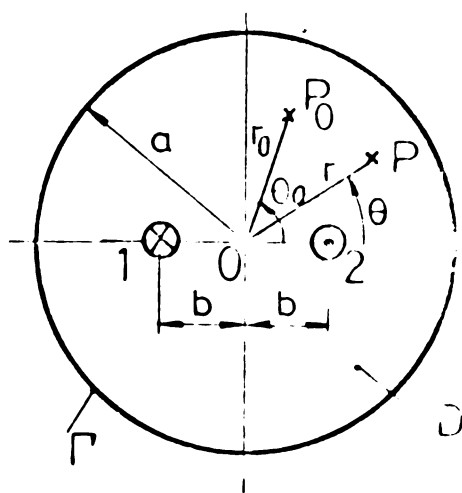


Fig.3.10.

Cu excepția electrozilor ce reprezintă singularități în domeniu, ecuațiile intensității câmpului electric sînt

$$\text{rot } \vec{A} = 0 \quad , \quad \text{div } \vec{A} = 0$$

Pentru a exprima uniform ecuațiile intensității câmpului electric în întreg domeniul, inclusiv în punctele în care sînt plasați electrozii, divergența se scrie în forma [5]

$$\text{div } \vec{E} = \pm \int (\vec{r} - \vec{r}_{1,2}) \cdot \text{div}_1 \vec{E} = \pm \int (\vec{r} - \vec{r}_{1,2}) \frac{\rho I}{h} \quad (3.19)$$

în care semnul (+) corespunde electrozului 1 prin care curentul intră în placă iar semnul (-) corespunde electrozului 2 prin care curentul iese din placă. În relația (3.19)  $\int (\vec{r} - \vec{r}_{1,2})$  reprezintă funcția lui Dirac,  $\vec{r}$  fiind vectorul de poziție al unui punct arbitrar  $P(\vec{r})$  din domeniul  $D$  iar  $\vec{r}_1$  și  $\vec{r}_2$  vectorii de poziție a electrozilor 1 și 2. Electrozii fiind dispuși pe întreaga grosime  $h$  a plăcii, perpendicular pe aceasta, câmpul electrocinetic este plan paralel, astfel că este suficient să se determine repartiția câmpului într-un plan. Ecuațiile intensității câmpului electric în plan sînt

$$\text{rot } \vec{A} = 0 \quad , \quad \text{div } \vec{A} = \pm \int (\vec{r} - \vec{r}_{1,2}) \frac{\rho I}{h} \quad (3.20)$$

Prin exprimarea divergenței în forma (3.19) condițiile pe frontieră devin de tip Neumann omogene

$$\left( \frac{\vec{A}}{h} \right)_{,r} = - \left( \frac{\partial V}{\partial n} \right)_{,r} = 0 \quad (3.21)$$

Din (3.20) rezultă că potențialul electric satisface o ecuație de tip Poisson

$$\nabla^2 V = + \delta(\bar{r}-\bar{r}_{1,2}) \frac{\rho I}{h} \quad (3.22)$$

Soluția acestei ecuații se poate calcula cu ajutorul funcțiilor Green  $G(\bar{r}, \bar{r}_0)$  [84]. Potențialul într-un punct din plan  $P_0(\bar{r}_0)$  este

$$V(\bar{r}_0) = - \int_D G(\bar{r}, \bar{r}_0) \cdot \nabla^2 V \cdot ds + \oint G(\bar{r}, \bar{r}_0) \frac{\partial V}{\partial n} dl + C \quad (3.23)$$

în care  $C$  este o constantă ce se determină în raport cu potențialul de referință. Pe baza relațiilor (3.21) și (3.22) se obține

$$V(\bar{r}_0) = + \int_D G(\bar{r}, \bar{r}_0) \cdot \delta(\bar{r}-\bar{r}_{1,2}) \frac{\rho I}{h} ds + C \quad (3.24)$$

Funcția lui Green pentru un domeniu circular exprimată în coordonate polare este [5,28]

$$G(\bar{r}_1, \bar{r}_0) = - \frac{1}{4\pi} \ln \left[ r^2 + r_0^2 - 2rr_0 \cos(\theta - \theta_0) \right] \left[ r^2 r_0^2 + a^4 - 2rr_0 a^2 \cos(\theta - \theta_0) \right]$$

în care  $a$  reprezintă raza cercului. Introducând (3.25) în (3.24) și ținând seama de proprietățile funcției Dirac se obține

$$V(r_0, \theta_0) = - \frac{\rho I}{4\pi h} \left\{ \ln \left[ r_1^2 + r_0^2 - 2r_0 r_1 \cos(\theta_1 - \theta_0) \right] \left[ r_1^2 r_0^2 + a^4 - 2r_1 r_0 a^2 \cos(\theta_1 - \theta_0) \right] - \ln \left[ r_2^2 + r_0^2 - 2r_0 r_2 \cos(\theta_2 - \theta_0) \right] \times \left[ r_2^2 r_0^2 + a^4 - 2r_2 r_0 a^2 \cos(\theta_2 - \theta_0) \right] \right\} + C$$

Considerând electrozii 1 și 2 dispuși simetric pe un diametru al cercului (fig.3.10) având coordonatele  $r_1 = b$ ,  $\theta_1 = \pi$  și respectiv  $r_2 = b$ ,  $\theta_2 = 0$  se obține pentru potențial expresia

$$V(r_0, \theta_0) = \frac{\rho I}{4\pi h} \ln \frac{(b^2 + r_0^2 - 2br_0 \cos \theta_0)(b^2 r_0^2 + a^4 - 2br_0 a^2 \cos \theta_0)}{(b^2 + r_0^2 + 2br_0 \cos \theta_0)(b^2 r_0^2 + a^4 + 2br_0 a^2 \cos \theta_0)} + C \quad (3.26)$$

Constanta  $C$  se determină din condiția ca pentru  $\theta = \pi/2$  potențialul să fie nul  $V(r_0, \pi/2) = 0$  rezultând astfel  $C = 0$

Pentru tensiunea măsurată între electrozii 3 și 4 având coordonatele  $(c, \pi)$  și  $(c, 0)$  situată pe același diametru cu electrozii de alimentare (fig.3.11) se obține expresia



$$U = V(c, \pi) - V(c, 0) = 2V(c, \pi) = \frac{\rho I}{2\pi h} \ln \frac{(b+c)^2(a^2+bc)^2}{(b-c)^2(a^2-bc)^2}$$

Rezultă pentru rezistivitate expresia

$$\rho = \frac{\pi h}{\ln \frac{(b+c)(a^2+bc)}{(b-c)(a^2-bc)}} \cdot \frac{U}{I} \quad (3.27)$$

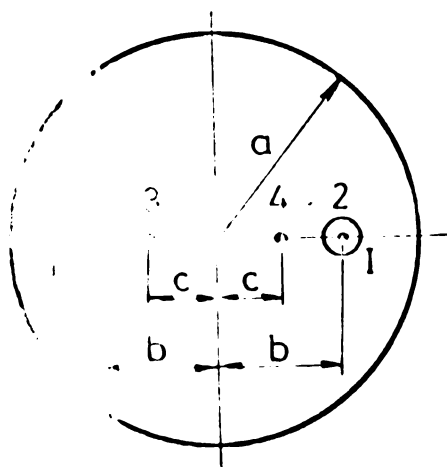


Fig.3.11.

Dacă electrozii sînt echidistanți,  $b = 3c$ , se obține relația

$$\rho = \frac{\pi h}{\ln 2 \frac{a^2+3c^2}{a^2-3c^2}} \cdot \frac{U}{I} \quad (3.28)$$

identică cu relația (2.12) dedusă prin metoda imaginilor electrice [91]. Dacă se consideră în plus că electrozii de alimentare sînt pe periferia discului,  $b = a$  respectiv  $c = a/3$ , se obține

$$\rho = \frac{\pi h}{2 \ln 2} \cdot \frac{U}{I} \quad (3.29)$$

Acest caz prezintă interes în practică datorită faptului că relația (3.29) este relativ simplă iar electrozii de alimentare pot fi ușor plasați pe periferie. În plus în relația (3.29) nu intervin dimensiuni geometrice ce pot reprezenta surse de erori suplimentare. Dacă raza discului este mult mai mare decît distanța dintre electrozi ( $c/a \ll 1$ ) din relația (3.28) se obține relația (3.2) dedusă în cazul plăcilor cu extindere foarte mare.

Deoarece în prezența unui cîmp magnetic uniform perpendicular pe disc sînt satisfăcute condițiile stabilite în paragraful 2.3 din capitolul 2, rezultă că relațiile de calcul ale rezistivității deduse în absența cîmpului magnetic rămîn valabile și în cîmp magnetic transversal.

β. Dacă se notează cu  $\rho'$  valoarea rezistivității determinată cu relația (3.2) la o placă circulară cu diametrul  $D=2a$  cu electrozi în linie echidistanți,  $d = 2c$ , iar cu  $\rho$  valoarea rezistivității calculată cu relația (3.28), eroarea relativă comisă este

$$\varepsilon = \frac{\rho' - \rho}{\rho} = \frac{\ln(\lambda^2 + 3) / (\lambda^2 - 3)}{\ln 2} \quad (3.30)$$

în care  $\lambda = a/c = D/d \geq 3$ . Dependența  $\varepsilon = f(D/d)$  este redată în fig.3.12. <sup>4</sup>Se menționează că aceste rezultate sînt în totală con-

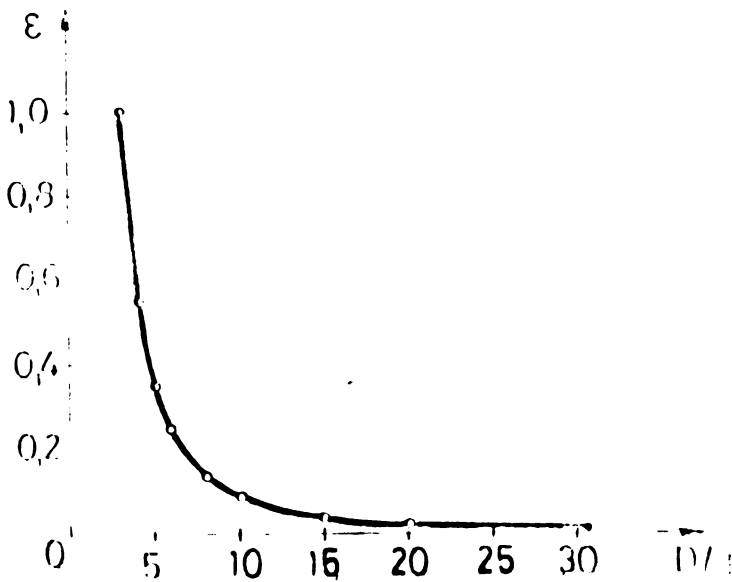


Fig.3.12.

cordanță cu cele obținute de alți autori care indică folosirea relației (3.2) valabilă pentru plăci infinit extinse și la plăci circulare la care  $D \geq (30-40)d$  [40, 94].

În cazul unei grosimi foarte mici, cum este cazul peliculelor de material semiconductor, obținute prin depunere în vid, interesează așa numita rezistivitate de strat sau superfi-

cială [118]. În acest caz în relația (3.19) trebuie considerată divergența de punct în locul celei de linie

$$\operatorname{div} \vec{s} = \int d(\vec{r} - \vec{r}_{1,2}) \operatorname{div}_p \vec{E} = \int d(\vec{r} - \vec{r}_{1,2}) \rho_s \quad (3.31)$$

Aplicând același raționament se obține în final expresia

$$\rho_s = \frac{P}{L} \quad (3.32)$$

astfel pentru electrozi în linie echidistanți rezultă relația

$$\rho_s = \frac{\pi}{\ln 2 \frac{a^2 + 3c^2}{a^2 - 3c^2}} \cdot \frac{U}{L}$$

identică cu cea obținută în literatură folosind metoda imaginilor electrice [91]. În cazul unor contacte punctiforme realizată pe suprafața unui disc cu grosimea  $h$  se poate folosi relația (3.28) dacă gradientul potențialului perpendicular pe placă este neglijabil. În caz contrar este necesară introducerea în rel. (3.28) a unui factor de corecție  $F(h/d)$ ,  $d$  fiind distanța între electrozii echidistanți,  $d = 2c$ . Pe măsură ce raportul  $h/d$  crește  $F(h/d)$  scade luînd valorile  $F = 0,9214$  pentru  $h/d = 1$  și  $F = 0,6336$  pentru  $h/d = 2$ , valori obținute cu ajutorul metodei imaginilor electrice [104]. Tot prin metoda imaginilor electrice [100] respectiv prin transformarea conformă a cercului pe un semiplan infinit și apoi considerarea imaginilor electrice [93] se deter-

mină factorii de corecție în cazul în care centrul de simetrie al electrozilor este deplasat față de centrul discului. Acești factori sînt determinați și pentru dispunerea în patrat a electrozilor.

### 3.2.2. Determinarea coeficientului Hall

Componentele densității de curent într-un punct  $P_0(r_0, \theta_0)$  din placă se pot calcula pe baza expresiei potențialului electric din absența cîmpului magnetic (rel.3.26)

$$J_r = -\sqrt{\frac{\partial V(r_0, \theta_0)}{\partial r_0}}; \quad J_\theta = -\sqrt{\frac{\partial V(r_0, \theta_0)}{r_0 \cdot \partial \theta_0}}; \quad J_z = 0 \quad (3.33)$$

Spre deosebire de densitatea curentului electric, intensitatea cîmpului electric se modifică în prezența cîmpului magnetic deoarece condițiile pe frontieră sînt diferite. Componentele intensității cîmpului electric pot fi exprimate în funcție de componentele densității curentului electric pe baza legii conducerii electrice în prezența cîmpului magnetic. Astfel considerînd triedrul drept  $\bar{u}_r, \bar{u}_\theta, \bar{u}_z$  iar inducția magnetică perpendiculară pe placă  $\bar{B} = B \bar{u}_z$ , se obține

$$E_r = \bar{E} \cdot \bar{u}_r = \rho J_r - C_H B J_\theta, \quad E_\theta = \bar{E} \cdot \bar{u}_\theta = \rho J_\theta + C_H B J_r = 0 \quad (3.34)$$

Tensiunea măsurată între electrozii 3-4 situați pe un diametru perpendicular pe cel al electrozilor de alimentare 1-2 (fig.5.13) este

$$U = \int_3^4 \bar{E} \cdot d\bar{l} = - \int_0^c (E_r)_{\theta_0} \frac{\pi}{2} \cdot dr_0 + \int_0^c (E_r)_{\theta_0} \frac{3\pi}{2} \cdot dr_0 \quad (3.35)$$

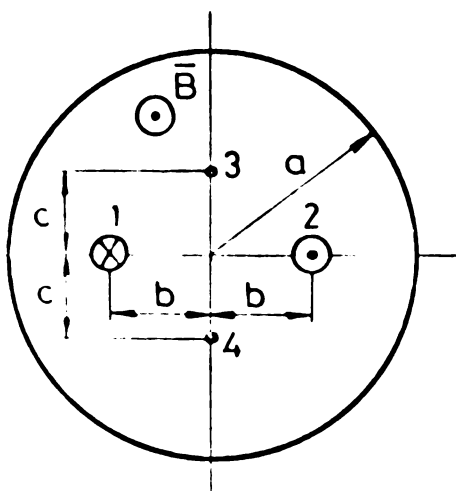


Fig.5.13.

Pe baza relațiilor (3.33) și (3.34) se obțin egalitățile

$$(J_r)_{\theta_0} = \frac{\bar{K}}{2} = (J_r)_{\theta_0} = \frac{3\bar{K}}{2} = 0$$

$$(J_\theta)_{\theta_0} = \frac{\pi}{2} = - (J_\theta)_{\theta_0} = \frac{3\pi}{2}$$

astfel că relația (3.35) devine

$$U = 2C_H B \int_0^c (J_\theta)_{\theta_0} \frac{\pi}{2} \cdot dr_0 = - \frac{2C_H B I}{\pi h} \left( \arctg \frac{c}{b} + \arctg \frac{bc}{a^2} \right)$$

din care se poate calcula coeficientul Hall

$$C_H = - \frac{\pi h}{2(\operatorname{arctg} \frac{c}{b} + \operatorname{arctg} \frac{bc}{a^2})} \cdot \frac{U}{BI} \quad (3.36)$$

Dacă electrozii sînt plasați în virfurile unui patrat,  $c = b$ , se obține

$$C_H = - \frac{\pi h}{\pi/2 + 2\operatorname{arctg}(\frac{b^2}{a^2})} \cdot (U/BI) \quad (3.37)$$

Rezultatul obținut este identic cu cel determinat în literatură folosind metoda imaginilor electrice [55].

Dacă electronii sînt situați pe periferia discului,  $b = a$ , rezultă

$$C_H = - h \frac{U}{BI} \quad (3.38)$$

expresie cunoscută în literatura de specialitate [22,33]. Un rezultat interesant se obține dacă se consideră numai electrozii de tensiune pe periferia discului  $c = a$ ,  $b \neq a$ . În acest caz din (3.36) se obține

$$C_H = - \frac{\pi h}{2(\operatorname{arctg} \frac{a}{b} + \operatorname{arctg} \frac{b}{a})} \cdot \frac{U}{BI} = - h \frac{U}{BI}$$

expresie identică cu cea obținută în cazul în care și electrozii de alimentare sînt plasați pe periferia discului (3.38).

În cazul în care raza discului este mult mai mare în comparație cu distanța dintre contacte ( $a \gg b$ ) din (3.37) rezultă

$$C_H = - 2h \frac{U}{BI}$$

identică cu relația (3.14) vedusă în cazul plăcilor infinit extinse.

Determinarea coeficientului Hall în cazul plăcilor semiconductoră circulare avînd raza  $a$  folosind relația (3.14) valabilă pentru plăci infinite extinse se face cu o eroare relativă ce are expresia

$$\xi = \frac{(C_H)_{\infty} - C_H}{C_H} = \frac{4}{\pi} \operatorname{arctg} \lambda^2 \quad (3.39)$$

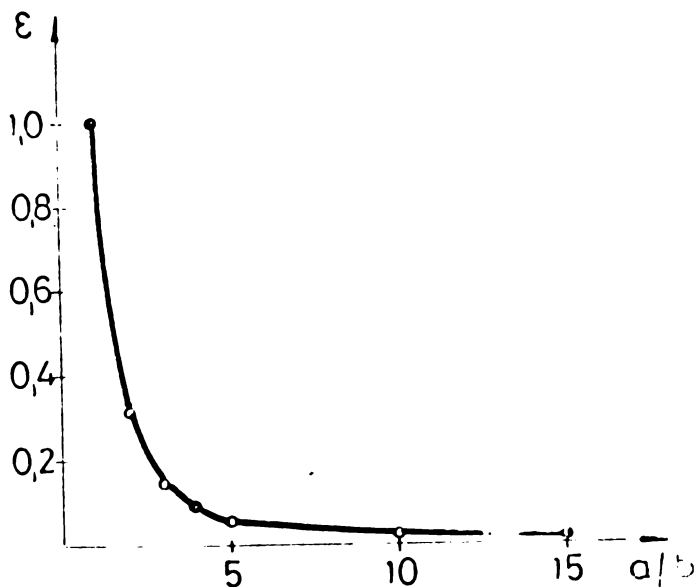


Fig.3.14.

în care  $\lambda = b/a$ . Dependența  $\xi = f(a/b)$  este prezentată în figura 3.14 din care se vede că eroarea scade rapid cu creșterea razei discului în raport cu distanța dintre electrozi.

**3.2.3. Determinarea rezistivității cu electrozi în pătrat. Influența dimensiunii finite a plăcii.**

Determinarea rezistivității plăcilor circulare se poate face și cu electrozi dispuși în vîrurile unui pătrat (fig.3.15)

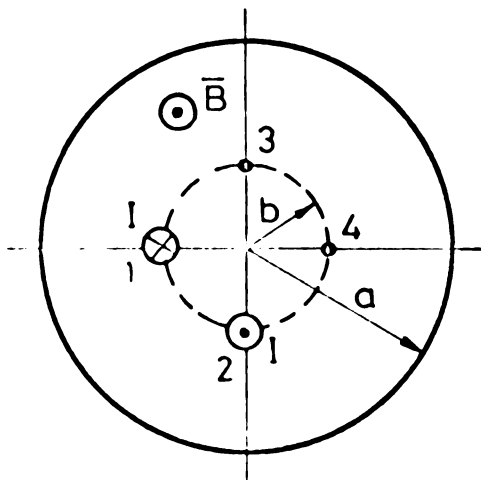


Fig.3.15.

Ținînd seama de coordonatele punctelor de alimentare 1 și 2 respectiv  $(b, \pi)$  și  $(b, 3\pi/2)$  expresia potențialului electric în absența cîmpului magnetic devine

$$V(r_0, \theta_0) = \frac{\rho I}{4\pi h} \left\{ \ln [b^2 + r_0^2 - 2br_0 \cos(\frac{3\pi}{2} - \theta_0)] + \ln [b^2 r_0^2 + a^4 - 2br_0 a^2 \cos(\frac{3\pi}{2} - \theta_0)] - \ln (b^2 + r_0^2 + 2br_0 \cos \theta_0) - \ln (b^2 r_0^2 + a^4 + 2br_0 a^2 \cos \theta_0) \right\} + C \quad (3.40)$$

Componentele densității de curent ce sînt identice în prezența și în absența cîmpului magnetic la același curent de alimentare se pot calcula cu relațiile (3.33), iar componentele intensității cîmpului electric în prezența cîmpului magnetic se pot calcula cu relațiile (3.34). Tensiunea între electrozii 3-4 în prezența cîmpului magnetic este

$$U = \int_3^4 \vec{s} \cdot d\vec{l} = - \int_0^{\pi/2} (E_\theta)_{r_0=b} \cdot b d\theta_0 = \frac{\rho I}{4\pi h} \ln \frac{2(b^2 + a^2)^2}{b^4 + a^4}$$

Expresia rezistivității atât în prezența cât și în absența câmpului magnetic devine

$$\rho = \frac{2 \pi k}{\ln \frac{2(b^2+a^2)^2}{b^4 + a^4}} \cdot \frac{U}{I} \quad (3.41)$$

identică cu cea obținută în literatură pentru plăci subțiri, în absența câmpului magnetic, folosind metoda imaginilor electrice [63]. Acest rezultat este în concordanță și cu determinările experimentale efectuate pe o epruvetă de lungime foarte mare [53].

Dacă electrozii sînt așezați pe periferie,  $b = a$ , se obține

$$\rho = \frac{\pi n}{\ln 2} \cdot \frac{U}{I} \quad (3.42)$$

expresie cunoscută și în literatura de specialitate [5,105].

Dacă raza discului este foarte mare,  $a \ll b$ , se obține din (3.41) relația (3.3) cunoscută pentru plăci de extindere foarte mare. Folosirea relației (3.3) pentru determinarea rezistivității

plăcilor circulare cu rază finită este însoțită de o eroare relativă a cărei expresie este

$$\begin{aligned} \xi &= \frac{(\rho)_{\infty} - \rho}{\rho} = \\ &= \frac{\ln \frac{(b^2+a^2)^2}{b^4 + a^4}}{\ln 2} = \frac{\ln \frac{(1+\lambda^2)^2}{1+\lambda^4}}{\ln 2} \end{aligned} \quad (3.43)$$

în care  $\lambda = a/b$ . Dependența  $\xi = f(a/b)$  este prezentată în figura 3.16.

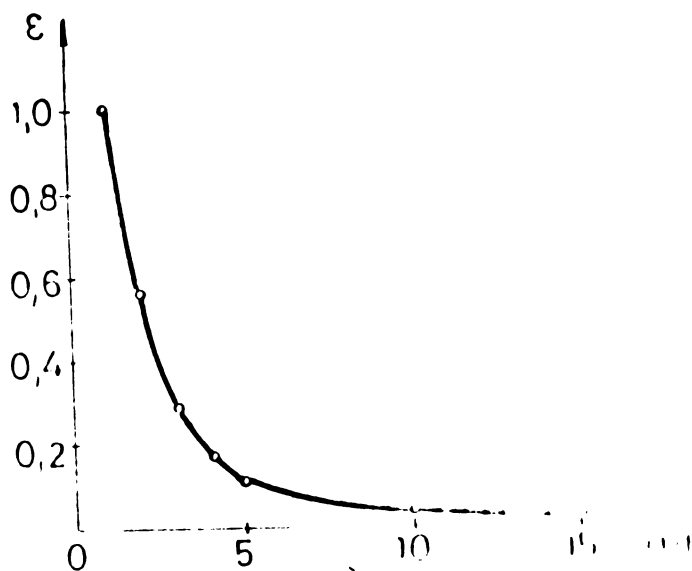


Fig.3.16.

### 3.2.4. Determinarea coeficientului Hall și a rezistivității cu electrozi așezați nesimetric.

Așezarea electrozilor este aceeași pentru determinarea lui  $\rho$  și  $C_H$  cu observația că la determinarea coeficientului Hall electrozii de alimentare 1-2 au coordonatele  $(b, 1)$  și  $(b, 0)$  și cei de măsurare 3-4 au coordonatele  $(c, \pi/2)$  și  $(b, 3\pi/2)$  iar la determinarea rezistivității electrozii de alimentare 1-2 au coordonatele  $(b, 1)$  și  $(b, 3\pi/2)$  și cei de măsurare 3-4 au coordonatele  $(c, \pi/2)$  și  $(b, 0)$ . În figura 3.17.a este prezentată con-



figurația pentru determinarea coeficientului Hall iar în figura 3.17.b pentru determinarea rezistivității. În ambele cazuri electrodul de măsurare 3 nu este așezat în vârful pătratului ( $c \neq b$ ).

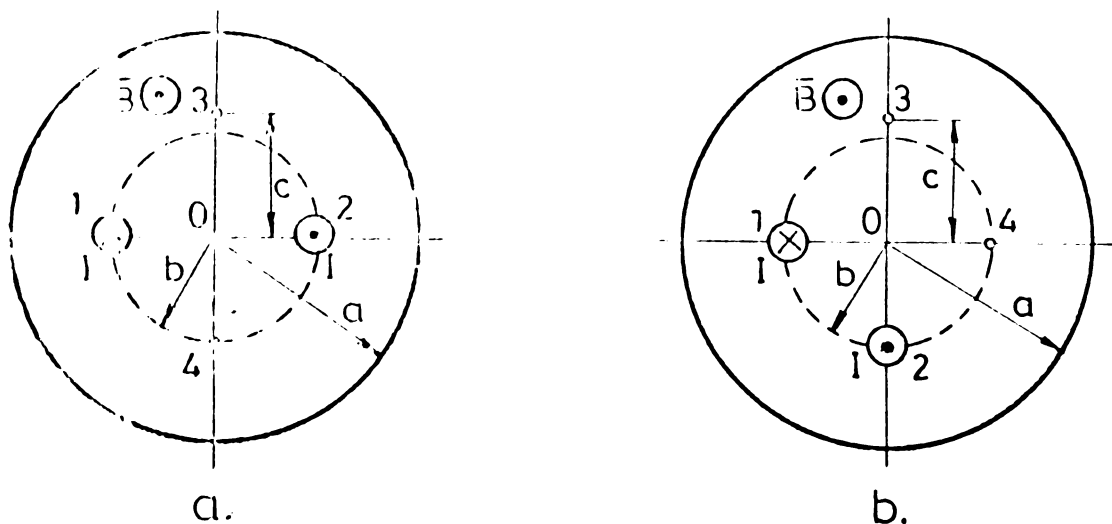


Fig.3.17.

$\alpha$ . Tensiunea măsurată între electrozii 3 și 4 în configurația din figura 3.17.a este

$$U = \int_3^4 \vec{E} \cdot d\vec{l} = - \int_0^c (E_r)_{\sigma_0} \cdot dr_0 + \int_0^b (E_r)_{\sigma_0} \cdot dr_0 = \frac{3\pi}{2} \cdot dr_0$$

Pe baza relațiilor (3.33) și (3.34) se obține

$$U = - \frac{C_H dI}{\pi h} \left( \frac{\pi}{4} + \operatorname{arctg} \frac{c}{b} + \operatorname{arctg} \frac{b^2}{a^2} + \operatorname{arctg} \frac{bc}{a^2} \right) \quad (3.44)$$

Dacă se face notația

$$F_H = \frac{\pi}{4} + \operatorname{arctg} \frac{c}{b} + \operatorname{arctg} \frac{b^2}{a^2} + \operatorname{arctg} \frac{bc}{a^2} \quad (3.45)$$

se obține pentru coeficientul Hall expresia

$$C_H = - \frac{\pi d}{F_H} \cdot \frac{U}{dI} \quad (3.46)$$

Dacă electrodul 3 e-ar găsi pe cercul de rază  $b$ ,  $c = b$ , rezultă pentru factorul coeficientului Hall expresia

$$F_H^0 = \frac{\pi}{2} + 2 \operatorname{arctg} \frac{b^2}{a^2}$$

identica cu cea obținută în relația (3.37)

Așezarea nesimetrică a electrodului 3 și folosirea la calculul coeficientului Hall a factorului  $F_H^0$  de la electrozii așezați simetric conduce la o eroare relativă ce are expresia

$$\xi = \frac{|C_H - C_H|}{C_H} = \frac{\left| \arctg \frac{c}{b} + \arctg \left( \frac{b^2}{a^2} \cdot \frac{c}{b} \right) - \arctg \frac{b^2}{a^2} - \frac{\pi}{4} \right|}{\frac{\pi}{2} + 2 \arctg \frac{b^2}{a^2}} \quad (3.47)$$

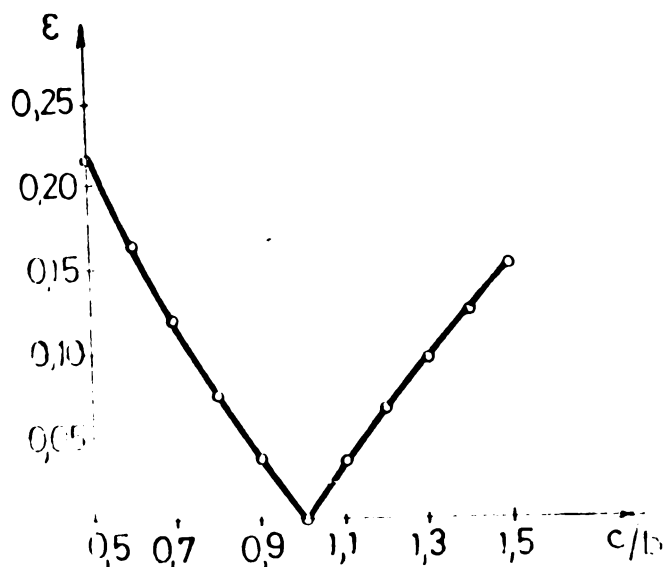


Fig.3.18

Ținând seama de relațiile (3.33) și (3.34) se obține

$$U = \frac{\rho I}{4\pi h} \ln \frac{2(a^2+b^2)^2(b+c)^2(a^2+bc)^2}{(a^4+b^4)(b^2+c^2)(a^4+b^2c^2)} + \frac{C_H BI}{2\pi h} \left( \frac{\pi}{4} - \arctg \frac{c}{b} + \arctg \frac{b^2}{a^2} - \arctg \frac{bc}{a^2} \right) \quad (3.48)$$

Dacă și electrodul 3 se află în vârful patratului,  $c = b$ , relația (3.48) devine

$$U = \frac{\rho I}{2\pi h} \ln \frac{2(a^2+b^2)^2}{a^4 + b^4}$$

identică cu relația (3.41).

Se observă că în relația (3.48) intervin unii termeni ce conțin rezistivitatea în prezența câmpului magnetic iar alții conțin coeficientul Hall. Cunoașterea unuia dintre aceștia dă posibilitatea determinării celuilalt. Nu este posibil însă determinarea atât a rezistivității cât și a coeficientului Hall dintr-o singură măsurare. Determinarea lui  $\rho$  și a lui  $C_H$  în cazul așezării electrozilor ca în figura 3.17.b este posibilă dacă se măsoară tensiunea între electrozii 3 și 4 la cele două sensuri ale inducției magnetice, electrozii 1 și 2 fiind de alimentare.

Dependența  $\xi = f(c/b)$  pentru  $b/a = 0,5$  este prezentată în figura 3.18.

3. La configurația din figura 3.17.b tensiunea ce se măsoară între electrozii 3-4 are expresia

$$U = \int_3^4 \vec{a} \cdot d\vec{l} = - \int_0^c (\vec{a}_R)_{\theta_0} \cdot d\vec{r}_0 + \int_0^b (\vec{a}_R)_{\theta_0} \cdot d\vec{r}_0$$

În adevăr dacă la un sens al inducției magnetice se obține pentru tensiune, pe care o vom nota cu  $U(+\bar{B})$ , expresia (3.48), atunci la sens opus al inducției magnetice se obține pentru tensiunea  $U(-\bar{B})$  expresia

$$U(-\bar{B}) = \frac{\rho I}{4\pi h} \ln \frac{2(a^2+b^2)(b+c)^2(a^2+bc)^2}{(a^4+b^4)(b^2+c^2)(a^4+b^2c^2)} - \frac{C_H BI}{2\pi h} \left( \frac{\pi}{4} - \operatorname{arctg} \frac{c}{b} + \operatorname{arctg} \frac{b^2}{a^2} - \operatorname{arctg} \frac{bc}{a^2} \right) \quad (3.49)$$

Din semisuma celor două tensiuni  $U^a = \frac{1}{2} [U(+\bar{B}) + U(-\bar{B})]$  se poate determina rezistivitatea în câmp magnetic,

$$\rho = \frac{4\pi h}{\ln \frac{2(a^2+b^2)^2(b+c)^2(a^2+bc)^2}{(a^4+b^4)(b^2+c^2)(a^4+b^2c^2)}} \cdot \frac{U^a}{I} \quad (3.50)$$

iar din semidiferența celor două tensiuni  $U^b = \frac{1}{2} [U(+\bar{B}) - U(-\bar{B})]$

se poate determina coeficientul Hall,

$$C_H = \frac{2\pi h}{\left( \frac{\pi}{4} - \operatorname{arctg} \frac{c}{b} + \operatorname{arctg} \frac{b^2}{a^2} - \operatorname{arctg} \frac{bc}{a^2} \right)} \cdot \frac{U^b}{BI} \quad (3.51)$$

Se observă că la așezarea simetrică a electrozilor,  $c = b$ , coeficientul Hall nu poate fi determinat cu configurația din fig. 3.17.0 deoarece  $U^b = 0$  iar pentru rezistivitate rezultă relația (3.41).

### 3.3. Determinarea coeficientului Hall și a rezistivității la plăci dreptunghiulare.

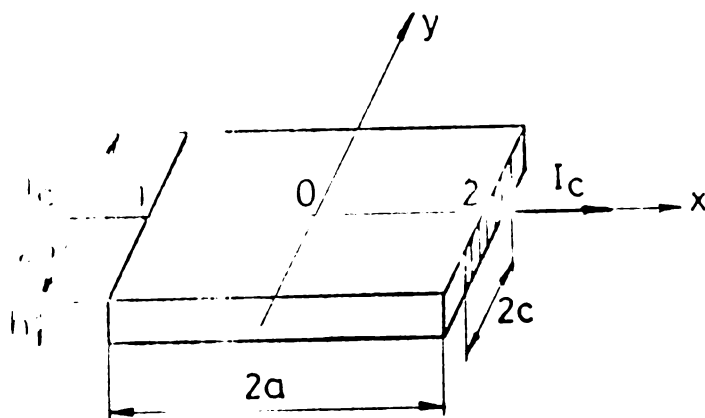
#### 3.3.1. Electrozi de măsurare așezați simetric pe suprafața plăcii.

Se consideră o placă dreptunghiulară de lungime  $2a$  și lățime  $2b$ , având grosimea  $h$ , din material semiconductor omogen și izotrop. Prin intermediul a doi electrozi de lățime  $2c$  plasați pe periferia plăcii (fig. 3.19) se stabilește în placă un câmp electrocinetic staționar plan paralel. Potențialul electric într-un punct al plăcii poate fi determinat rezolvind ecuația lui

Laplace

$$\nabla^2 V = 0 \quad (3.52)$$

cu condiția de frontieră de tip Neumann



$$-\sigma \left( \frac{\partial V}{\partial y} \right)_{y=\pm b} = 0$$

$$-\sigma \left( \frac{\partial V}{\partial x} \right)_{x=\pm a} = \begin{cases} 1/2hc & \text{pt. } |y| < c \\ 0 & \text{pt. } |y| > c \end{cases} \quad (3.53)$$

în care s-a considerat densitatea de curent uniformă la suprafața electrozilor de alimentare 1 și 2.

Fig.3.19.

Folosind metoda separării variabilelor se obține pentru potențialul electric într-un punct din placă expresia [84]

$$V(x,y) = -\frac{I}{2bh\sigma} \left( x + \frac{2b}{\pi} \sum_{n=1}^{\infty} \frac{\sin \frac{n\pi c}{b}}{\frac{n\pi c}{b}} \cdot \frac{\text{sh} \frac{n\pi x}{b} \cos \frac{n\pi y}{b}}{n \cdot \text{ch} \frac{n\pi a}{b}} \right) \quad (3.54)$$

Dacă în relația (3.54) se trece la limită atunci când c tinde la zero se obține expresia potențialului electric creat de doi electrozi filiformi plasați în axa de simetrie a plăcii [75],

$$V(x,y) = -\frac{I}{2bh\sigma} \left( x + \frac{2b}{\pi} \sum_{n=1}^{\infty} \frac{\text{sh} \frac{n\pi x}{b} \cdot \cos \frac{n\pi y}{b}}{n \cdot \text{ch} \frac{n\pi a}{b}} \right) \quad (3.55)$$

În absența cîmpului magnetic densitatea de curent este  $\vec{J} = -\sigma \text{grad } V(x,y)$ , respectiv componentele densității de curent sînt

$$J_x = -\sigma \frac{\partial V}{\partial x} = \frac{I}{2bh} \left( 1 + 2 \sum_{n=1}^{\infty} \frac{\text{ch} \frac{n\pi x}{b} \cdot \cos \frac{n\pi y}{b}}{\text{ch} \frac{n\pi a}{b}} \right) \quad (3.56)$$

$$J_y = -\sigma \frac{\partial V}{\partial y} = -\frac{I}{bh} \sum_{n=1}^{\infty} \frac{\text{sh} \frac{n\pi x}{b} \cdot \sin \frac{n\pi y}{b}}{\text{ch} \frac{n\pi a}{b}} \quad (3.57)$$

Dacă în placă se stabilește aceeași valoare a curentului  $I$  atât în absența cât și în prezența cîmpului magnetic, condițiile de existență ale densității de curent sînt identice în prezența și absența cîmpului magnetic, astfel că relațiile (3.56) și (3.57), deduse în absența cîmpului magnetic rămîn valabile și în prezența cîmpului magnetic. Săre deosebire de  $J$  intensitatea cîmpului electric  $E$  se modifică în prezența cîmpului magnetic, componentele acestuia pot fi calculate cu ajutorul relațiilor

$$\begin{aligned} E_x &= \rho J_x - C_H B J_y \\ E_y &= \rho J_y + C_H B J_x \end{aligned} \quad (3.58)$$

Dacă se măsoară tensiunea între electrozii punctiformi 3-4 în prezența cîmpului magnetic (fig.3.20) se obține

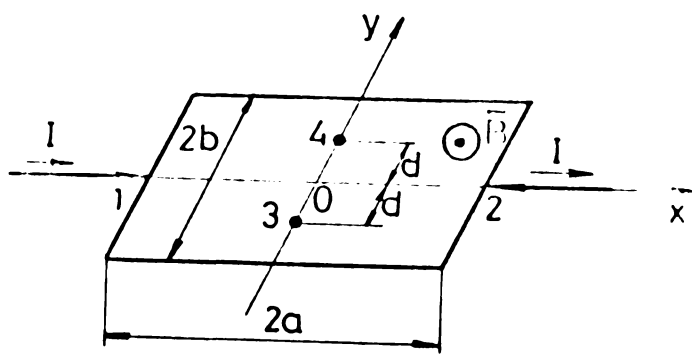


Fig.3.20.

$$U = \int_3^4 \vec{E} \cdot d\vec{l} = \int_{-d}^{+d} (E_y)_{x=0} \cdot dy$$

Tinînd seama că  $(J_y)_{x=0} = 0$  se obține

$$U = \frac{C_H B I}{h} \left( \frac{d}{b} + \frac{2}{\pi} \sum_{n=1}^{\infty} \frac{\sin \frac{n\pi d}{b}}{n \cdot \operatorname{ch} \frac{n\pi a}{b}} \right)$$

din care rezultă expresia coeficientului Hall

$$C_H = \frac{h}{F_H} \cdot \frac{U}{B I} \quad (3.59)$$

factorul coeficientului Hall  $F_H$  avînd expresia

$$F_H(\alpha, \beta) = \left( \alpha + \frac{2}{\pi} \sum_{n=1}^{\infty} \frac{\sin n\pi\alpha}{n \cdot \operatorname{ch} n\pi\beta} \right) \quad (3.60)$$

în care  $\alpha = d/b$  și  $\beta = a/b$ .

În cazul în care electrozii de măsurare 3-4 se află pe periferia plăcii,  $\alpha = a/b = 1$ , se obține  $F_H(1, \beta) = 1$  respectiv

$$C_H = h \frac{U}{B I}$$

expresie cunoscută în lucrările de specialitate.

Dependența factorului  $F_H = f(\alpha)$  avînd pe  $\beta$  ca parametru este prezentată în figura 3.21. Calculul s-a efectuat cu ajutorul

calculatorului electronic.

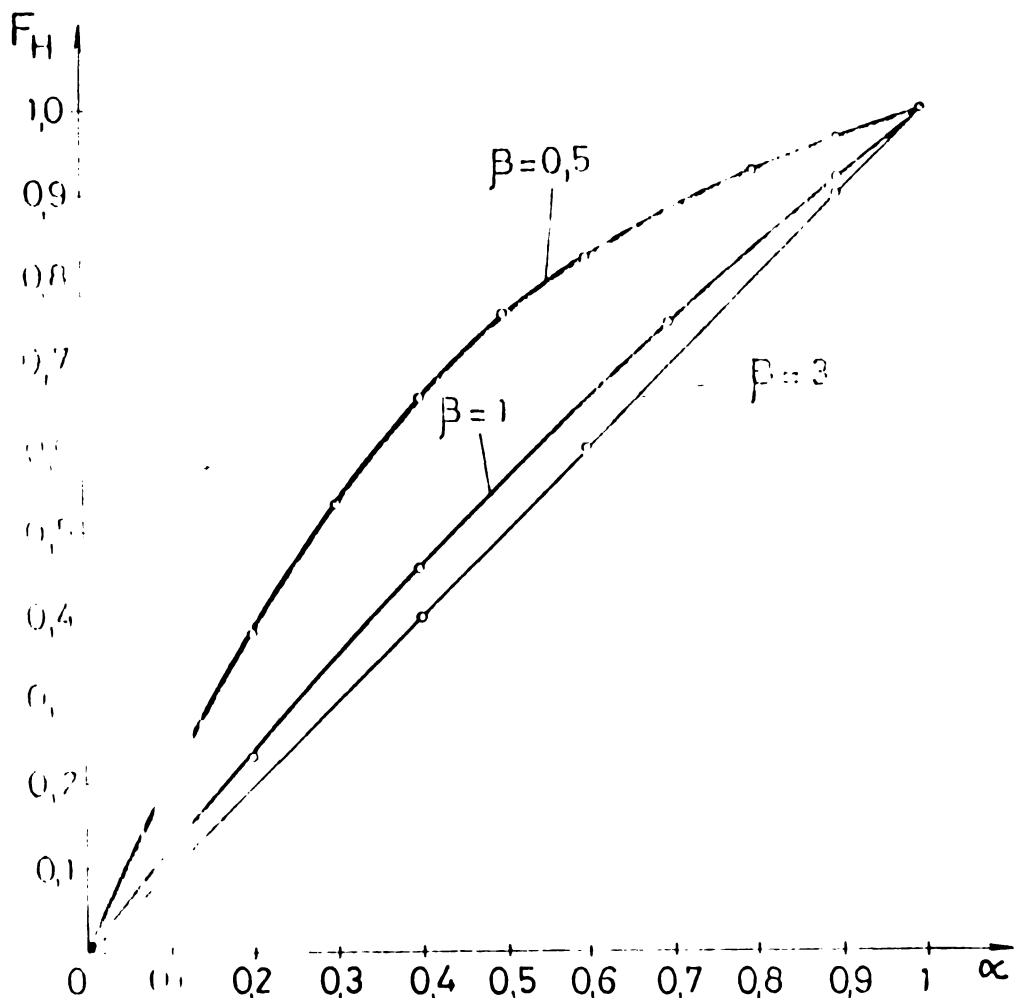


Fig.3.21.

Schema bloc a programului scris în limbaj FORTRAN este prezentată în figura 3.22.

Dacă electrozii de măsurare 3-4 se află dispuși pe axa Ox (fig.3.23) se obține

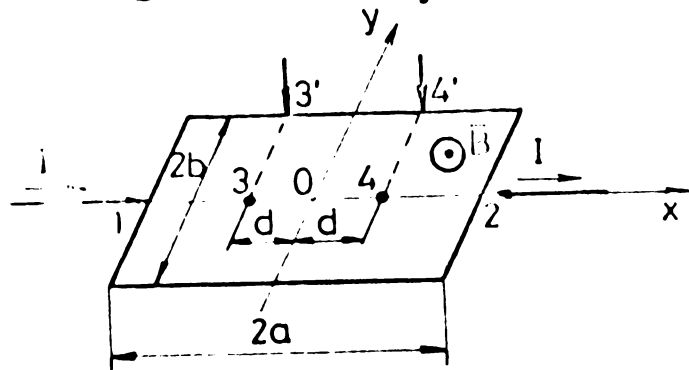


Fig. 3.23

$$U = \int_3^4 \vec{j} \cdot d\vec{l} = \int_{-d}^{+d} (j_x)_{y=0} \cdot dx =$$

$$= \frac{\rho I}{h} \left( \alpha + \frac{2}{\pi} \sum_{n=1}^{\infty} \frac{\text{sh } n\pi\alpha}{n \cdot \text{ch } n\pi\beta} \right)$$

în care  $\alpha = a/b$  iar  $\beta = a/b$ . Rezultă pentru rezistivitate expresia

$$\rho = \frac{h}{F_p} \cdot \frac{U}{I} \quad (3.01)$$

în care factorul rezistivității  $F_p(\alpha, \beta)$  se determină în funcție de dimensiunile plăcii și de distanța dintre electrozi cu relația

$$F_p(\alpha, \beta) = \left( \alpha + \frac{2}{\pi} \sum_{n=1}^{\infty} \frac{\text{sh } n\pi\alpha}{n \cdot \text{ch } n\pi\beta} \right) \quad (3.02)$$



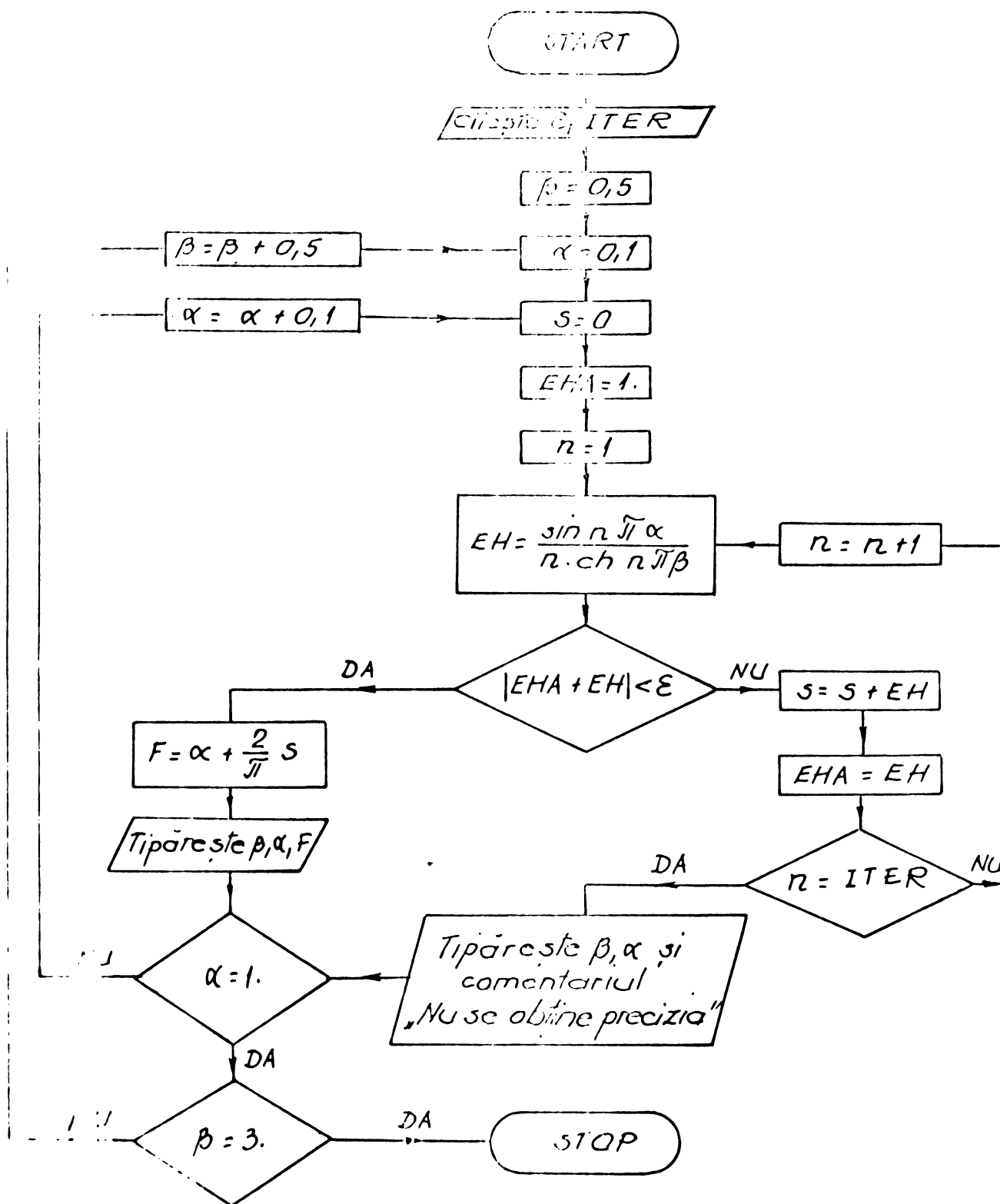


Fig. 22.

În cazul în care electrozii de măsurare 3-4 coincid cu cei de alimentare 1-2,  $d = a$  respectiv  $\alpha = \beta$ , se obține

$$F_{\rho}(\beta) = \left( \beta + \frac{2}{\pi} \sum_{n=1}^{\infty} \frac{1}{n} \operatorname{th} n\pi/\beta \right) \quad (3.63)$$

acest rezultat este în concordanță cu valoarea obținută din (3.55) dacă se ține seama că

$$U = V(-a,0) - V(+a,0) = \frac{\rho I}{\pi} \left( \beta + \frac{2}{\pi} \sum_{n=1}^{\infty} \frac{1}{n} \operatorname{th} n\pi/\beta \right)$$

Dependența factorului  $F_{\rho} = f(\alpha)$  având pe  $\beta$  drept parametru este prezentată în fig. 3.24.

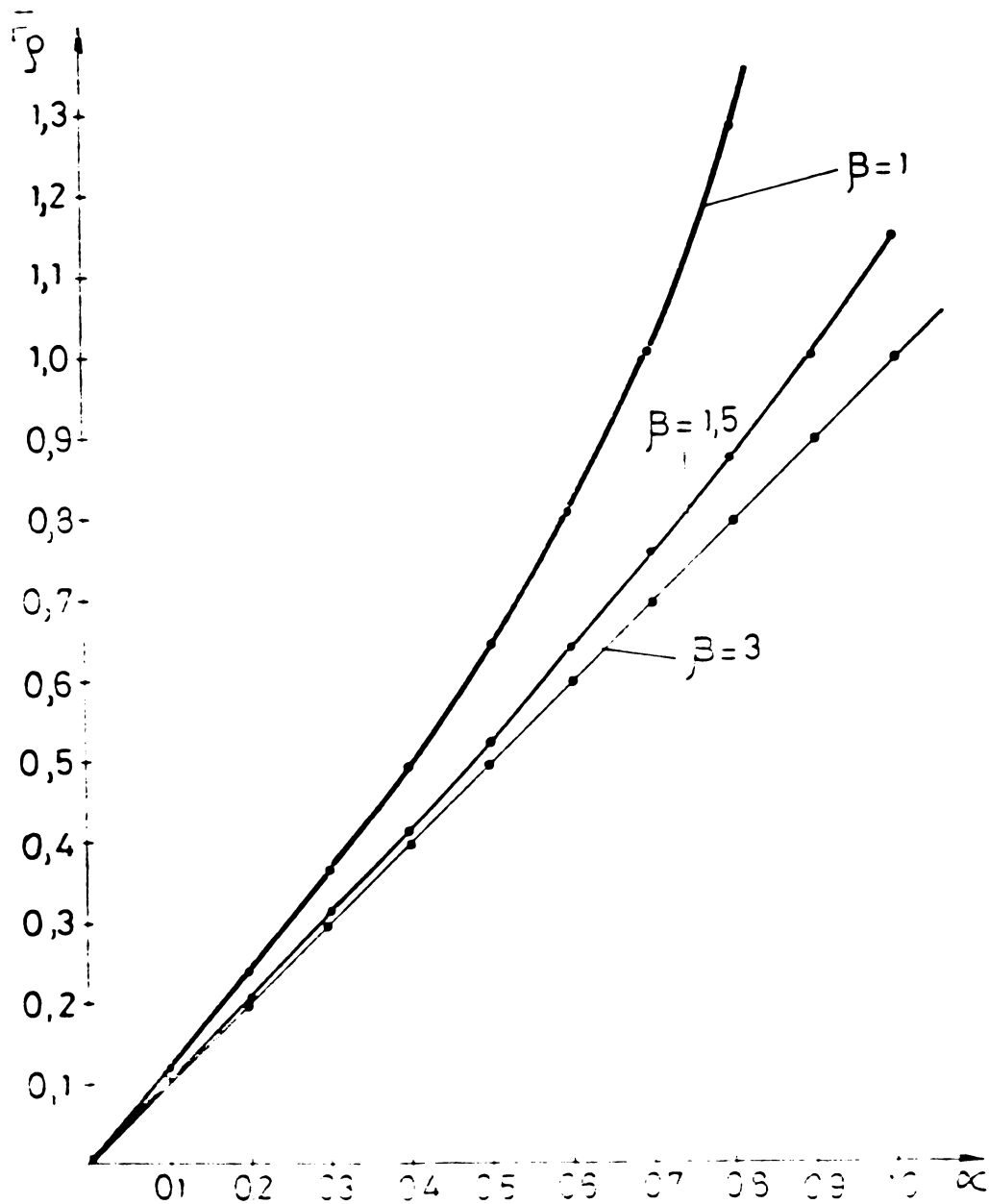


Fig. 3.24.

Calculul s-a efectuat cu calculatorul numeric, programul de calcul fiind asemănător cu cel pentru determinarea factorului coeficientului Hall  $F_H(\alpha, \beta)$ .

În practică este util să se plaseze electrozii de tensiune pe periferia plăcii în punctele 3'-4' (fig.3.23). În acest caz expresia tensiunii devine

$$U = \int_{3'}^{4'} \vec{s} \cdot d\vec{l} = \int_{-d}^{+d} (E_x)_{y=b} \cdot dx = \frac{\rho I}{hb} \left( d + \frac{2b}{\pi} \sum_{n=1}^{\infty} (-1)^n \frac{\text{sh } \frac{n\pi d}{b}}{n \cdot \text{ch } \frac{n\pi a}{b}} \right)$$

din care se obține pentru  $\rho$  expresia

$$\rho = \frac{U}{F_{\rho}} \cdot \frac{I}{I}$$

în care cu notațiile  $\alpha = d/b$  și  $\beta = a/b$ , factorul rezistivității are expresia

$$F_{\rho}(\alpha, \beta) = \left( \alpha + \frac{2}{\pi} \sum_{n=1}^{\infty} (-1)^n \frac{\text{sh } n\pi\alpha}{n \cdot \text{ch } n\pi\beta} \right) \quad (3.64)$$

### 3.3.2. Electrozi de măsurare așezați nesimetric pe periferia plăcii.

Se consideră cazul în care electrozii de măsurare sînt plasați nesimetric pe periferia plăcii. Dacă electrozii de măsurare

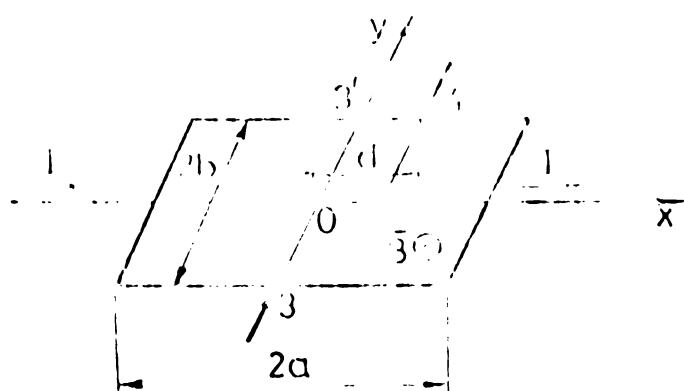


Fig.3.25.

3-4 sînt plasați pe axa de simetrie a plăcii ( $x = 0$ ) expresia tensiunii Hall este dată de relația (3.59) în care  $F_H = 1$ . Aceeași expresie rezultă și dacă electrozii sînt deplasați față de axa  $Oy$  însă sînt așezați simetric în raport cu axa  $Ox$ , respectiv sînt echipoten-

tiali în absența cîmpului magnetic. Dacă electrozii de măsurare nu mai sînt echipotențiali în absența cîmpului magnetic, respectiv electrodul 4 este deplasat cu distanța  $d$  din axa de simetrie a plăcii (fig.3.25), expresia tensiunii măsurate între electrozii 3-4 devine

$$U = \int_3^4 \vec{s} \cdot d\vec{l} = \int_3^{3'} \vec{s} \cdot d\vec{l} + \int_{3'}^4 \vec{s} \cdot d\vec{l} = \int_{-b}^{+b} (E_y)_{x=0} \cdot dy + \int_0^d (E_x)_{y=b} \cdot dx$$

Tinând seama de relațiile (3.56), (3.57) și (3.58) se obține

$$U = \frac{C_H B I}{h} + \frac{\rho I}{2bh} \left[ d + \frac{2b}{\pi} \sum_{n=1}^{\infty} (-1)^n \frac{\operatorname{sh} \frac{n\pi d}{b}}{n \cdot \operatorname{ch} \frac{n\pi a}{b}} \right] \quad (3.65)$$

Se observă că în relația (3.65) intervine atât coeficientul Hall cit și rezistivitatea, a căror determinare pe cale experimentală presupune încă o măsurare ce se realizează cu aceeași așezare a electrozilor dar la sens opus al inducției magnetice.

Astfel dacă se notează cu  $U(+\bar{B})$  expresia (3.65) obținută pentru sensul inducției magnetice reprezentat în fig. 3.25, atunci expresia tensiunii la sens opus al inducției magnetice,  $U(-\bar{B})$ , se obține din (3.65) schimbând semnul primului termen. Din semidiferența celor două tensiuni se poate determina coeficientul Hall,

$$C_H = h \frac{U(+\bar{B}) - U(-\bar{B})}{2 B I} \quad (3.66)$$

iar din semisuma tensiunilor se poate calcula rezistivitatea

$$\rho = \frac{2 b h}{d + \frac{2b}{\pi} \sum_{n=1}^{\infty} (-1)^n \frac{\operatorname{sh} \frac{n\pi d}{b}}{n \cdot \operatorname{ch} \frac{n\pi a}{b}}} \cdot \frac{U(+\bar{B}) + U(-\bar{B})}{2 I} \quad (3.67)$$

respectiv

$$\rho = \frac{h}{F_\rho(\alpha, \beta)} \cdot \frac{U(+\bar{B}) + U(-\bar{B})}{I}$$

în care

$$F_\rho(\alpha, \beta) = \alpha + \frac{2}{\pi} \sum_{n=1}^{\infty} (-1)^n \frac{\operatorname{sh} n\pi\alpha}{n \cdot \operatorname{ch} n\pi\beta} \quad (3.68)$$

$\alpha$  și  $\beta$  reprezentând rapoartele  $\alpha = d/b$  respectiv  $\beta = a/b$ .

Dependența factorului  $F_\rho = f(\alpha)$  având pe  $\beta$  ca parametru este prezentată în figura 3.26. Calculul a fost efectuat pe calculatorul numeric cu un program asemănător cu cele prezentate anterior.

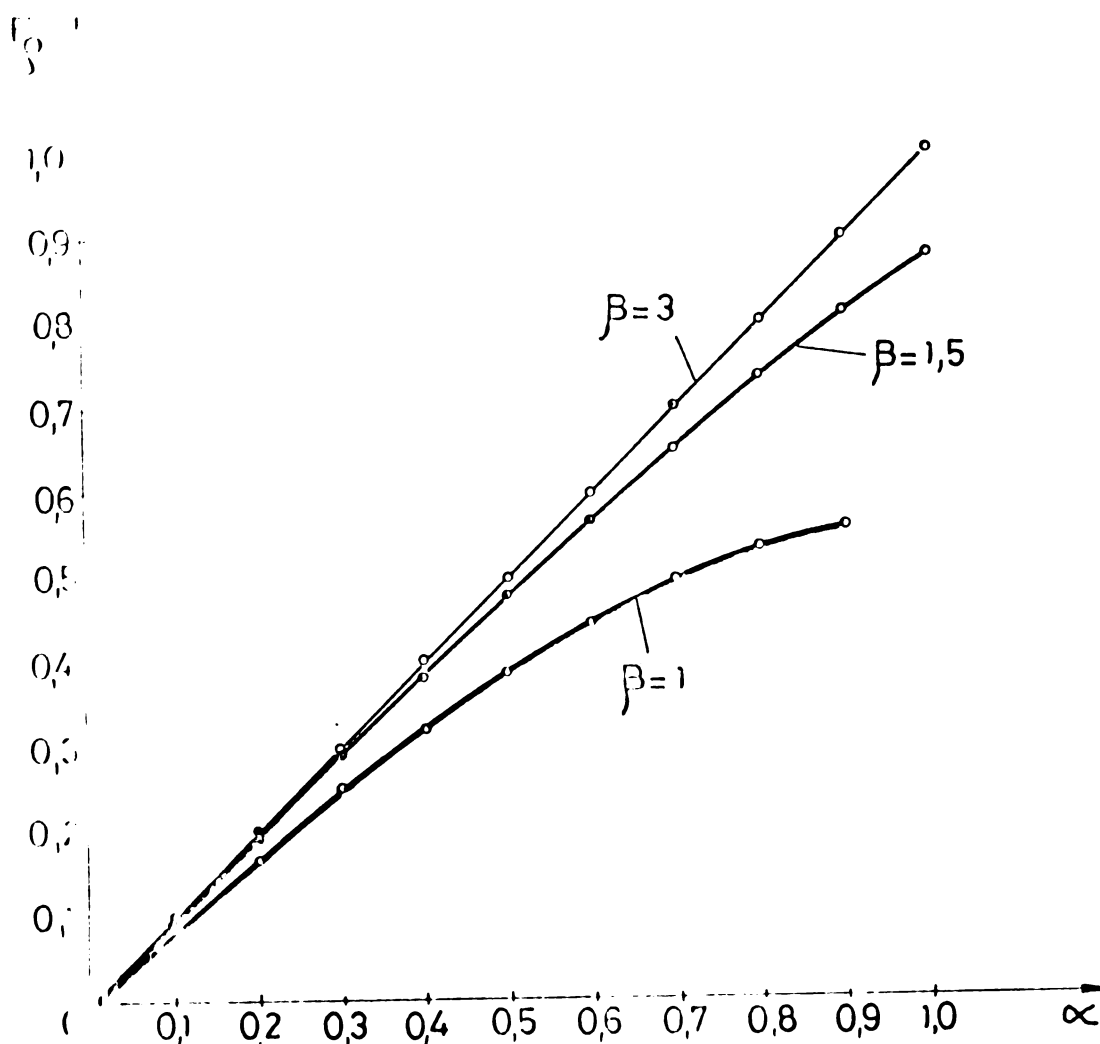


Fig. 3.26.

**3.3.3. Electrozi de alimentare pe toată lățimea plăcii**

În majoritatea dispozitivelor galvanomagnetice plăcile semiconductoare sînt dreptunghiulare avînd grosimea constantă  $h$ . Electrozii de comandă 1-1' sînt dispuși pe toată lățimea și grosimea plăcii stabilindu-se astfel în placă un cîmp plan paralel. Electrozii Hall 2-2' sînt punctiformi și dispuși simetric la

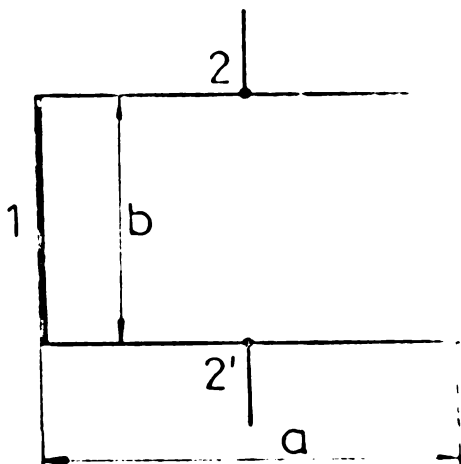


Fig. 3.27.

mijlocul lungimii plăcii (fig. 3.27). Pe baza funcțiilor de reprezentare conformă se poate stabili expresia rezistenței electrice a plăcii între electrozii de comandă în prezența cîmpului magnetic [ 32 ]

$$R(\lambda, \theta) = \frac{P(\theta)}{h \cdot \cos \theta} \lambda_p \quad (3.09)$$

în care  $\lambda = a/b$  reprezintă raportul laturilor plăcii semiconductoare,

$\theta$  unghiul Hall,  $h$  grosimea plăcii,  $\lambda_p$  raportul laturilor paralelogramului Hall corespunzător, ce este egal cu cîtul a două integrale eliptice

$$\lambda_p = \frac{\int_1^{1/k} G(\xi) d\xi}{\int_{-1}^1 G(\xi) d\xi}$$

în care  $k$  se exprimă în funcție de  $\lambda$  [67]. Integralele eliptice au fost calculate prin metode aproximative pentru diferite valori ale unghiului  $\theta$  [67].

Pentru tensiunea Hall măsurată la electrozii 2-2' se obține expresia [95]

$$U_H = \frac{I}{\sigma(B) \cdot h \cdot \cos \theta} \cdot \frac{M - N}{F} \quad (3.70)$$

în care  $M$ ,  $N$  și  $F$  sînt integrale eliptice ce se calculează prin metode aproximative. Dacă se ține seama de relația

$$\operatorname{tg} \theta = \sigma(B) \cdot C_H(B) \cdot b \quad (3.71)$$

expresia tensiunii Hall poate fi scrisă în forma

$$U_H = \frac{C_H(B)}{h} I B \frac{M - N}{F \sin \theta} = F(\lambda, \theta) \frac{1}{h} C_H(B) I B \quad (3.72)$$

în care  $F(\lambda, \theta)$  reprezintă factorul tensiunii Hall ce este calculat pentru diferite valori ale lui  $\lambda$  și  $\theta$  [68].

Din relațiile (3.69) și (3.72) se pot calcula parametrii fizici ai materialului semiconductor pentru o valoare a inducției magnetice,  $\rho(b)$  și  $C_H(b)$ , dacă se cunoaște unghiul Hall  $\theta$ . Deoarece  $\theta$  depinde și de  $\rho(B)$  și  $C_H(B)$  rezultă că determinarea parametrilor fizici poate fi făcută numai printr-un proces iterativ de calcul.

Pentru o anumită inducție magnetică se alege o valoare inițială a unghiului Hall  $\theta_0$  în raport cu care se determină factorii  $\lambda_p$  și  $F(\lambda, \theta)$ . Din relațiile (3.69) și (3.72) se calculează valorile  $\rho_1(B)$  și  $C_{H1}(B)$  iar apoi cu relația (3.71) se calculează o nouă valoare a unghiului Hall,  $\theta_1$ . Calculul se repetă pînă cînd

$$|\theta_n - \theta_{n-1}| < \varepsilon$$

$\varepsilon$  fiind o abatere mică impusă în raport cu precizia cu care se dorește să se obțină parametrii  $\rho(B)$  și  $C_H(B)$ . Cînd condiția menționată este satisfăcută valorile  $\rho_n(B)$  și  $C_{Hn}(B)$  reprezintă valorile parametrilor fizici ce interesează.



O simplificare a calculelor se obține în cadrul plăcilor în formă de pătrat  $a = b$  în care caz rezultă pentru raportul laturilor paralelogramului Hall valoarea  $\lambda_p = 1$  independent de valoarea unghiului Hall  $\theta$ .

În cazul unui pătrat raportul rezistențelor în prezența și absența cimpului magnetic este

$$\frac{R(B)}{R(0)} = \frac{\rho(B)}{\rho(0)} \cdot \sqrt{1 + \operatorname{tg}^2 \theta} \quad (3.73)$$

iar în cazul unui disc Corbină, respectiv a unei plăci cuprinsă în întregime între electrozi de alimentare se obține [37,95]

$$\frac{R_c(B)}{R_c(0)} = \frac{\rho(B)}{\rho(0)} [1 + \operatorname{tg}^2 \theta] \quad (3.74)$$

Din relațiile (3.73) și (3.74) se obține pentru raportul  $\rho(B) / \rho(0)$  expresia

$$\frac{\rho(B)}{\rho(0)} = \frac{R^2(B)}{R_c(B)} \cdot \frac{R_c(0)}{R^2(0)} \quad (3.75)$$

## C A P I T O L U L IV.

### METODE DE CALCUL PENTRU PLACI AVIND O FORMA OARECARE

#### 4.1. Metoda Van der Pauw

##### 4.1.1. Determinarea rezistivității în absența cîmpului magnetic.

Față de alte metode, metoda Van der Pauw [105,106] prezintă anumite caracteristici care constituie în același timp și avantaje. Astfel se poate considera o placă de formă oarecare, nefiind necesare prelucrări în vederea confecționării unor prube speciale pentru măsurarea rezistivității, singura condiție geometrică ce trebuie îndeplinită este ca placa să aibă grosime constantă. Pe periferia plăcii se prevăd patru electrozi filiformi, fără nici o restricție referitoare la poziția acestora, care poate fi deci arbitrară. Contactul electrod-placă se realizează pe toată grosimea acesteia, rezultînd astfel în placă un cîmp electrocinetic plan paralel. Realizarea în practică a contactelor filiforme presupune ca dimensiunea acestora să fie neglijabilă în raport cu distanțele dintre ele, respectiv în raport cu lungimea conturului plăcii. Pentru mărirea preciziei cu care se determină rezistivitatea se pot practica incizii în placă, mărind astfel în mod artificial conturul efectiv al acesteia [75,105]

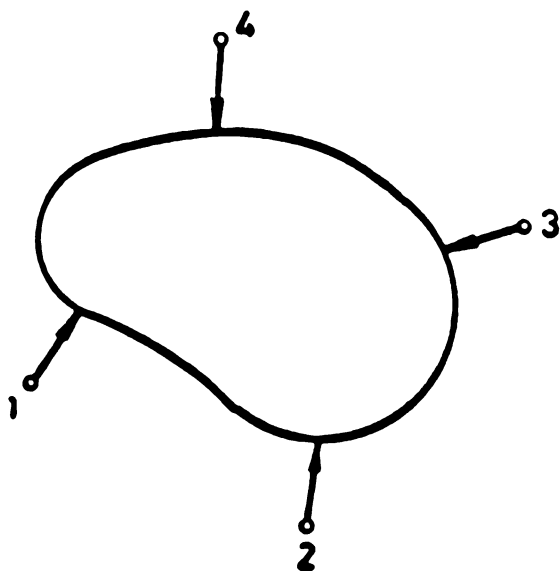


Fig.4.1.

Pentru determinarea rezistivității materialului semiconductor se efectuează două măsurători și anume tensiunea între electrozii 3-4 atunci cînd se stabilește în placă un curent electric constant în timp prin intermediul electrozilor 1-2 (fig. 4.1) și respectiv tensiunea între electrozii 4-1 atunci cînd alimentarea plăcii se face prin electrozii alăturați 2-3 (fig.4.1).

Se pot calcula rezistențele de transfer definite pe baza relațiilor

$$R_{12,34} = (V_4 - V_3) / I_{12} \quad ; \quad R_{23,41} = (V_1 - V_4) / I_{23} \quad (4.1)$$

Pe baza reprezentării conforme a domeniului limitat de conturul plăcii pe un semiplan infinit, fără a stabili funcția analitică ce realizează reprezentarea conformă menționată, însă folosind proprietățile reprezentării conforme se arată că rezistențele de transfer (relațiile 4.1) satisfac următoarea egalitate

$$e^{-\frac{\pi h}{\rho} R_{12,34}} + e^{-\frac{\pi h}{\rho} R_{23,41}} = 1 \quad (4.2)$$

în care  $h$  reprezintă grosimea plăcii iar  $\rho$  rezistivitatea materialului semiconductor. Din relația (4.2) se obține pentru rezistivitate expresia [105]

$$\rho = \frac{\pi h}{\ln 2} \cdot \frac{R_{12,34} + R_{23,41}}{2} \cdot f\left(\frac{R_{12,34}}{R_{23,41}}\right) \quad (4.3)$$

în care factorul  $f$  depinde de raportul  $R_{12,34} / R_{23,41}$  prin relația

$$\operatorname{ch}\left(\frac{R_{12,34} / R_{23,41} - 1}{R_{12,34} / R_{23,41} + 1} \cdot \frac{\ln 2}{f}\right) = \frac{1}{2} e^{\frac{\ln 2}{f}} \quad (4.4)$$

În legătură cu factorul  $f$  se menționează că pentru valori ale raportului rezistențelor de transfer cuprinse între 1 și 2 valoarea factorului  $f$  este cuprinsă între 1 și 0,96 [51]. Trebuie de asemenea subliniat că raportul celor două rezistențe de transfer se consideră astfel încât el să fie supraunitar [29]. În literatură se precizează și faptul că este util a se face o permutare a electrozilor și a se determina o valoare medie a rezistivității [46].

Prin permutarea electrozilor de alimentare se pot defini patru rezistențe de transfer ( $R_{12,34}$ ;  $R_{23,41}$ ;  $R_{34,12}$  și  $R_{41,23}$ ) care luate două câte două în succesiunea prezentată se pot determina cu ajutorul relației (4.3) patru rezistivități

$$\rho_1 = \frac{\pi h}{\ln 2} \cdot \frac{R_{12,34} + R_{23,41}}{2} \cdot f_1\left(\frac{R_{12,34}}{R_{23,41}}\right) \quad (4.5)$$

$$\rho_2 = \frac{\pi h}{\ln 2} \cdot \frac{R_{23,41} + R_{34,12}}{2} \cdot f_2\left(\frac{R_{23,41}}{R_{34,12}}\right)$$

$$\rho_3 = \frac{\pi h}{\ln 2} \cdot \frac{R_{34,12} + R_{41,23}}{2} \cdot f_3 \left( \frac{R_{34,12}}{R_{41,23}} \right) \quad (4.5')$$

$$\rho_4 = \frac{\pi h}{\ln 2} \cdot \frac{R_{41,23} + R_{12,34}}{2} \cdot f_4 \left( \frac{R_{41,23}}{R_{12,34}} \right)$$

Datorită relațiilor de reciprocitate ce sînt satisfăcute de rezistențele de transfer în absența cîmpului magnetic

$$R_{ij,mn}(0) = R_{mn,ij}(0) \quad (4.6)$$

și datorită parității funcției hiperbolice (4.4) se poate arăta că pentru toate cele patru combinații rezultă aceeași valoare a rezistivității

$$\rho_1(0) = \rho_2(0) = \rho_3(0) = \rho_4(0) \quad (4.7)$$

rezultat confirmat și de determinările experimentale efectuate pe mai multe plăcuțe din InSb și Ge [99].

În cazul unor plăci ce au o axă de simetrie în care sînt plasați doi electrozi, iar ceilalți doi electrozi dispuși simetric față de această axă (fig.4.2)

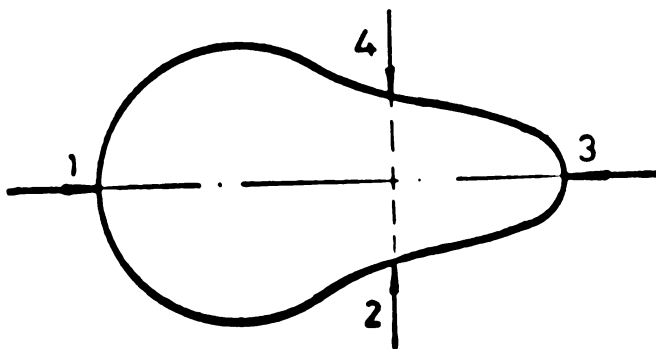


Fig.4.2.

este suficientă doar o singură măsurare pentru determinarea rezistivității folosind relația

$$\rho = \frac{\pi h}{\ln 2} R_{12,34} \quad (4.8)$$

În cazul în care rezistențele de transfer au valori

apropiate factorul  $f$  din relația(4.3) poate fi determinat aproximativ cu formula [106]

$$f = 1 - \frac{\ln 2}{2} \left( \frac{R_{12,34} - R_{23,41}}{R_{12,34} + R_{23,41}} \right)^2 -$$

$$- \left[ \frac{(\ln 2)^2}{8} - \frac{(\ln 2)^2}{12} \right] \cdot \left( \frac{R_{12,34} - R_{23,41}}{R_{12,34} + R_{23,41}} \right)^4$$

Dacă nu <sup>se</sup> cere o precizie prea mare se poate neglija cel de al doilea termen [53]

$$f \approx 1 - \frac{\ln 2}{2} \left( \frac{R_{12,34} - R_{23,41}}{R_{12,34} + R_{23,41}} \right)^2 \quad (4.9)$$

Pentru determinări de precizie a fost necesar calculul

numeric al factorului  $f$  în funcție de raportul rezistențelor de transfer, avînd în vedere faptul că determinarea sa din graficul redat în lucrarea lui Van der Pauw [105] este însoțită de unele erori. Astfel dacă se fac notațiile  $p = R_{12,34}/R_{23,41}$ ,  $A = (p-1)/(p+1)$  și  $x = (\ln 2)/f$  expresia (4.4) devine

$$e^{-x(1+A)} + e^{-x(1-A)} = 1 \quad (4.10)$$

Dezvoltînd expresia (4.10) în serie de puteri și reținînd primii șapte termeni rezultă o eroare de trunchiere mai mică decît  $10^{-3}$ . Folosind calculatorul Felix C 256 a fost determinat factorul  $f$  pentru valori ale lui  $p$  cuprinse între 1 și 5 cu pasul 0,1.

#### 4.1.2. Aspecte caracteristice în prezența inducției magnetice.

În prezența inducției magnetice rezultatele experimentale au scos în evidență faptul că cele patru rezistivități, determinate prin permutarea electrozilor folosind relațiile (4.5) și (4.5'), numai sînt în general egale [99,100]

$$\rho_1(B) \neq \rho_2(B) \neq \rho_3(B) \neq \rho_4(B)$$

Datorită acestor inegalități se impune în primul rînd verificarea valabilității relației (4.2) dedusă de Van der Pauw în absența cîmpului magnetic, avînd în vedere și faptul că legea conducției electrice folosită la deducerea relației (4.2) diferă în prezența inducției magnetice.

Se consideră placa de formă oarecare în prezența cîmpului magnetic reprezentată conform pe semiplanul infinit (fig.4.3) în care se injectează un curent  $I$  printr-un electrod filiform dispus pe toată grosimea  $h$  a plăcii.

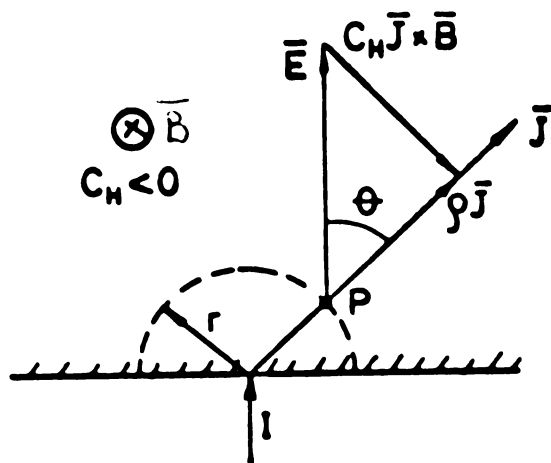


Fig.4.3.

În fiecare punct  $P$  al plăcii vectorii  $\vec{J}$  și  $\vec{B}$  formează unghiul Hall  $\theta$ .

Densitatea de curent într-un punct  $P$  situat la distanța  $r$  de electrodul filiform prin care se injectează curent în placă are expresia

$$J = I/\sqrt{\pi}hr$$

Diferența de potențial dintre electrozii 3-4 atunci cînd se injectează curent prin electrodul 1 (fig.4.4) este

$$V_3 - V_4 = \int_3^4 \vec{E} \cdot d\vec{l} = \int_3^4 E \cdot \cos \theta \cdot dr \quad (4.11)$$

Din legea conducției electrice în prezența câmpului magnetic rezultă

$$E \cdot \cos \theta = \rho J = \frac{\rho I}{\pi h r} \quad (4.12)$$

Introducând (4.12) în (4.11) rezultă pentru diferența de potențial

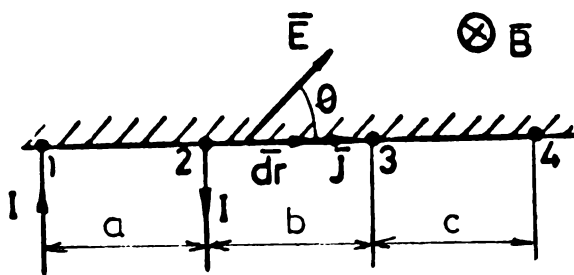


Fig.4.4.

expresia

$$V_3 - V_4 = \frac{\rho I}{\pi h} \ln \frac{a+b+c}{a+b}$$

Analog, dacă se ia în considerare curentul care iese din placă prin electrodul 2 se obține pentru diferența de potențial expresia

$$V_3 - V_4 = - \frac{\rho I}{\pi h} \ln \frac{b+c}{b}$$

Aplicând principiul superpoziției se obține pentru cazul real când curentul intră în placă prin electrodul 1 și iese prin 2 (fig.4.4), expresia

$$V_3 - V_4 = \frac{\rho I}{\pi h} \ln \frac{b(a+b+c)}{(a+b)(b+c)}$$

Dacă se alimentează placa prin electrozii 2 și 3 cu același curent I se obține pentru diferența de potențial între electrozii 1 și 4 expresia

$$V_1 - V_4 = \frac{\rho I}{\pi h} \ln \frac{(a+b)(b+c)}{a \cdot c}$$

Se observă că și în prezența câmpului magnetic rezistențele de transfer definite pe baza relațiilor (4.1) satisfac relația (4.2) dedusă de către Van de Pauw în absența câmpului magnetic.

Această demonstrație confirmă justetea concluziilor stabilite în paragraful 2.3. din capitolul 2 privind utilizarea unor relații de calcul ale rezistivității atât în absența cât și în prezența câmpului magnetic.

Rezultă prin urmare că în condițiile unor contacte teoretic filiforme și în prezența câmpului magnetic rezistivitățile determinate cu relațiile (4.5) trebuie să fie identice. Autoritățile faptului că în practica contactelor reale sînt de dimensiuni mici



dar finite rezistențele de transfer nu mai satisfac principiul reciprocității,

$$R_{ij,mn}^{(B)} \neq R_{mn,ij}^{(B)} \quad (4.13)$$

Această relație se justifică în principal prin faptul că rezistențele de transfer au două componente, ce se adună în cazul unei rezistențe de transfer și se scad în cazul celeilalte rezistențe de transfer [97, 112],

$$\begin{aligned} R_{ij,mn}^{(B)} &= R_{ij,mn}^a + R_{ij,mn}^b \\ R_{mn,ij}^{(B)} &= R_{mn,ij}^a - R_{mn,ij}^b \end{aligned} \quad (4.14)$$

în care cele două componente satisfac egalitățile

$$R_{ij,mn}^a = R_{mn,ij}^a \quad ; \quad R_{ij,mn}^b = R_{mn,ij}^b \quad (4.15)$$

Pe de altă parte determinările experimentale au scos în evidență și faptul că la aceeași valoare a inducției magnetice dar de sens opus pentru acelelași perechi de electrozi rezultă rezistivități diferite, adică

$$\rho_1(+B) \neq \rho_1(-B), \quad \rho_2(+B) \neq \rho_2(-B), \quad \rho_3(+B) \neq \rho_3(-B), \quad \rho_4(+B) \neq \rho_4(-B)$$

Rezultatul este evident dacă se ține seama de faptul că rezistențele de transfer nu mai sînt egale la cele două sensuri ale inducției magnetice, deoarece la un sens intervine suma celor două componente iar la sens opus diferența lor sau invers [110]

$$R_{ij,mn}^{(+B)} = R_{ij,mn}^a + R_{ij,mn}^b \quad (4.16)$$

$$R_{ij,mn}^{(-B)} = R_{ij,mn}^a - R_{ij,mn}^b$$

Aste interesant însă de menționat și faptul că deși în prezența cîmpului magnetic și un anumit sens al inducției magnetice cele patru rezistivități sînt diferite, se poate constata că există o anumită simetrie între valorile obținute pentru cele două sensuri ale inducției magnetice așa cum rezultă și din determinările experimentale

$$\rho_1(+B) = \rho_3(-B), \quad \rho_1(-B) = \rho_2(+B)$$

$$\rho_2(+B) = \rho_4(-B), \quad \rho_2(-B) = \rho_4(+B)$$

Acest lucru se datorește faptului că rezistențele de transfer satisfac egalitatea [110]

$$R_{ij,mn}(+\bar{B}) = R_{mn,ij}(-\bar{B}) \quad (4.17)$$

Din cele prezentate rezultă că în condițiile unor contacte reale foarte mici, având totuși anumite dimensiuni, aplicarea metodei Van der Pauw în prezența cîmpului magnetic conduce în general la valori diferite ale rezistivității în raport cu perechile de electrozi considerate și cu sensul inducției magnetice. Experiențele efectuate au scos în evidență o dispersie destul de mare a rezistivităților ce rezultă la un sens al inducției magnetice, înosebi la inducții magnetice mai mari. Este interesant de menționat faptul că o dispersie de valori mai mică se obține dacă pentru determinarea variației rezistivității cu inducția magnetică se consideră rezistențele proprii, care de altfel nici nu depind de sensul inducției magnetice

$$R_{ij}(+\bar{B}) = R_{ij}(-\bar{B}) = \frac{V_i - V_j}{I_{ij}} \quad (4.18)$$

astfel, se determină rezistivitatea în absența cîmpului magnetic  $\rho(0)$  folosind relația (4.3) iar rezistivitatea în prezența cîmpului magnetic  $\rho(B)$  se determină cu relația [99,100]

$$\rho(B) = \rho(0) \cdot \frac{R_{ij}(B)}{R_{ij}(0)} \quad (4.19)$$

în care  $R_{ij}(B)$  și  $R_{ij}(0)$  reprezintă rezistența proprie în raport cu o pereche de electrozi  $i-j$  în prezența și respectiv în absența cîmpului magnetic. Trebuie menționat însă că relația (4.19) se poate aplica doar în cazul unor contacte suficient de mici pentru ca modificarea rezistenței proprii datorită efectului magnetorezistiv geometric să fie neglijabilă. Verificarea acestei ipoteze se poate face determinând rezistențele proprii la cele  $C_4^2 = 6$  perechi de electrozi. Dacă se obține practic același raport  $R_{ij}(B)/R_{ij}(0)$  pentru toate perechile de electrozi, înseamnă că ipoteza menționată se poate considera satisfăcută.

O altă modalitate de a determina rezistivitatea în prezența inducției magnetice se referă la utilizarea în relația (4.3) a componentelor rezistențelor de transfer ce nu depind de sensul inducției magnetice [111]

$$\rho = \frac{\pi h}{\ln 2} \cdot \frac{R_{12,34}^a + R_{23,41}^a}{2} \cdot f\left(\frac{R_{12,34}^a}{R_{23,41}^a}\right) \quad (4.20)$$

De menționat că relația (4.20) conduce la aceeași valoare a rezistivității pentru toate perechile de electrozi, având în vedere faptul că componentele ce nu depind de sensul inducției magnetice ale rezistențelor de transfer ce intervin în relațiile (4.5) satisfac egalitățile (4.15)

#### 4.1.3. Calculul numeric a rezistivității plăcilor de formă arbitrară.

După cum s-a precizat în cazul metodei Van der Pauw rezistențele de transfer, ce se vor nota pentru simplitate cu un singur indice

$$R_1 = \frac{U_{43}}{I_{12}}, \quad R_2 = \frac{U_{14}}{I_{23}}$$

satisfac relația

$$e^{-\pi h R_1 / \rho} + e^{-\pi h R_2 / \rho} = 1$$

Calculul rezistivității presupune calculul soluției funcției

$$F(\rho) = e^{-\pi h R_1 / \rho} + e^{-\pi h R_2 / \rho} - 1 = 0 \quad (4.21)$$

În acest scop se folosește un procedeu iterativ conform căruia pornind de la o valoare inițială  $\rho_1$  se poate calcula o valoare  $\rho_2$  mai apropiată de soluția ecuației (4.21), care la rândul său poate fi folosită pentru calculul altei valori  $\rho_3$ , etc. Relația de calcul a rezistivității în funcție de valoarea ei de la iterația precedentă în cazul algoritmului Newton-Raphson este [20, 26],

$$\rho_{n+1} = \rho_n - \frac{F(\rho_n)}{F'(\rho_n)} \quad (4.22)$$

în care valorile funcției  $F(\rho)$  și respectiv a derivatei  $F'(\rho)$  se calculează cu valoarea rezistivității din iterația precedentă. Fiind vorba de un proces iterativ calculul se continuă pînă cînd eroarea relativă la două iterații succesive este mai mică decît o valoare  $\xi$ , stabilită de la început în funcție de precizia cu care se dorește să se obțină rezultatul, adică

$$\Delta_{n+1} = \frac{|\rho_{n+1} - \rho_n|}{\rho_{n+1}} \quad (4.23)$$

Dacă procesul este divergent atunci nu este satisfăcută relația

$$\Delta_{n+1} \leq \Delta_n \quad (4.24)$$

Dacă se fac notațiile  $a = \pi h R_1$  și  $b = \pi h R_2$  expresiile funcției  $F(\rho)$  și respectiv a derivatei  $F'(\rho)$  devin

$$F(\rho) = e^{-a/\rho} + e^{-b/\rho} - 1 \quad (4.25)$$

$$F'(\rho) = \frac{1}{\rho^2} (ae^{-a/\rho} + be^{-b/\rho})$$

Po baza relațiilor (4.25) relația (4.22) devine

$$\rho_{n+1} = \frac{\rho_n [(a - \rho_n) e^{-a/\rho_n} + (b - \rho_n) e^{-b/\rho_n} + \rho_n]}{a e^{-a/\rho_n} + b e^{-b/\rho_n}} \quad (4.26)$$

O problemă importantă o constituie alegerea corespunzătoare a valorii inițiale a rezistivității  $\rho_1$ , de care depinde însăși rapiditatea convergenței procesului iterativ. În acest sens se observă că dacă rezistențele de transfer sînt egale  $R_1 = R_2 = R$ , ecuația (4.21) devine

$$2 e^{-\pi h R / \rho} - 1 = 0$$

din care rezultă

$$\rho = \frac{\pi h R}{\ln 2}$$

În general însă rezistențele de transfer nu sînt egale  $R_1 \neq R_2$ , în schimb se poate considera drept valoare inițială a rezistivității  $\rho_1$  valoarea calculată cu relația

$$\rho_1 = \frac{\pi h}{\ln 2} \cdot \frac{R_1 + R_2}{2} = \frac{a + b}{2 \ln 2} \quad (4.27)$$

Schema bloc a algoritmului de calcul este prezentată în figura 4.5, în care se calculează rezistivitatea pentru diferite perechi de valori ale rezistențelor de transfer  $R_1$  și  $R_2$ , a căror valoare începînd de la 1 se mărește cu o unitate pînă la valoarea  $n$ . Pentru fiecare pereche de valori ale rezistențelor de transfer se parcurge un număr de iterații pînă cînd este satisfăcută condiția de precizie dată de relația (4.23). Dacă acest lucru nu se realizează după un număr  $N$  de iterații se tipărește comentariul „ nu s-a obținut precizia dorită ”. Dacă procesul este divergent și deci nu se satisface relația (4.24) se tipărește

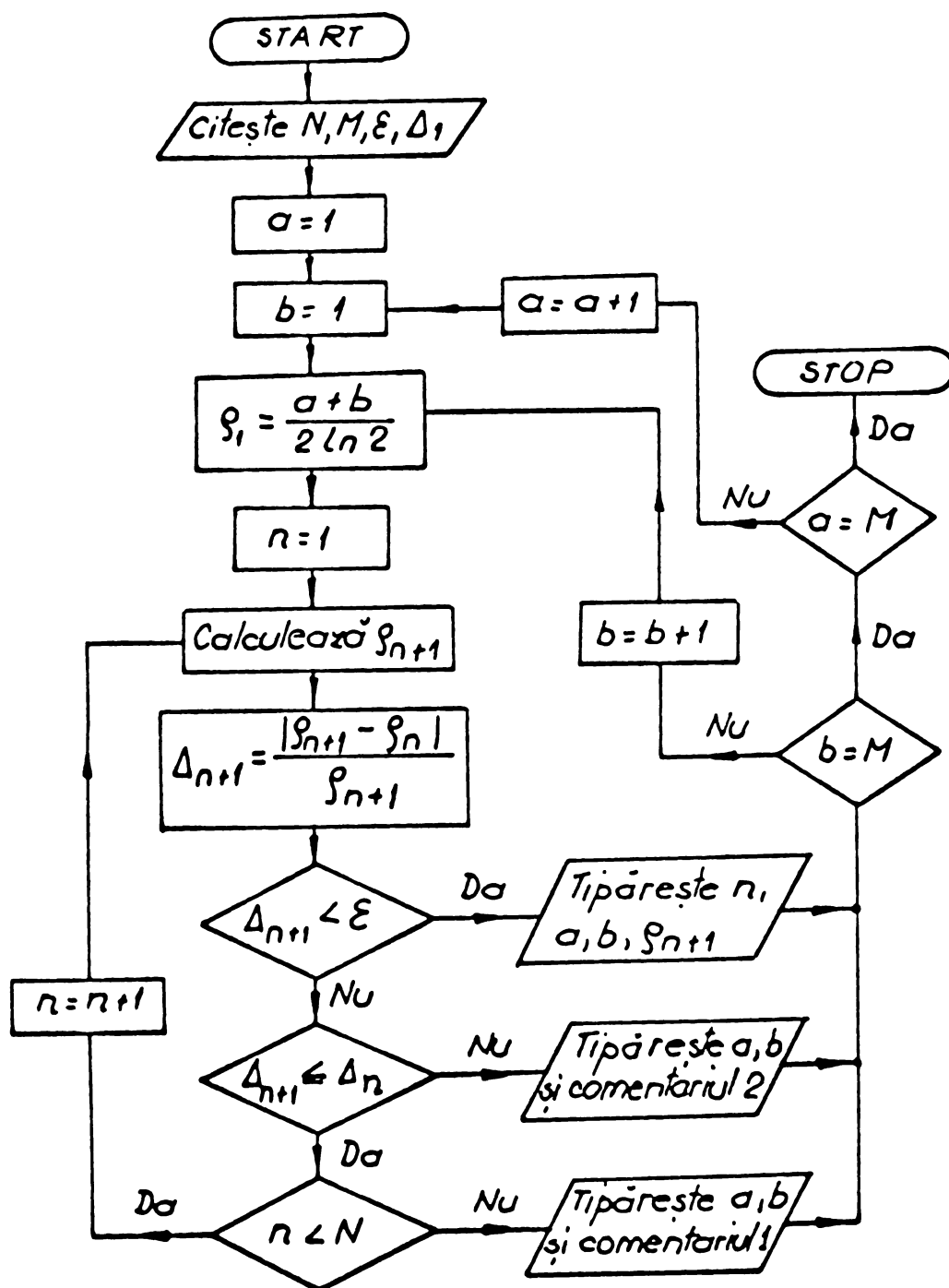


Fig.4.5.

comentariul 2 „proces divergent”. Rezultatele obținute au confirmat importanța alegerii valorii inițiale a rezistivității, respectiv calculul acesteia cu rel.(4.27). Numarul iterațiilor crește pe măsură ce raportul celor două rezistențe de transfer devine din ce în ce mai mare, iar la valori ale raportului mai mari de 20 procesul este divergent. e constată o bună concordanță între valorile rezistivității, calculate numeric cu ajutorul programului a cărui schemă bloc este cea din figura 4.5, cu cele calculate cu relația (4.3) în care factorul  $f$  a fost calculat numeric pe baza

relației (4.10). Astfel la un raport al rezistențelor de transfer egal cu 4 rezultă o eroare relativă de 0,16% iar pentru raportul rezistențelor de transfer egal cu 2 eroarea relativă este 0,02 .

#### 4.1.4. Determinarea coeficientului Hall la plăci de formă oarecare

În ceea ce privește determinarea coeficientului Hall a materialelor semiconductoare folosind plăci de formă oarecare cu electrozi filiformi dispuși pe periferie, Van der Pauw indică relația

$$C_H = \frac{h}{B} \cdot \Delta R_{13,24} \quad (4.28)$$

în care  $h$  este grosimea plăcii,  $B$  valoarea inducției magnetice presupusă uniformă și perpendiculară pe placă iar  $\Delta R_{13,24}$  reprezintă modificarea rezistenței de transfer, definită în raport cu două contacte nealăturate, datorita prezenței cîmpului magnetic. Această modificare se poate calcula cu relația

$$\Delta R_{13,24} = \frac{U_{24}(B) - U_{24}(0)}{I_{13}} \quad (4.29)$$

în care  $U_{24}(0)$  este tensiunea măsurată la perechea de electrozi în absența cîmpului magnetic, iar  $U_{24}(B)$  este tensiunea la aceeași pereche de electrozi în prezența lui  $B$ . Datorită faptului că una dintre componentele acestei tensiuni depinde de valoarea inducției magnetice datorita efectului magnetoresistiv fizic, aplicarea relației (4.28) în care  $\Delta R_{13,24}$  se calculează cu relația (4.29), poate fi însoțită de erori. Astfel la aceeași valoare a inducției magnetice dar sens opus rezultă valori diferite pentru coeficientul Hall,  $C_H(+B) \neq C_H(-B)$ . Pentru a elimina aceste erori determinate de variația rezistivității cu inducția magnetică, coeficientul Hall se poate calcula cu relația

$$C_H(B) = \frac{h}{B \cdot I_{13}} \left[ U_{24}(B) - U_{24}(0) \cdot \frac{\rho(B)}{\rho(0)} \right] \quad (4.30)$$

ce presupune însă cunoașterea variației rezistivității cu inducția magnetică.

Pe o cale mai simplă determinarea coeficientului Hall se poate face pe baza a două măsurări pentru cele două sensuri ale inducției magnetice

$$C_H(B) = \frac{h}{2bI_{13}} \left[ U_{24}(+B) - U_{24}(-B) \right] \quad (4.51)$$

În felul acesta se elimină componenta tensiunii care depinde numai de valoarea inducției magnetice și de sensul ei.

Relațiile (4.50) și (4.51) pot fi aplicate în cazul unor electrozi filiformi. În realitate contactul electrod-placă semiconductoră are o anumită dimensiune ceea ce face ca determinarea coeficientului Hall cu relațiile (4.50) și (4.51) să fie însoțită de erori. Erorile ce apar în cazul unor contacte de alimentare cu dimensiuni se datoresc în principal a două cauze. Pe de o parte faptul că în expresia (4.51) intervine și un factor subunitar  $F_H$  funcție de geometria plăcii, dimensiunile contactelor și de inducția magnetică, rezultând pentru coeficientul Hall expresia

$$C_H(B) = \frac{h}{2F_H b I_{13}} \left[ U_{24}(+B) - U_{24}(-B) \right] \quad (4.52)$$

Pe de altă parte semidiferența tensiunilor  $U_{24}(+B)$  și  $U_{24}(-B)$  nu reprezintă tensiunea Hall în cazul unor contacte de alimentare cu dimensiuni și a unor contacte de măsurare neechipotțiale în absența cimpului magnetic. În adevăr considerând contactele 2-2' și 4-4' echipotențiale în prezența inducției magnetice (fig.4.5)

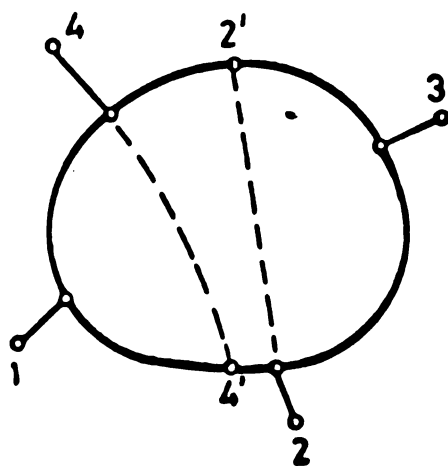


Fig.4.5.

și ținând seama de descompunerea rezistențelor de transfer în două componente, dintre care una este independentă de sensul cimpului magnetic iar cealaltă își modifică sensul cu sensul inducției magnetice, tensiunile măsurate la electrozii 2-4 la cele două sensuri ale inducției magnetice pot fi scrise în forma [100]

$$U_{24}(+B) = U_{22'}(+B) + U_{2'4}(+B) = U_{H2} + U_{2'4}^A + U_{2'4}^B \quad (4.53)$$

$$U_{24}(-B) = U_{22'}(-B) + U_{2'4}(-B) = -U_{H2} + U_{2'4}^A - U_{2'4}^B$$

în care  $U_{H2}$  este tensiunea Hall corespunzătoare contactelor 2-2' echipotențiale în absența lui B. Din relațiile (4.53) se obține



$$\frac{1}{2} \left[ U_{24}(+\bar{B}) - U_{24}(-\bar{B}) \right] = U_{H2} + U_{2,4}^b \neq U_{H2} \quad (4.34)$$

Tinând seama de caracterul potențial al câmpului electric din placă tensiunile  $U_{24}(+\bar{B})$  și  $U_{24}(-\bar{B})$  pot fi descompuse în forma

$$U_{24}(+\bar{B}) = U_{24,1}(+\bar{B}) + U_{4,4}(+\bar{B}) = U_{24,1}^a + U_{24,1}^b + U_{H4} \quad (4.35)$$

$$U_{24}(-\bar{B}) = U_{24,1}(-\bar{B}) + U_{4,4}(-\bar{B}) = U_{24,1}^a - U_{24,1}^b - U_{H4}$$

în care  $U_{H4}$  este tensiunea Hall corespunzătoare contactelor 4-4' echipotențiale în absența lui B. Din relațiile (4.35) rezultă

$$\frac{1}{2} \left[ U_{24}(+\bar{B}) - U_{24}(-\bar{B}) \right] = U_{24,1}^b + U_{H4} \neq U_{H4} \quad (4.36)$$

Din relațiile (4.34) și (4.36) rezultă că semidiferența tensiunilor  $U_{24}(+\bar{B})$  și  $U_{24}(-\bar{B})$  este diferită de tensiunea Hall. Eliminarea acestui neajuns poate fi făcută dacă se măsoară tensiunea între un electrod de alimentare (de curent) și unul de măsurare (de tensiune) așa cum se va demonstra în paragraful 4.2.2 .

Pe baza descompunerilor (4.33) și (4.35) se pot face și unele observații în legătura cu tensiunea de zero (de nechipotențialitate a electrozilor hall), utile în aplicațiile tehnice ale dispozitivelor hall, respectiv în compensarea acestei tensiuni [35]

#### 4.2. Determinarea rezistivității și coeficientului Hall la plăci de formă oarecare cu metoda modelizării

##### 4.2.1. Unele proprietăți ale paralelogramului Hall.

Metoda modelizării electrocinetice dă posibilitatea aplicării principiilor de reprezentare conformă fără să se opereze însă direct cu funcțiile analitice, reprezentarea conformă realizându-se în acest caz pe cale experimentală cu ajutorul unor modele. La baza metodei modelizării electrocinetice stă echivalența domeniilor reprezentate conform din punctul de vedere al rezistenței electrice care este aceeași. Sub acest aspect caracteristicile paralelogramului hall joacă un rol important [95] .

Paralelogramul hall este un domeniu echivalent plăcii hall corespunzător reprezentării conforme, în care spectrul electric este uniform. Oricare ar fi forma plăcii Hall, dacă ea corespunde unui domeniu simplu conex și este prevăzută pe frontiera

numai cu doi electrozi de dimensiuni finite (fig.4.7.a), domeniul respectiv se poate transforma conform într-un paralelogram Hall simplu (fig.4.7.b).

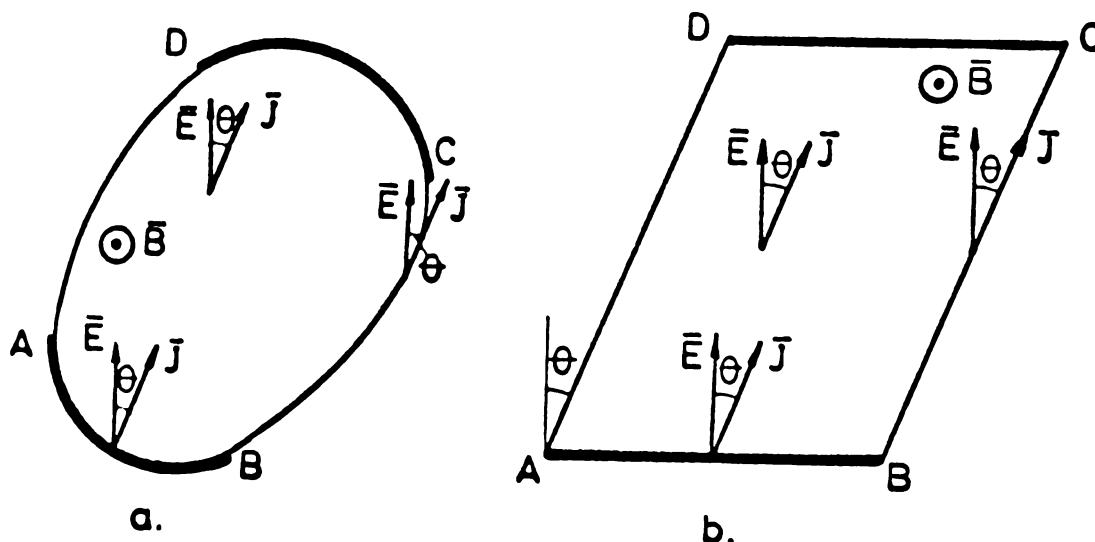


Fig.4.7.

Atât la placă cât și la paralelogram electrozii AB și CD sînt presupuși cu conductivitate electrică foarte mare. Condițiile de frontieră stabilesc că intensitatea cîmpului electric  $\bar{E}$  este perpendiculară pe suprafața electrozilor, iar densitatea curentului electric  $\bar{J}$  este tangenta la suprafața liberă (neacoperită de electrozi metalici).

Deoarece cîmpul din paralelogramul Hall este uniform se obține pentru rezistența plăcii în prezența inducției magnetice expresia

$$R(B) = \rho(B) \cdot \frac{a}{h b \cos \theta} \quad (4.37)$$

în care  $\rho(B)$  reprezintă rezistivitatea materialului semiconductor din care este conecționată placa,  $a$  este grosimea plăcii iar  $a$  și  $b$  sînt dimensiunile paralelogramului Hall (fig.4.8).

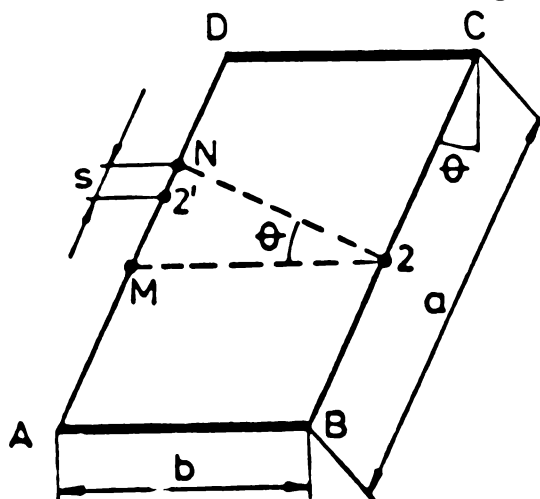


Fig.4.8.

Considerînd doi electrozi punctiformi 2 și 2' numiți și electrozi Hall, ecipotentiali în absența cîmpului magnetic, a căror poziție în paralelogramul Hall este aratăată în figura 4.8, se poate determina expresia tensiunii Hall măsurată între acești doi electrozi în forma [95]

$$U_H = C_H(B) \frac{1}{h} I B \left(1 - \frac{s}{b \cdot \sin \theta}\right) \quad (4.38)$$

în care  $C_H(B)$  reprezintă coeficientul Hall al materialului semiconductor din care este confecționată placa,  $I$  curentul de comandă al plăcii iar  $s$  reprezintă segmentul  $2'N$ ,  $N$  fiind piciorul perpendicularului dusă din  $2$  pe latura  $AD$ .

Din relațiile (4.37) și (4.38) pot fi calculați parametri fizici  $\rho(B)$  și  $C_H(B)$  dacă în afara mărimilor ce se măsoară pe placa reală se determină paralelogramul Hall corespunzător, respectiv se determină mărimile  $a$ ,  $b$ ,  $s$  și  $\theta$ .

Determinarea paralelogramului Hall ce reprezintă conform o placă de formă oarecare este în general o problemă dificilă. De aceea o metodă utilă pentru determinarea paralelogramului Hall ce reprezintă metoda neutralizării electrocinetice. Dintr-un material oarecare (de exemplu electroconductoare) se decupează un model având forma asemănătoare cu cea a plăcii Hall inițiale.

Alegând arbitrar o înclinare inițială  $\theta_0$  și considerând o anumită lățime  $b$  a paralelogramului, confecționat din același material ca și modelul (se modifică lungimea acestuia a pînă cînd rezistența sa devine egală cu rezistența electrică a modelului. Cu ajutorul relațiilor (4.37) și (4.38) se poate calcula într-o primă etapă valoarea rezistivității și a coeficientului Hall ale materialului semiconductor din care este confecționată placa Hall. Cu aceste valori se calculează tangenta unghiului  $\theta$  rezultînd o altă valoare  $\theta_1$  a înclinării paralelogramului. Se modifică din nou dimensiunile acestuia pînă rezultă aceeași rezistență electrică și se determină apoi alte valori pentru  $\rho(B)$  și  $C_H(B)$ . Se continuă astfel procesul iterativ pînă cînd valoarea unghiului  $\theta$  rămîne practic aceeași la două iterații succesive.

#### 4.2.2. O nouă metodă de determinare a tensiunii Hall

Metoda neutralizării electrocinetice a fost folosită pentru determinarea parametrilor fizici la o placă de formă oarecare avînd doi electrozi de alimentare (de comandă) și trei electrozi de măsurare (de tensiune) dintre care doi echipotențiali [15].

Deoarece plasarea pe periferia unei plăci de formă oarecare a doi electrozi Hall e o suprafață echipotențială în absența câmpului magnetic reprezintă în general o dificultate, în cele ce urmează se va prezenta o nouă metodă de măsurare a tensiunii Hall folosind un singur electrod Hall.

Curentul de alimentare se stabilește între electrozii

1-2 plini iar tensiunea se măsoară între electrodul 1 și 3, ultimul fiind filiform (fig.4.9). În figura 4.9 a fost reprezentată cu linie întreruptă o linie echipotențială în absența inducției magnetice,  $U_{33'}(0) = 0$ . Pentru determinarea coeficientului Hall interesează tensiunea Hall ce ar apărea între punctele 3-3' în prezența câmpului magnetic

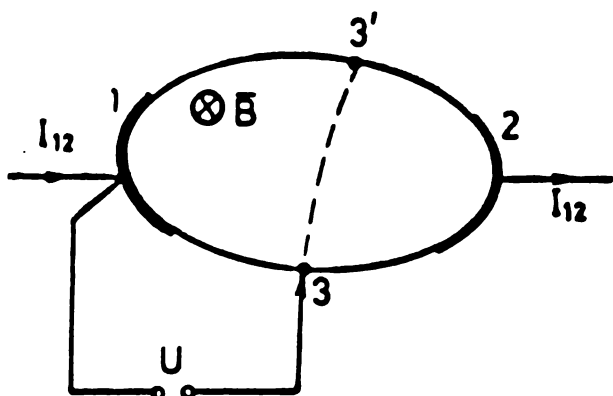


Fig.4.9.

$U_H = U_{33'}(+\bar{B}) = U_{33'}(-\bar{B})$

Deoarece în regim staționar intensitatea câmpului electric este un câmp potențial se poate scrie

$$U_H = \int_3^{3'} \bar{s} \cdot d\bar{l} = \int_3^1 \bar{s} \cdot d\bar{l} + \int_1^{3'} \bar{s} \cdot d\bar{l} = U_{31}(+\bar{B}) + U_{13'}(+\bar{B})$$

avînd în vedere faptul că 3 și 3' sînt echipotențiale în absența lui B și ținînd seama că la cele două sensuri ale câmpului magnetic paralelogramul Hall își schimbă doar sensul de înclinare, se poate arăta că este satisfăcută relația [113]

$$U_{13'}(+\bar{B}) = U_{13}(-\bar{B}) \quad (4.39)$$

astfel ca pentru tensiunea Hall se obține expresia

$$U_H = U_{31}(+\bar{B}) + U_{13}(-\bar{B}) = U_{13}(-\bar{B}) - U_{13}(+\bar{B}) \quad (4.40)$$

Rezultă deci că tensiunea Hall poate fi determinată efectuînd două măsuri la cele două sensuri ale inducției magnetice. Determinarea tensiunii Hall cu relația (4.40) permite calculul parametrilor fizici la plăci de formă oarecare cu electrozi de alimentare de dimensiuni arbitrare. În acest scop se determină poziția punctelor 3 și 3' din paralelogram astfel încît tensiunea  $U_{13}$  și  $U_{13'}$  măsurată în paralelogram să fie egală cu tensiunea  $U_{13}$  măsurată în model atunci cînd în paralelogram și în model se stabilește același curent electric ( $I_{12p} = I_{12m}$ ). Punctul 3' din paralelogram ar fi corespondentul punctului 3' din placă ce are același potențial ca și electrodul 3 în absența câmpului magnetic.

Din relația (4.37) se poate calcula o primă valoare a rezistivității folosind dimensiunile paralelogramului Hall ce

corespunde înclinării  $\theta_0$  arbitrar aleasă. Dacă în relația (4.33) se ține seama că

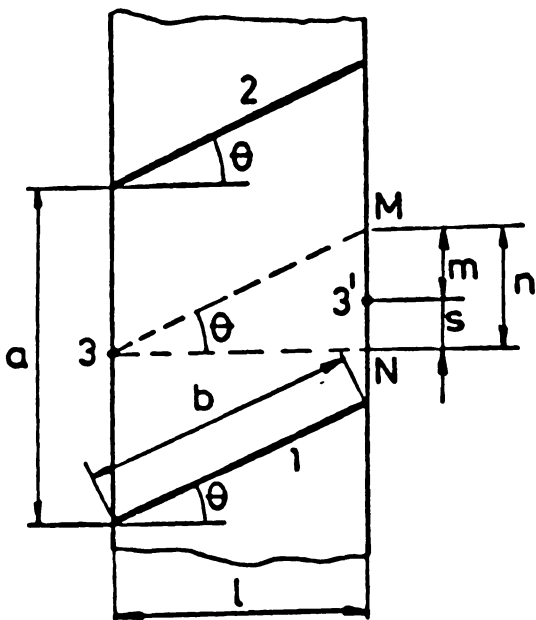


Fig. 4.10.

$$l = \frac{s}{b \sin \theta} = \frac{l}{m+s} = \frac{l}{n}$$

în care  $l$  și  $l$  reprezintă lungimea segmentelor din figura 4.10 și ca tensiunea nail  $U_{\text{II}}$  corespunzătoare contactelor 3-3' considerate echipotențiale în absența inducției magnetice se poate calcula cu relația (4.40) o primă valoare a coeficientului nail. Cu aceste valori ale parametrilor fizici se recalculază un nail nail cu relația

$$\cos \theta_1 = \frac{C_{\text{II}}(r)}{R_1(x)} \cdot B$$

modificându-se astfel înclinarea  $\theta_1$  a electrodilor și continuând procesul în mod iterativ.

#### 4.2.9. O altă variantă a metodei modelizării

Aplicarea relațiilor (4.37) și (4.38) obținute pe baza proprietăților anamorfismului nail este însoțită de erori dacă electrodul 3 nu este cilindric, deoarece în acest caz forma paralelogramului nail se modifică [12]. În situația în care nu se poate realiza un contact mecanic se propune utilizarea unei noi variante a metodei modelizării electrostatice.

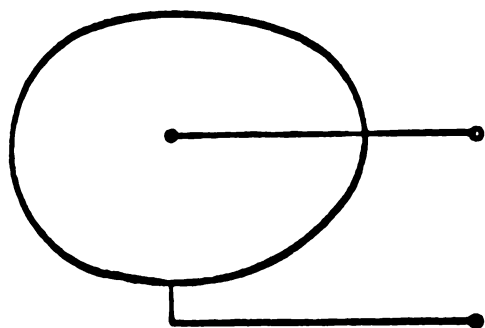
Se consideră rezistența părții înclinată de formă arbitrară, a unei electrodului de diametru nail fixate, atât în absența câmpului magnetic  $H(0)$  cât și în prezența câmpului magnetic  $H(x)$ . Se corectează în continuare electrozodul față de nail modelator prin care se asigură paralelogramul nail respectând egalitatea rezistențelor electrice a modelului  $R_m$  și a paralelogramului  $R_p$ .

Pentru o înclinare înclinată  $\theta_0$  a electrodului se calculează o valoare a coeficientului nail cu relația (4.37). Se determină de asemenea și rezistivitatea electrozodului modelator în absența câmpului magnetic, calculându-se paralelogramul nail pentru o înclinare  $\theta = 0$ , care este de fapt un dreptunghi, folosind relația

$$\rho(0) = \frac{+e1}{a} R(0)$$

în care  $l$  și  $a$  sint laturile dreptunghiului iar  $R(0)$  rezistența plăcii în absența cîmpului magnetic.

Se confecționează din același material cu placa dată un „disc Corbino” avînd un electrod ce acoperă în întregime conturul plăcii (fig.4.11) și se măsoară rezistența discului Corbino în absența cîmpului magnetic  $R_c(0)$  și în prezența cîmpului



magnetic  $R_c(B)$ . Deoarece raportul rezistențelor electrice ale discului Corbino în prezența și în absența cîmpului magnetic se poate exprima în funcție de raportul rezistivităților și unghiul  $\theta$  [22, 95]

$$\frac{R_c(B)}{R_c(0)} = \frac{\rho(B)}{\rho(0)} \cdot \frac{1}{\cos^2 \theta}$$

Fig.4.11.

se poate determina o nouă valoare  $\theta_1$  a înclinării electrozilor în paralelogramul Hall

$$\cos \theta_1 = \sqrt{\frac{\rho_1(0)}{\rho(0)} \cdot \frac{R_c(0)}{R_c(B)}} \quad (4.41)$$

Se modifică înclinarea electrozilor la  $\theta_1$  și se determină o nouă valoare a rezistivității  $\rho_2(B)$  cu relația (4.37). Se continuă astfel iterațiile pînă cînd

$$|\theta_n - \theta_{n-1}| < \varepsilon$$

cînd se consideră pentru rezistivitate valoarea  $\rho_n(B)$ .

Se poate determina apoi coeficientul Hall folosind relația

$$C_H(B) = \frac{\rho_n(B) \cdot \operatorname{tg} \theta_n}{B} \quad (4.42)$$

Deși precizia metodei modelizării electrocinetice nu este prea ridicată ea este utilă în cazul placilor de formă arbitrară cu electrozi de alimentare plini (avînd dimensiuni finite).



## C A P I T O L U L V

### DETERMINARI EXPERIMENTALE

#### 5.1. Instalația de măsurare

Determinarea parametrilor fizici ai materialelor semiconductoare precum și studiul comportării dispozitivelor galvanomagnetice au impus proiectarea și realizarea unei instalații de măsurare formată din două părți principale :

- partea destinată obținerii unui câmp magnetic uniform în întrefierul unui electromagnet ce permite modificarea valorii inducției magnetice și schimbarea sensului câmpului magnetic

- partea destinată alimentării cu curent de comandă a dispozitivelor galvanomagnetice și măsurării tensiunilor necesare în calculul parametrilor globali ai dispozitivelor și parametrilor fizici ai materialelor semiconductoare.

Schema bloc a primei părți este prezentată în figura 5.1 în care AT reprezintă un autotransformator, R punte redresoare,

F filtru de netezire, EM electromagnet de curent continuu. Electromagnetul s-a realizat dintr-un miez din tablă siliceasă laminată la rece, format din două părți egale, secțiunea avînd formă

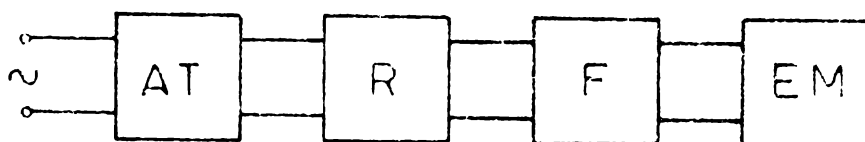


Fig.5.1.

de pătrat cu latura de 60 mm. Calculul bobinei electromagnetului s-a făcut în ipoteza obținerii unei inducții magnetice în întrefier de  $1.6/\text{m}^2$  la un întrefier  $\sigma = 2 \times 1$  cm și un curent prin bobină de 6 A.

Instalația fiind folosită pentru determinarea parametrilor unor dispozitive galvanomagnetice avînd diferite grosimi, s-a prevăzut ca electromagnetul să fie cu întrefier reglabil. Reglarea întrefierului se face cu un dispozitiv mecanic ce permite deplasarea unei jumătăți a miezului față de cealaltă printr-o mișcare de translație.

Pentru alimentarea electromagnetului în curent continuu se folosește o punte redresoare cu diode și un filtru LC (fig. 5.2).



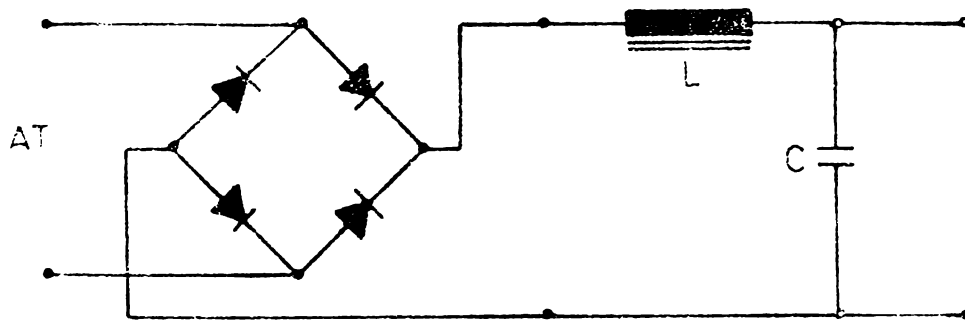


Fig.5.2.

Senza electrică a primei părți a instalației, inclusiv partea de protecție și de comandă a acestora este prezentată în figura 5.3.

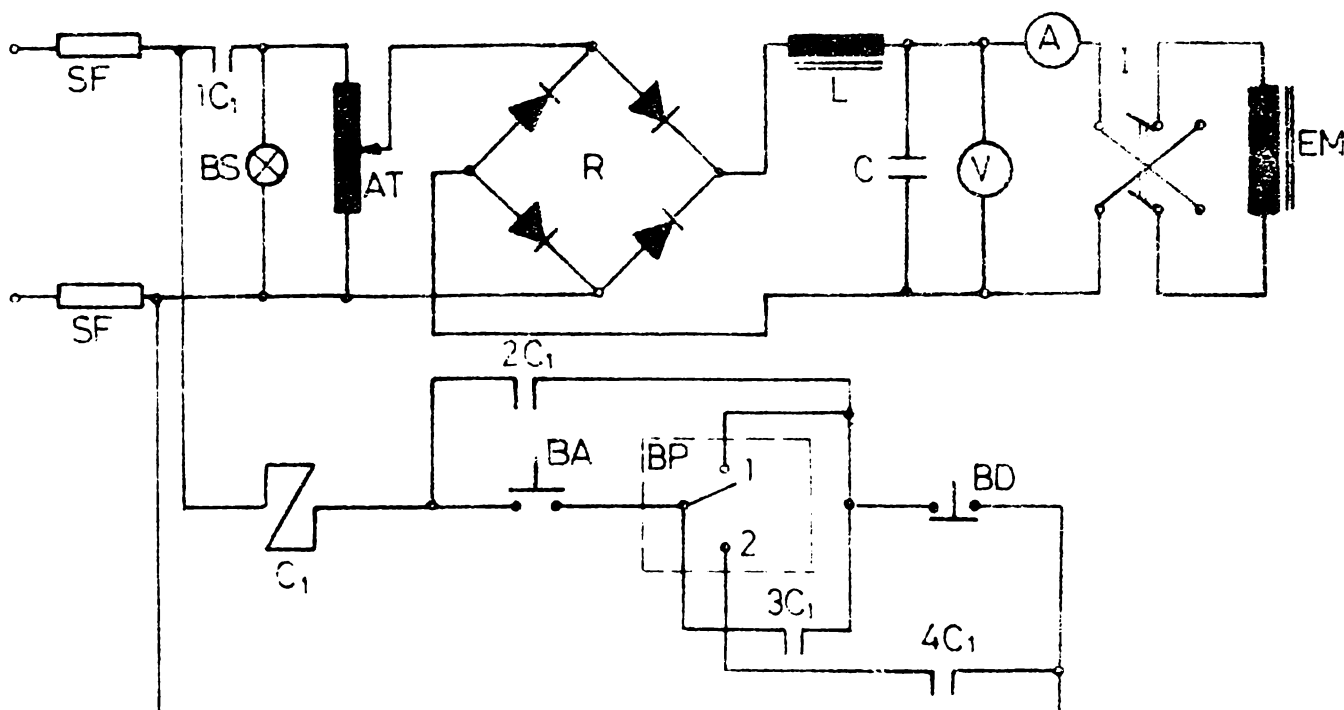


Fig.5.3.

Elementele schemei din figura 5.3 sînt: SF - siguranțe fuzibile; BS - bec semnalizare cu transformator 220/24V ; V- voltmetru de curent continuu 100 V ; A - ampermetru de curent continuu 6 a ; I - comutator pachet pentru inversarea sensului curentului în electromagnet ; C<sub>1</sub> - contactor 10A-10 cu 4 contacte normal deschise; BA, AB - butoane de anclanșare și respectiv declanșare.

Pentru a evita apariția suprațensiunilor la conectarea sau deconectarea circuitului de alimentare al electromagnetului s-a introdus un blocaj de protecție BP, ce este un limitator de cursă cu două contacte 1 și 2 a căror stare este corelată cu poziția cursorului autotransformatorului. În poziția 0 a cursorului autotransformatorului contactul 1 este închis și 2 deschis, iar atunci cînd cursorul este într-o poziție diferită

de 0 se deschide 1 și se închide 2. Se observă din schema că datorită RP conectarea și respectiv deconectarea circuitului de alimentare al electromagnetului se poate face doar când cursorul autotransformatorului este în poziția 0.

Curentul de comandă al dispozitivelor galvanomagnetice se obține de la o sursă de tensiune continuă stabilizată ce poate furniza la ieșire tensiunea continuă de 0 - 7,5 V. Măsurarea curentului de comandă se face cu un aparat de tip magnetoelectric de clasă 0,5, având mai multe domenii de măsurare de la 6 mA până la 6 A. Pentru măsurarea tensiunilor se conectează aparatul de măsurare la o pereche de borne de pe panoul instalației.

În cazul folosirii metodei Van der Pauw pentru determinarea parametrilor fizici, plăcile semiconductoare de formă oarecare se fixează într-un dispozitiv ce realizează patru contacte filiforme cu ajutorul unor electrozi în formă de cuțit. Presiunea de contact este asigurată de arcure presoare iar ghidarea și fixarea electrozilor se realizează prin două rame suport. Electrozii se conectează la patru borne exterioare ce permit utilizarea instalației și pentru determinarea comportării altor dispozitive galvanomagnetice în câmp magnetic.

Față de electromagnetul de tip Weiss existent în dotarea catedrei, instalația descrisă prezintă în principal două avantaje: conține toate elementele montajului (surse de alimentare, aparate de măsurare, sistemele de reglare și de comandă) necesare efectuării determinărilor experimentale și nu are practic ciclul de histereză, iar inducția magnetică remanentă este neglijabilă față de cea de la electromagnetul Weiss la același întrefier. Dezavantajul instalației constă în faptul că nu se pot obține inducții magnetice de valoare relativ mare.

Vederea de ansamblu a instalației este prezentată în fig. 5.4.

## 5.2. Determinarea experimentală a parametrilor globali ai dispozitivelor galvanomagnetice.

Deoarece valoarea rezistenței electrice a dispozitivelor galvanomagnetice se modifică cu inducția magnetică datorită efectului magnetorezistiv fizic și geometric este necesar să se țină seama de acest lucru la dimensionarea schemei de alimentare cu curent de comandă a dispozitivelor galvanomagnetice [101, 102]

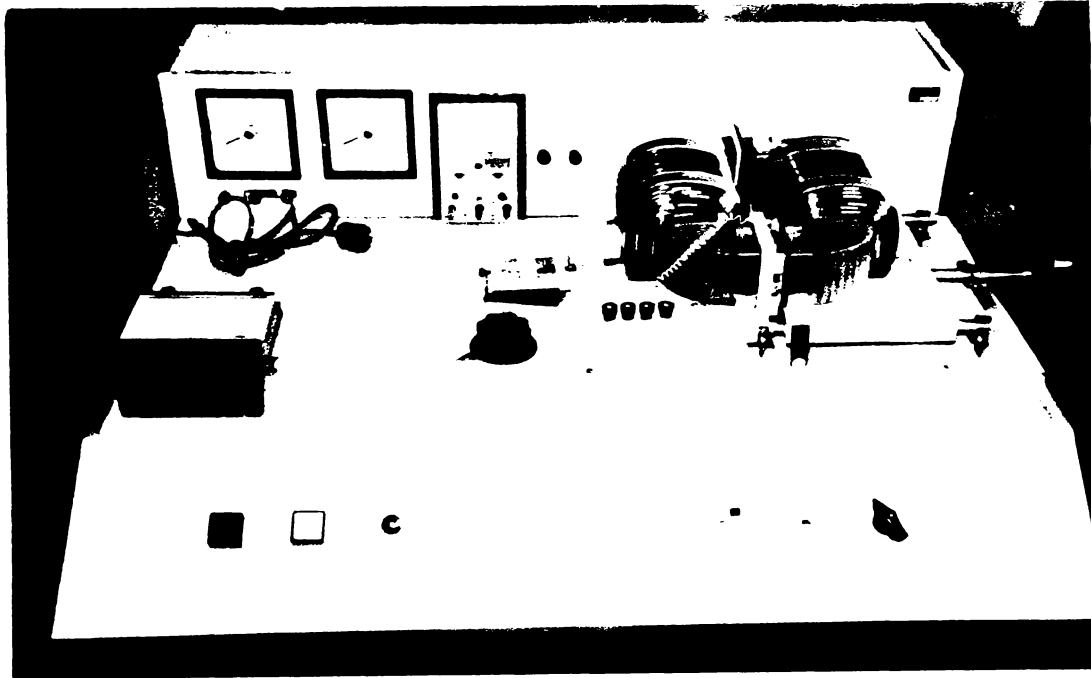


Fig. 5.4.

In acest sens o importanță deosebită prezintă dependența rezistențelor proprii  $R_p$  de inducția magnetică. In figura 5.5. este prezentată dependența raportului  $R_p(B) / R_p(0)$  de valoarea inducției magnetice pentru două plăcuțe din InSb (curba 1) și InAs (curba 2), determinări efectuate la cele două sensuri a lui  $\vec{B}$ .

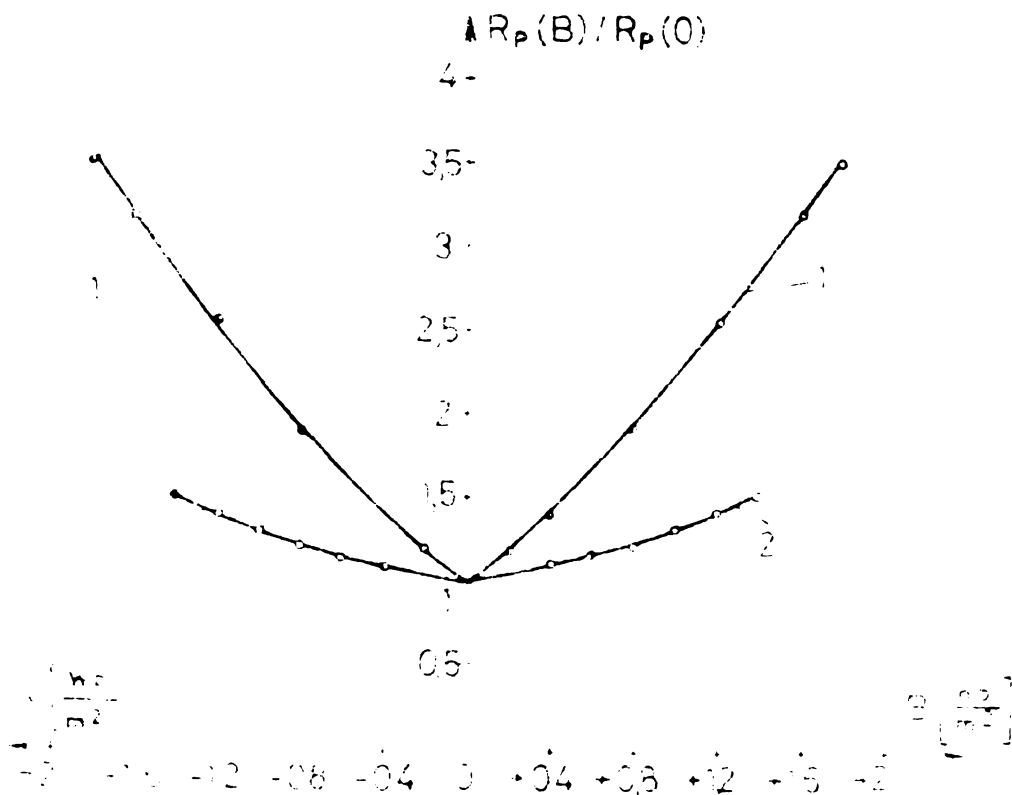


Fig. 5.5.

Rezultă și din figura 5.5 că pentru orice dispozitiv galvanomagnetic rezistența proprie depinde doar de valoarea inducției magnetice, nu și de sensul cîmpului magnetic.

În tabelul 5.1 sînt redată valorile rezistenței proprii la cele două sensuri ale cîmpului magnetic, ale unei plăci din InAs, pentru diferite orientări ale cîmpului magnetic,  $\alpha$  fiind unghiul dintre normala la suprafața plăcii și inducția magnetică  $\vec{B}$ .

TABELUL 5.1.

$\alpha$	0	$30^\circ$	$45^\circ$	$60^\circ$
$R_p [\Omega]$	+B 3,64	3,47	3,31	3,10
	-B 3,64	3,46	3,31	3,10

Dependența rezistențelor de transfer de valoarea și sensul inducției magnetice a fost determinată experimental în literatură considerînd în general alimentarea plăcuței semiconductoare prin contacte nealăturate [98]. În prezenta lucrare s-a determinat dependența de sensul și valoarea cîmpului magnetic a rezistențelor de transfer definite în raport cu electrozi de alimentare alăturați. S-au făcut aceste determinări experimentale asupra rezis-

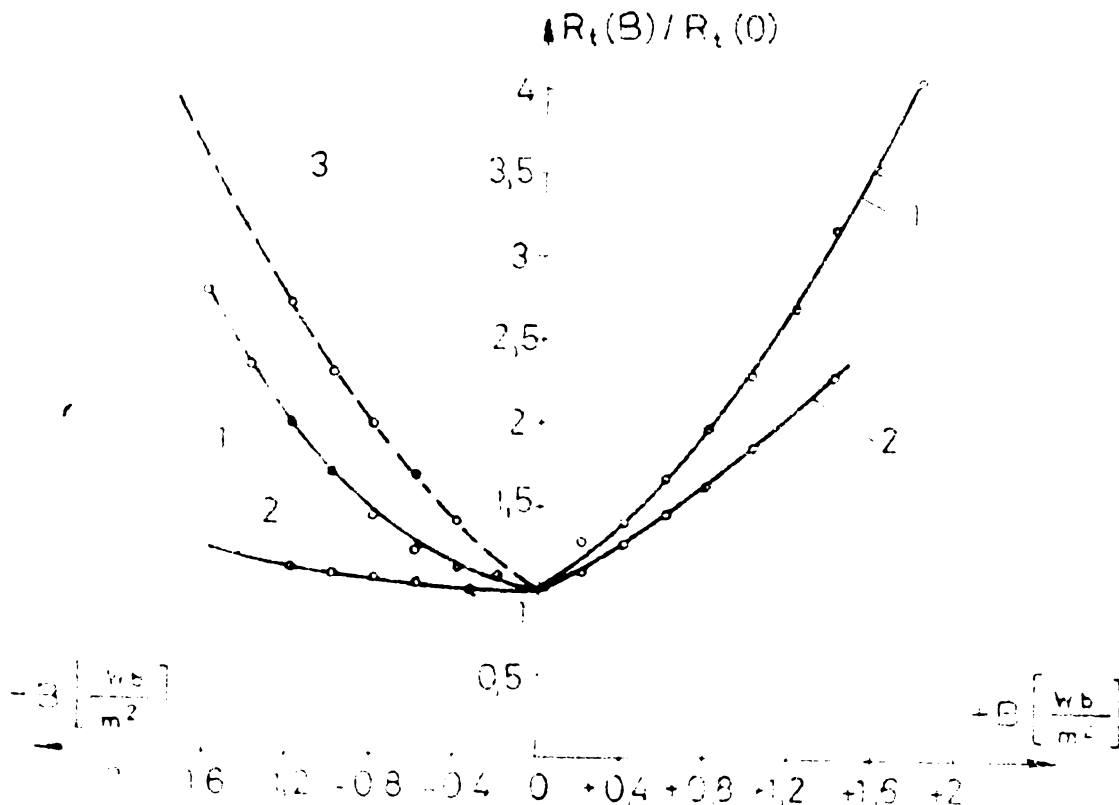


Fig. 5.6.

țele de transfer definite în raport cu contactele de alimentare alăturate se folosesc și pentru determinarea rezistivității elec-

trice cu metoda Van der Pauw. In figura 5.6 este prezentată dependența pentru cîte o rezistența de transfer la placuța din InSb (curba 1) (și cea din InAs (curba 2). Se remarcă din figura 5.6 că rezistențele de transfer nu mai au aceeași valoare pentru o anumită inducție magnetică la cele doua sensuri ale sale. Acest rezultat este pus în evidență și de determinările experimentale efectuate pe o plăcuță din Ge la care raportul  $R_t(B)/R_t(0)$  este egal cu 1,148 pentru un sens al inducției magnetice și 1,014 pentru sensul opus al inducției magnetice, la aceeași valoare  $B = 1,0 \text{ wb/m}^2$ .

Dacă se alimentează placa prin 3-4 și se măsoară tensiunea la 1-2 se constată experimental că rezistența de transfer astrel definită la un sens al inducției magnetice  $R_{34,12}(-\bar{B})$  este egală cu rezistența de transfer directă  $R_{12,34}(+\bar{B})$  la celălalt sens al inducției magnetice. Acest lucru se poate constata în figura 5.6, comparînd curba 3 desenată cu linie întreruptă, ce reprezintă  $R_{34,12}(-\bar{B})$  cu curba 1 corespunzătoare sensului  $(+\bar{B})$  al inducției magnetice, ce reprezintă  $R_{12,34}(+\bar{B})$ .

Acest rezultat a fost obținut și pentru diferite orientări  $\alpha$  ale cîmpului magnetic, așa cum rezultă din tabelul 5.2.

TABELUL 5.2

$\alpha$	$R_{12,34}(+\bar{B})$	$R_{12,34}(-\bar{B})$	$R_{34,12}(+\bar{B})$	$R_{34,12}(-\bar{B})$
$0^\circ$	1,16	1,41	1,41	1,17
$30^\circ$	1,18	1,32	1,31	1,18
$45^\circ$	1,18	1,25	1,25	1,19
$60^\circ$	1,19	1,18	1,18	1,19

Dependența componentelor rezistențelor de transfer, calculate cu relațiile (1.59), de sensul și valoarea inducției magnetice este arătată în figura 5.7 pentru o placă din InSb (cu linie plină) și o placă din InAs (cu linie întreruptă). La o placă din Ge s-au obținut experimental pentru raportul  $R^a(B)/R(0)$  valoarea 1,08 la o inducție de  $1,9 \text{ wb/m}^2$ .

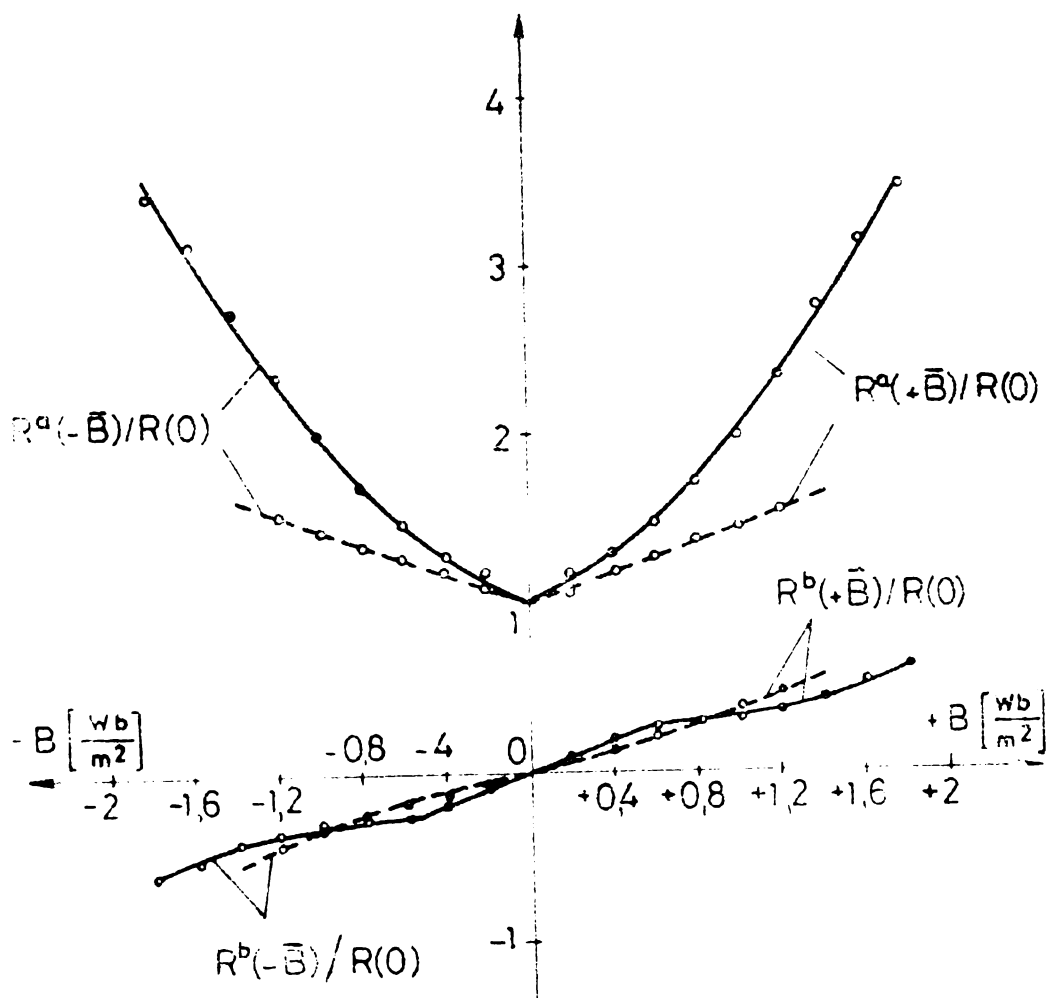


Fig.5.7.

**5.3. Rezultate experimentale privind îmbunătățirea metodei Van der Pauw**

α. Prin intermediul a doi electrozi alăturați s-a stabilit în placă un curent constant și s-a măsurat tensiunea la ceilalți doi electrozi, determinându-se astfel o rezistență de transfer. Prin permutarea electrozilor s-au determinat patru rezistențe de transfer pe baza cărora au fost calculate cu relațiile (4.5) și (4.5') patru rezistivități în absența cîmpului magnetic, toate avînd aceeași valoare. La o placă din InSb s-a obținut valoarea  $\rho(0) = 5,5 \times 10^{-6} \Omega m$ , iar la o placă din Ge a rezultat  $\rho(0) = 1,64 \times 10^{-3} \Omega m$ .

Determinările experimentale efectuate cu placa introdusă într-un cîmp magnetic transversal au scos în evidență faptul că prin folosirea relațiilor (4.5) și (4.5') nu se obține aceeași valoare pentru rezistivitate. Dependența de inducția magnetică a celor patru rezistivități la o placă din InSb este arătată în figura 5.8.

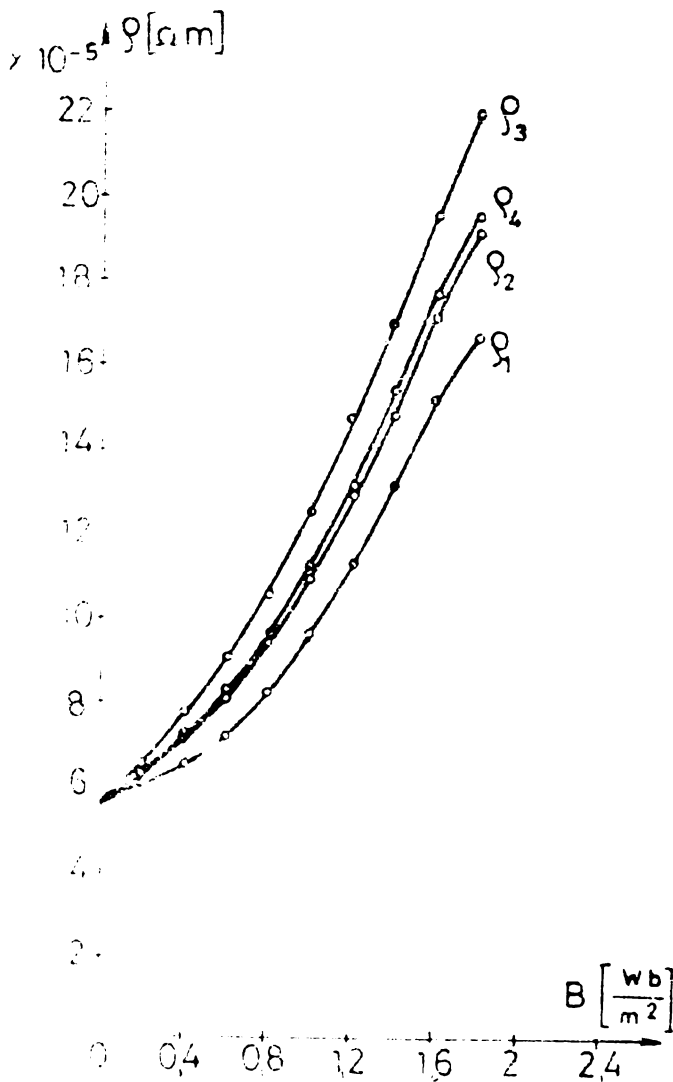


Fig.5.8.

tate la cele două sensuri ale cîmpului magnetic (fig.5.9).

De asemenea rezultatele experimentale au confirmat egalitățile

$$\rho_1(+B) = \rho_3(-B) ; \quad \rho_2(+B) = \rho_4(-B)$$

$$\rho_1(-B) = \rho_3(+B) ; \quad \rho_2(-B) = \rho_4(+B)$$

În fig.5.9 este prezentată cu linie întreruptă și dependența  $\rho_3(-B)$  care la aceeași valoare a inducției magnetice este egală cu  $\rho_1(+B)$ .

Folosirea relației (4.19) s-a bazat pe faptul că rezistențele proprii nu depind de sensul cîmpului magnetic, iar pe de altă parte în cazul unor contacte relativ mici dispersia rezistențelor proprii corespunzătoare celor  $C_4^2 = 6$  perechi de electrozi este mult mai mică în comparație cu dispersia valorilor rezistivității determinată cu metoda Van der Pauw. Astfel la o inducție de  $1,8 \text{ Wb/m}^2$  a rezultat din datele experimentale o dispersie a valorilor rezistențelor proprii de 5%, deter-

Dispersia valorilor celor patru rezistivități raportată la valoarea lor medie este

$$\xi = \frac{\rho_{\max} - \rho_{\min}}{\rho_{\text{med}}} 100\% = 27,7\%$$

la inducția magnetică

$B = 1,8 \text{ Wb/m}^2$ . Determinările efectuate pe o altă placuță din InSb au pus în evidență o dispersie de 89% la o inducție magnetică de  $1,7 \text{ Wb/m}^2$ . La o placă din Ge a rezultat o dispersie de 12,4% la  $B = 1,9 \text{ Wb/m}^2$  în condițiile în care efectul magnetorezistiv fizic nu este pronunțat  $\rho_{\max}(B)/\rho(0) =$

1,14. În plus se constată că pentru aceeași pereche de electrozi se obțin valori diferite pentru rezistivi-



minată cu relația

$$\varepsilon = \frac{R_{\max} - R_{\min}}{R_{\text{med}}} \cdot 100\%$$

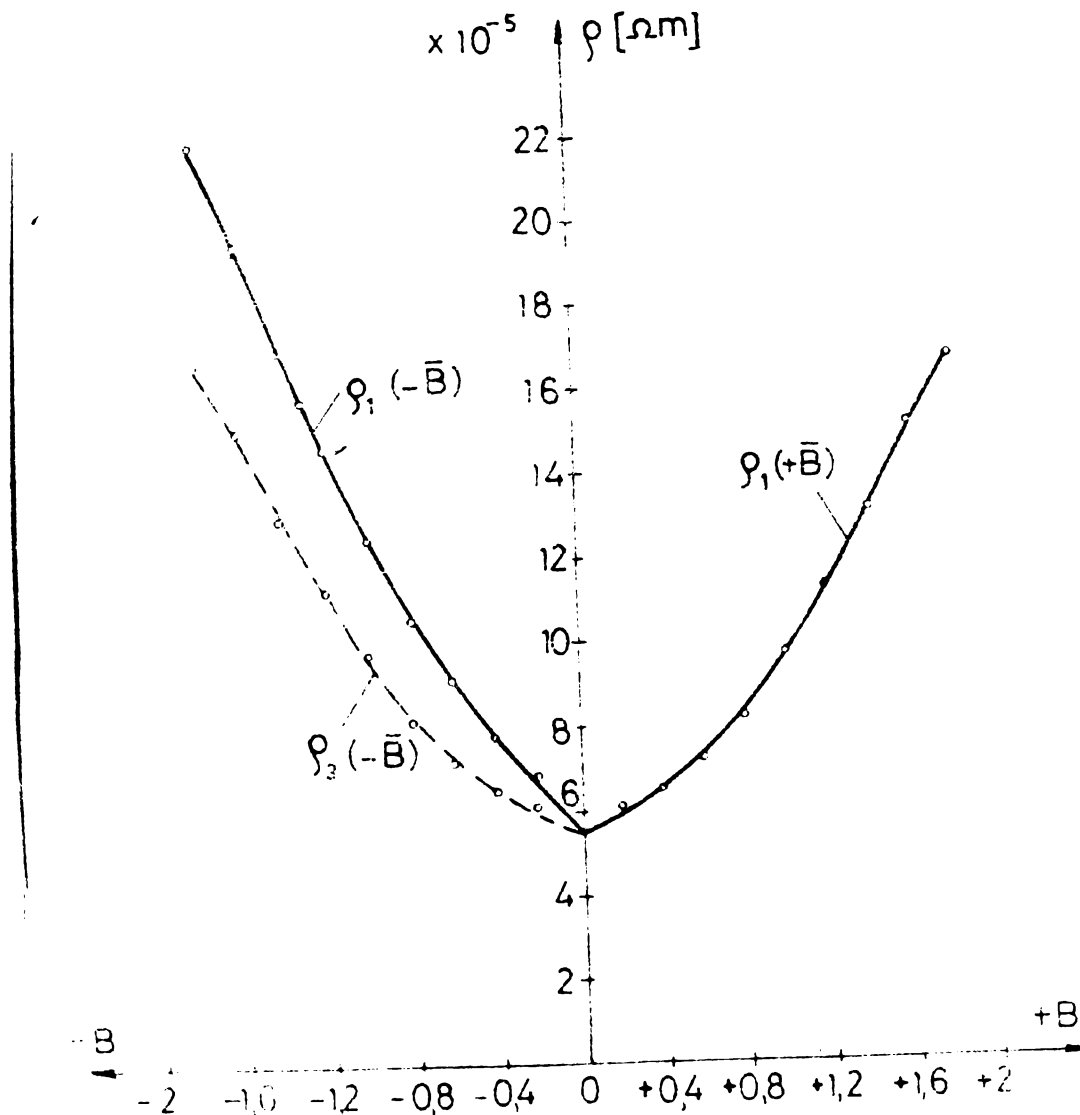


Fig.5.9.

În figura 5.10 este prezentată dependența de inducția magnetică a rapoartelor  $R(B)/R(0)$  corespunzătoare perechilor de electrozi la care efectul magnetoresistiv este maxim respectiv minim.

În figura 5.11 s-a reprezentat raportul  $R(B)/R(0)$  cel mai mic, iar cu linie întreruptă s-a reprezentat pentru informare și variația raportului  $\rho_{\text{med}}(B)/\rho(0)$  determinat cu metoda Van der Pauw.

O altă modalitate de determinare a rezistivității în prezența inducției magnetice a fost menționată în lucrarea [11] în care s-a aplicat metoda Van der Pauw și în prezența inducției magnetice însă în locul rezistențelor de transfer au fost considerate doar componentele ce nu depind de sensul

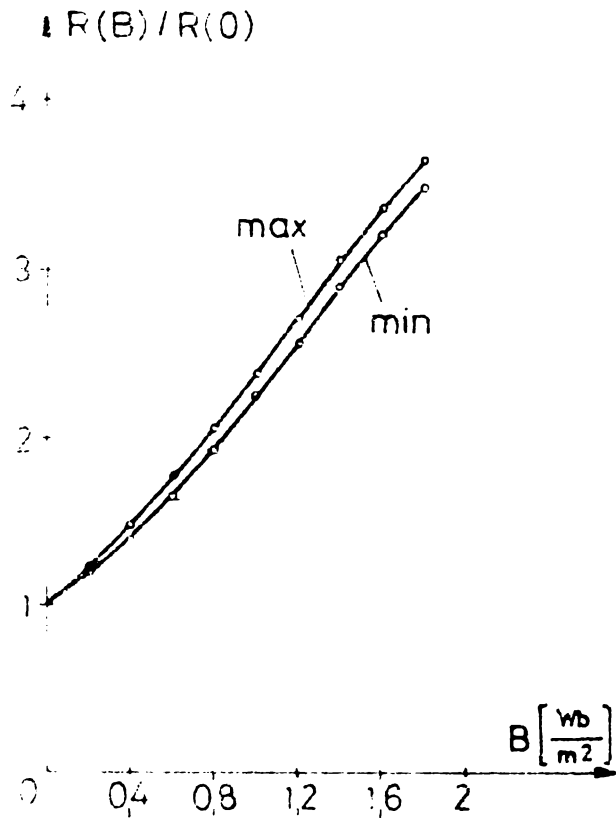


Fig. 5.10.

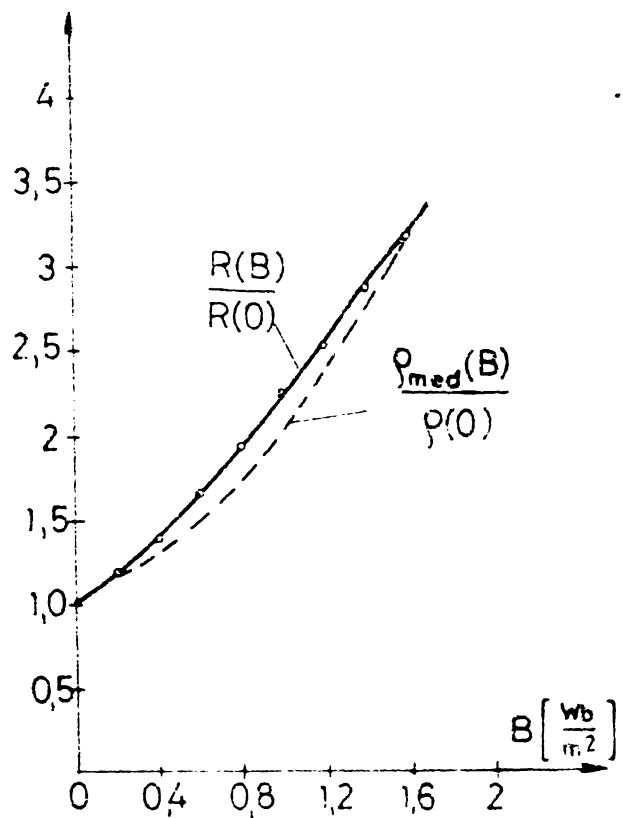


Fig. 5.11.

inducției magnetice.

In figura 5.12 este reprezentată variația raportului  $\rho(B)/\rho(0)$  determinat cu relația (4.20).

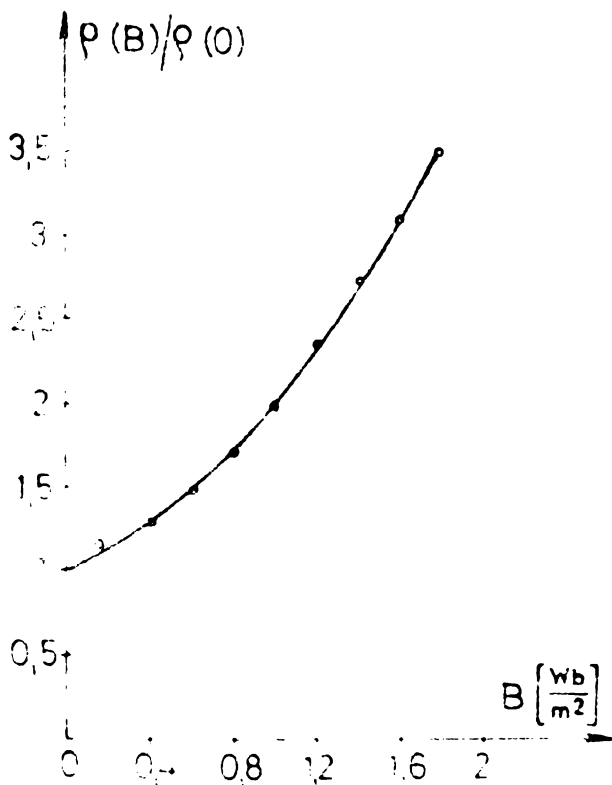


Fig. 5.12.

Se constată din rezultatele experimentale că rezistivitatea astfeli calculată diferă foarte puțin de rezistivitatea medie calculată pe baza relațiilor lui Van der Pauw. Eroarea relativă maximă față de valoarea medie a citurilor  $\rho(B)/\rho(0)$  determinate după Van de Pauw este de 0,73%, ce corespunde la inducția magnetică  $B = 1,6 \text{ Wb/m}^2$ .

3. Determinările experimentale ale coeficientului Hall, folosind metoda lui Van der Pauw (rel.4.28), au scos în evidență faptul că prin inversarea contactelor de alimentare 1-3 cu 2-4 rezultă valori diferite ale coeficientului Hall.

În figura 5.13 s-a reprezentat cu linii continue de-

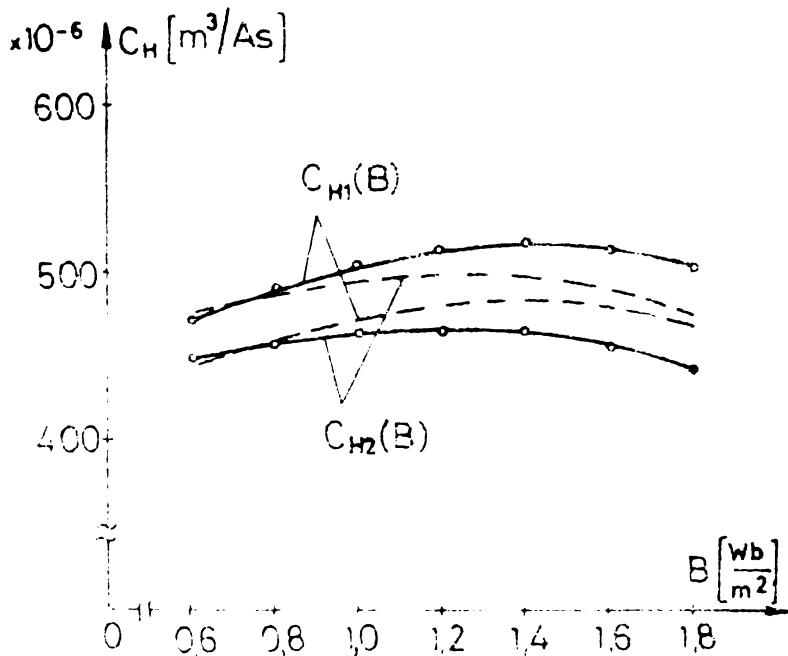


Fig.5.13.

pendența de inducția magnetică a coeficientului Hall corespunzător celor două perechi de electrozi de alimentare,  $C_{H1}(B)$  și  $C_{H2}(B)$ .

Diferența dintre cele două valori raportată la valoarea medie, exprimată în procente

$$\xi = \frac{C_{H1} - C_{H2}}{C_{Hmed}} 100\%$$

este reprezentată cu linie continuă în

figura 5.14. De menționat că la schimbarea sensului cîmpului magnetic au rezultat

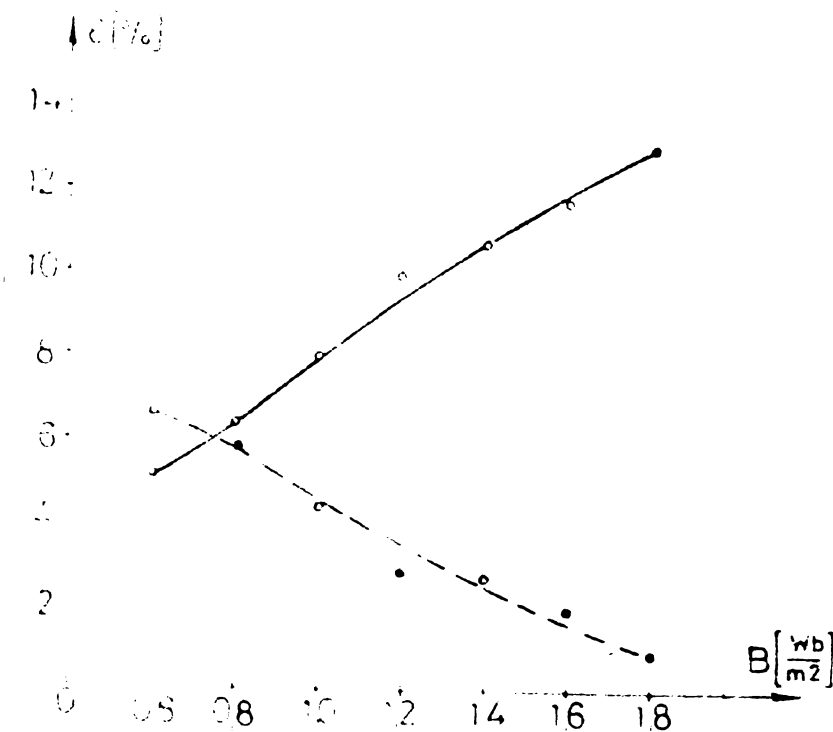


Fig.5.14.

este reprezentată cu linie întreruptă dependența valorilor  $C_{H1}(B)$  și  $C_{H2}(B)$  de inducția magnetică, calculate cu relația (4.30), iar în figura 5.14 dependența de inducția magne-

au rezultat valori diferite ale coeficientului Hall pentru aceleași perechi de electrozi. O dispersie mai mică a valorilor coeficientului Hall determinate în raport cu cele două perechi de electrozi se obține dacă se calculează coeficientul Hall cu relația (4.30), ce ține seama și de efectul magnetorezistiv fizic. În figura 5.13

tică a erorii  $\varepsilon$ . Se observă că la inducții mari dispersia valorilor coeficientului Hall calculate cu relația (4.30) este mult mai mică decât în cazul valorilor calculate cu relația (4.28).

O altă modalitate de-a determina coeficientul Hall constă în schimbarea sensului cîmpului magnetic și aplicarea relației (4.31). În figura 5.15 este reprezentată dependența coeficientului Hall  $C_{H1}$  calculat cu relația (4.28) la cele două sensuri ale cîmpului magnetic, precum și dependența coeficientului Hall  $C_{H1}^*$  calculat cu relația (4.31).

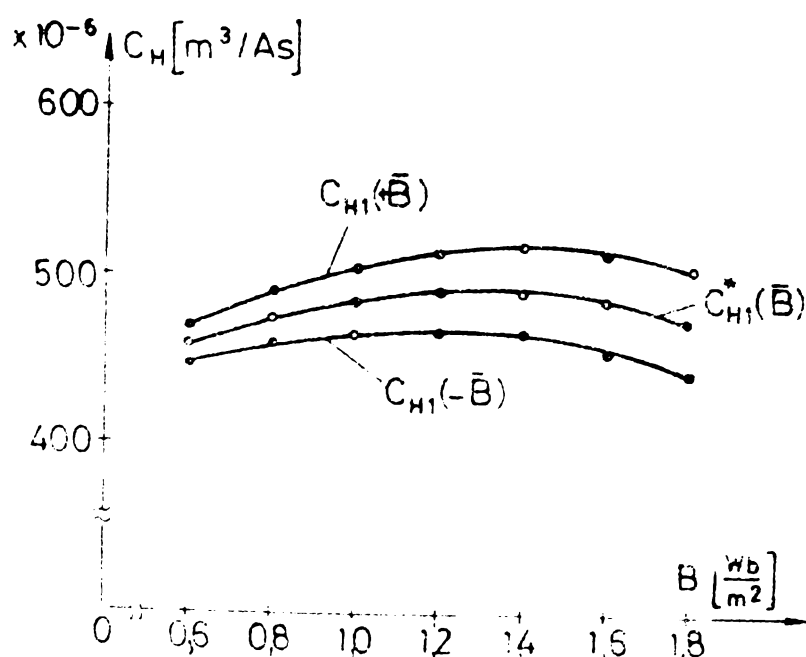


Fig.5.15.

De menționat că prin aplicarea relației (4.31) se obține aceeași valoare pentru coeficientul Hall și la inversarea rolului perechilor de electrozi, adică cînd se stabilește cîrent între electrozii 2-4 și se măsoară tensiunea la electrozii 1-3.

#### 5.4. Determinări experimentale referitoare la metoda modelizării electrocinetice.

Determinarea parametrilor fizici în prezența inducției magnetice,  $\rho(B)$  și  $C_H(B)$ , folosind metoda modelizării electrocinetice s-a făcut pentru două plăcuțe din InSb și anume o plăcuță dreptunghiulară cu electrozi de alimentare plini (pe toată lățimea) la care se cunosc din literatură factorul tensiunii Hall  $F$  și factorul geometric de creștere a rezistenței  $k_r$ , în funcție de raportul dimensiunilor plăcii  $\lambda = a/b$  și de unghiul  $\theta$  și o plăcuță de formă arbitrară cu contacte filiforme la care se pot determina parametri fizici în cîmp magnetic și cu metoda Van der Pauw.

$\alpha_1$ . La placa dreptunghiulară cu dimensiunile din figura 5.16 s-a măsurat rezistența proprie în absența cîmpului magnetic  $R(0) = 1 \Omega$ , rezistența proprie în cîmp magnetic transver-

sal  $R(B) = 1,76 \Omega$ , tensiunea Hall la un curent de comandă de 100 mA,  $U_H = 66 \text{ mV}$  și tensiunea de zero  $U_{33}(0) = 0$ . Valoarea inducției magnetice a fost egală cu  $1 \text{ Wb/m}^2$ .

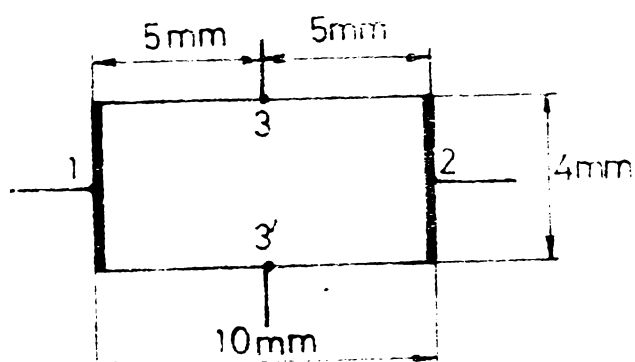


Fig.5.16.

pat o fișie de lățime  $l = 4 \text{ cm}$  în vederea realizării „paralelogramului Hall” ce reprezintă conform modelul.

Valorile inițiale ale parametrilor fizici s-au calculat cu relațiile

$$\frac{\rho(0)}{h} = R(0) \frac{b}{a} = 0,4 \Omega ; \quad \frac{C_H(0)}{h} = \frac{U_H}{i_0 B} = 0,66 \text{ m}^2/\text{As}$$

cu ajutorul cărora se calculează

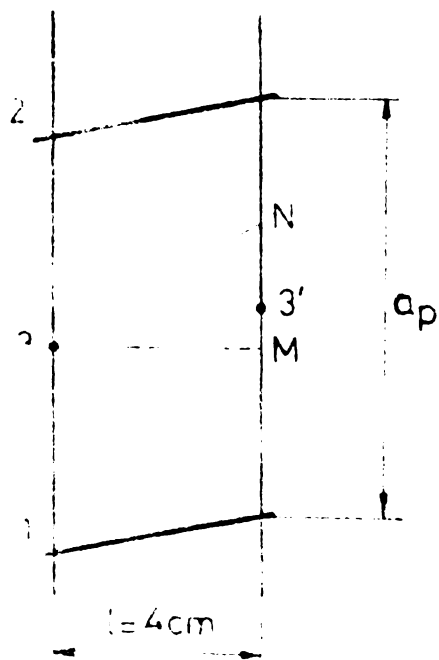


Fig.5.17.

$$\text{tg} \theta_0 = \frac{C_H/h}{\rho(0)/h} \cdot B = 1,69$$

Se determină segmentele  $a_p$ , MN și  $N3'$  ca în figura 5.17, cu ajutorul cărora se calculează noile valori ale mărimilor

$$\frac{\rho(B)}{h} = \frac{1}{a_p} R(B) ; \quad \frac{C_H(B)}{h} = \frac{MN}{N3'} \cdot \frac{U_H}{i_0 B} ;$$

$$\text{tg} \theta = \frac{C_H(B)/h}{\rho(B)/h} \cdot B$$

în care  $R(B)$ ,  $U_H$ ,  $i_0$  și  $B$  corespund plăcii reale.

În tabelul 5.3 sînt prezentate mărimile determinate la fiecare iterație,  $n$  reprezentînd numărul iterațiilor. Rezultă astfel pentru parametrii fizici în prezența inducției magnetice valorile  $\rho(B) = 0,56 \cdot h [\Omega \text{m}]$ ,  $C_H(B) = 0,67 \cdot h [\text{m}^3/\text{As}]$ , în care  $h$  este grosimea plăcii exprimată în metri.

TABELUL 5.3

n	$\operatorname{tg} \theta_{n-1}$	$a_p$ [cm]	MN [cm]	N3' [cm]	$\rho(B)/h$ [ $\Omega$ ]	$C_H(B)/h$ [ $m^2/As$ ]	$\operatorname{tg} \theta_n$
1	1,65	12,5	6	6,5	0,56	0,01	1,09
2	1,09	12	4,3	4,1	0,586	0,69	1,18
3	1,18	12,5	4,7	4,6	0,56	0,67	1,19
4	1,17	12,7	4,8	4,7	0,56	0,67	1,19

Pentru factorul geometric de creștere a rezistenței electrice în prezența cîmpului magnetic se obține valoarea

$$k_r = \frac{R(B)}{R(0)} \cdot \frac{\rho(0)}{\rho(B)} = 1,257$$

iar pentru factorul tensiunii Hall rezultă

$$F = \frac{C_{H\infty}/h}{C_H/h} = 0,985$$

Din reprezentările grafice ale factorilor menționați, întîlnite în literatură [70,95] rezultă la raportul laturilor  $\lambda = a/b = 2,5$  și un unghi de aproximativ  $50^\circ$  ce corespunde  $\operatorname{tg} \theta = 1,19$ , valorile  $k_r = 1,25$  și  $F = 0,98$ , ceea ce confirmă justetea valorilor obținute prin metoda modelizării electrocinetice.

(3. La o placă din Inob de formă oarecare cu electrozi rili-formi dispuși arbitrar pe periferie (fig. 5.18) s-au făcut determinări de parametri fizici în prezența inducției magnetice

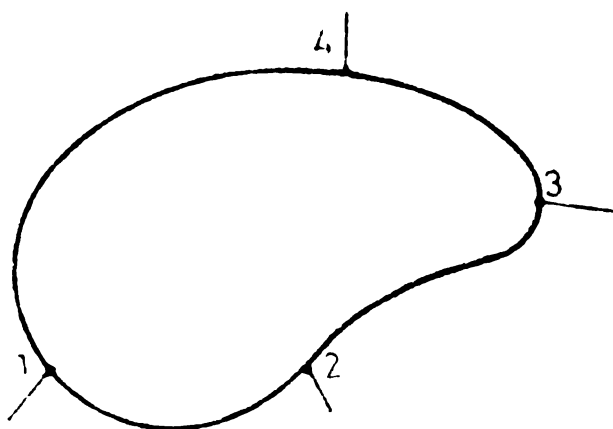


Fig. 5.18.

atît cu metoda Van der Pauw cît și cu metoda modelizării electrocinetice.

Rezultatele măsurărilor efectuate la un curent de comandă de 50 mA sînt redată în tabelul 5.4.

TABLELUL 5.4

$B$ [mT]	Van der Pauw			Modelizare	
	$U_{34}$ [mV]	$U_{41}$ [mV]	$U_{24}$ [mV]	$U_{13}$ [mV]	$U_{14}$ [mV]
0	0,49	2,92	2,38	47,88	26,30
+0,5	0,50	3,28	23,15	67,77	26,04
-0,5	0,66	3,95	-17,20	67,77	46,40
+1,0	0,68	4,52	47,45	99,40	31,20
-1,0	0,92	5,80	-39,27	99,40	72,72

Cu ajutorul acestor valori se pot calcula cu relațiile (1.59), (4.31), (4.18) și (4.40) mărimile prezentate în tabelul 5.5.

TABLELUL 5.5.

$B$ [mT]	Van der Pauw			Modelizare	
	$R_1^a$ [ $\Omega$ ]	$R_2^a$ [ $\Omega$ ]	$U_H$ [mV]	$R_p$ [ $\Omega$ ]	$U_H^m$ [mV]
0	0,0098	0,0584	0,0	0,9576	0,0
0,5	0,0116	0,0693	20,175	1,5554	19,760
1,0	0,0160	0,1052	43,360	1,9880	41,520

Folosind metoda Van der Pauw se poate calcula în absența cimpului magnetic raportul

$$\frac{\rho(0)}{h} = \frac{\pi}{\ln 2} \cdot \frac{R_1 + R_2}{2} f = 0,122 \Omega$$

iar pentru determinarea rezistivității și coeficientului Hall în prezența inducției magnetice se folosesc relațiile (4.20) și (4.31).

Valorile obținute sînt trecute în tabelul 5.6.

Tablelul 5.6

$B$ [mT]	0	0,5	1,0
$\rho/h$ [ $\Omega$ ]	0,122	0,145	0,210
$c/h$ [ $m^2/As$ ]	-	0,807	0,807



Prin fotografierea plăcii din InSb și mărire s-a realizat un model asemănător din hirtie electroconductoare, la care stabilindu-se între electrozii filiformi 1 și 3 un curent de 1 mA s-au măsurat tensiunile  $U_{13} = 39$  V și  $U_{14} = 17,8$  V. Din aceeași hirtie electroconductoare s-a confecționat paralelogramul Hall corespunzător, decuindu-se o bandă cu lățimea  $l = 1$  cm. Determinările s-au făcut analog ca la placa dreptunghiulară, pentru două valori ale inducției magnetice. Rezultatele obținute sînt trecute în tabelul 5.7.

TABELUL 5.7.

B	n	$\text{tg}\theta_{n-1}$	$a_p$ [cm]	MN [cm]	ND [cm]	$\frac{\rho(B)}{h}$ [ $\Omega$ ]	$\frac{C_H}{n}$ [ $\text{m}^2/\text{As}$ ]	$\text{tg}\theta_n$
0,5	1	3,3	10	3,3	3,2	0,136	0,815	3,0
	2	3,0	10	3,0	2,9	0,136	0,803	2,9
	3	2,9	9,2	2,9	2,8	0,147	0,804	2,7
	4	2,7	9,2	2,7	2,6	0,147	0,804	2,7
1	1	6,9	10	6,9	6,8	0,198	0,832	4,2
	2	4,2	9,8	4,2	4,1	0,203	0,846	4,1
	3	4,1	9,8	4,1	4,0	0,203	0,846	4,1

Abaterile relative între valorile determinate cu metoda Van der Pauw și cu metoda modelizării electrocinetice sînt trecute în tabelul 5.8.

TABELUL 5.8

$B$ [ $\text{wb}/\text{m}^2$ ]	0,5	1,0
$\frac{\rho(B)}{h}$ [ $\Omega$ ]	1,4 %	3,31 %
$\frac{C_H(B)}{n}$ [ $\text{m}^2/\text{As}$ ]	0,37 %	2,42 %

Pentru calculul coeficientului Hall cu metoda modelizării electrocinetice, tensiunea Hall a fost determinată cu metoda celor trei electrozi prezentate în paragraful 4.2.2 din capitolul 4. Această metodă a fost verificată experimental pe plăcuțe Hall cu tensiunea de zero practic nulă. S-a măsurat tensiunea Hall  $U_H$  între electrozii 2-3', precum și tensiunile între electrozii 1-3 la cele două sensuri ale inducției

magnetice, la același curent de comandă stabilit între electrozii 1-2 (fig.5.19)

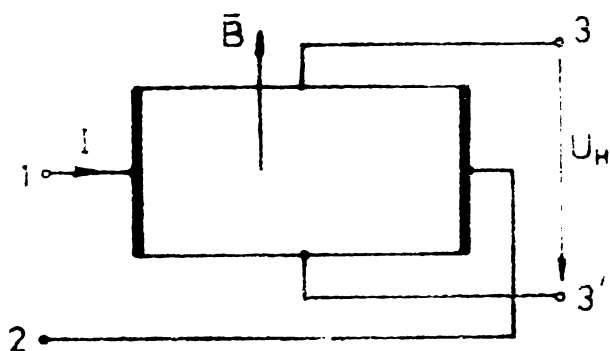


Fig.5.19.

În figura 5.20 sînt prezentate cele trei tensiuni menționate, măsurate la diferite valori ale inducției magnetice la o placă din InAs. Deoarece tensiunea de neechipotențialitate a electrozilor 3-3' este practic zero, pentru tensiunea Hall s-a obținut aceeași valoare la ambele sensuri ale inducției magnetice.

Tensiunea Hall calculată cu relația (4.40) corespunde cu bună precizie cu tensiunea Hall măsurată între electrozii 3-3', echipotențiali în absența inducției magnetice.

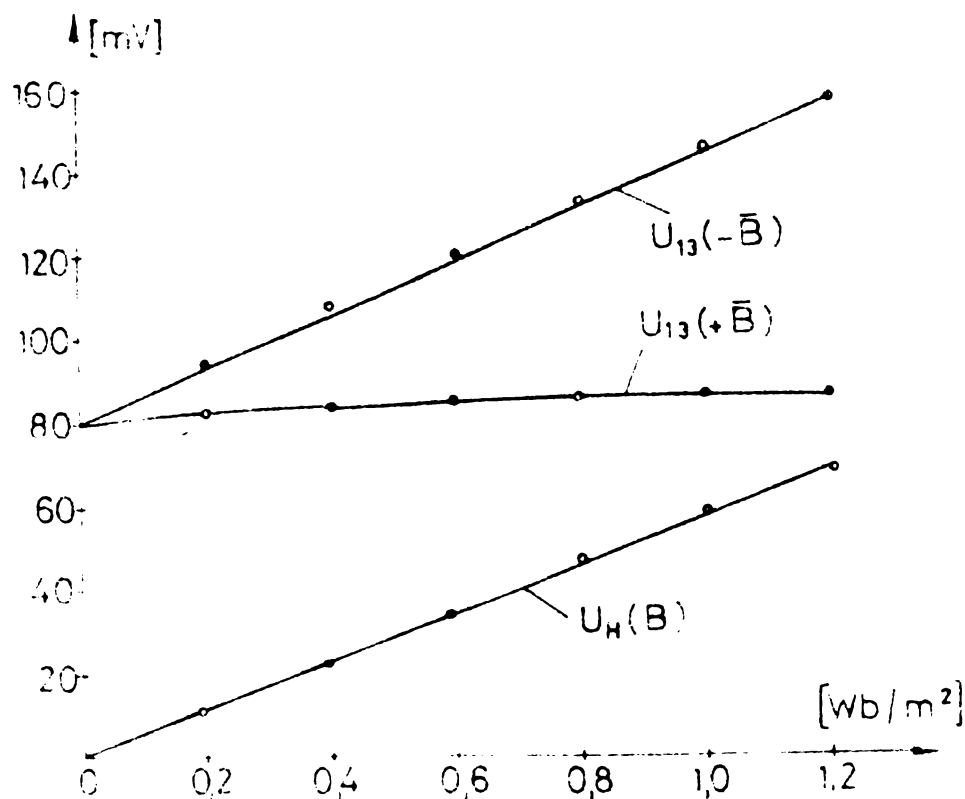


Fig.5.20.

În figura 5.21 este reprezentată cu linie continuă tensiunea Hall măsurată la electrozii 3-3' iar cu mici triunghiuri au fost marcate valorile tensiunii Hall calculate cu relația (4.40).

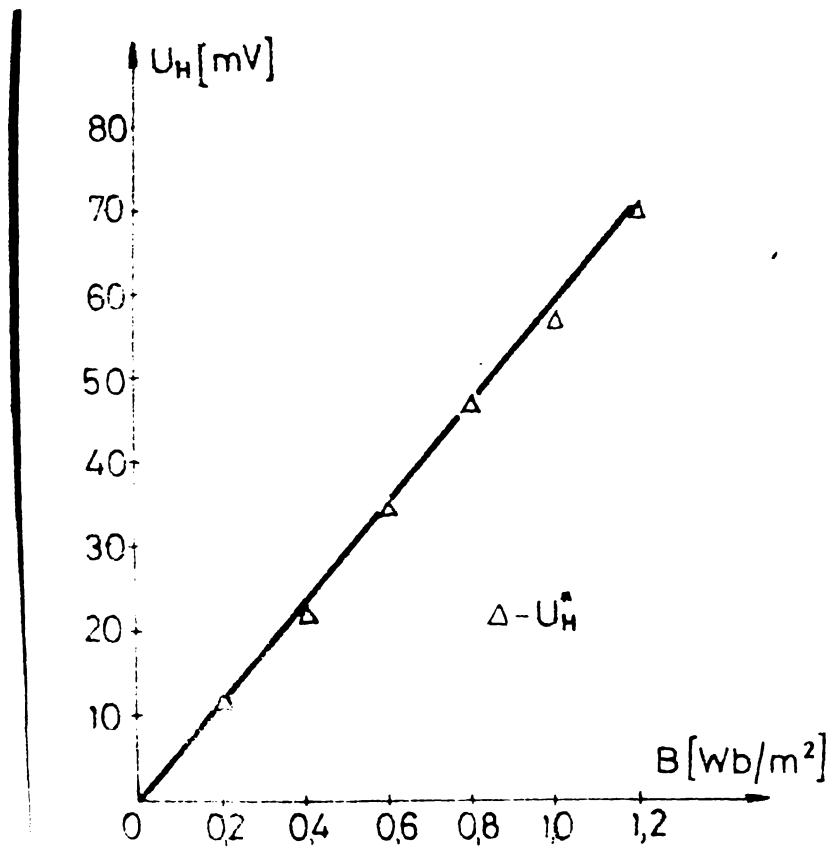


Fig.5.21.

## C O N C L U Z I I

Problemele rezolvate în prezenta lucrare pot fi grupate astfel :

A. Precizări în legătură cu definirea parametrilor fizici ai materialelor semiconductoare în câmp magnetic și în legătură cu dependența de sensul inducției magnetice a parametrilor globali ai dispozitivelor galvanomagnetice de formă și dimensiuni arbitrare.

B. Sistematizarea, completarea și dezvoltarea unor metode de calcul a câmpului electrocinetic staționar în vederea determinării parametrilor fizici ai materialelor semiconductoare,  $\rho$  și  $C_H$ , în condiții de studiu mai generale.

C. Calculul câmpului electrocinetic staționar în plăci simetrice în vederea stabilirii unor expresii de calcul a rezistivității și coeficientului Hall în câmp magnetic precum și evaluarea unor erori ce pot interveni la determinarea acestor parametri.

Determinările experimentale efectuate sînt în concordanță cu rezultatele obținute pe cale analitică.

Principalele contribuții originale ale autorului în cadrul celor trei mari grupe de probleme menționate sînt:

A.1) Stabilirea unei posibilități de definire a parametrilor fizici în câmp magnetic,  $\rho(B)$  și  $C_H(B)$ , pe baza unor criterii energetice, pornind de la legea conducerii electrice în formă locală, stabilită în cadrul fizicii corpului solid. Prin acest mod de definire, parametrii fizici ai materialelor semiconductoare sînt independenți de geometria sistemului, așa cum sînt de altfel interpretați în cadrul teoriei macroscopice a fenomenelor electromagnetice.

A.2) Demonstrarea unei teoreme de reciprocitate în câmpuri magnetice netransversale. Pe baza acestei teoreme s-a stabilit invarianța rezistențelor proprii ale dispozitivelor galvanomagnetice, de formă și dimensiuni arbitrare, de sensul câmpului magnetic.

A.3) Punerea în evidență în expresiile rezistențelor de transfer ale dispozitivelor galvanomagnetice, de formă și dimensiuni arbitrare situate în câmp magnetic netransversal, a două

componente dintre care numai una depinde de sensul cîmpului magnetic.

B.1) Sistemizarea metodelor de determinare a parametrilor fizici ai materialelor semiconductoare întîlnite în literatură, cu precizări privind ipotezele de calcul și domeniile de aplicabilitate.

B.2) Stabilirea condițiilor necesare pentru ca relațiile de calcul ale rezistivității în absența cîmpului magnetic să rămîină valabile și în prezența cîmpului magnetic.

Demonstrarea valabilității în cîmp magnetic transversal a relației de calcul a rezistivității la plăci de formă arbitrară, dedusă de Van der Pauw în absența cîmpului magnetic, reprezintă o confirmare a necesității îndeplinirii condițiilor menționate.

B.3) Precizări în legătură cu aplicarea metodei Van der Pauw în prezența cîmpului magnetic, propunîndu-se folosirea raportului rezistențelor proprii  $R(B)/R(0)$  sau considerarea doar a componentelor rezistențelor de transfer ce nu depind de sensul cîmpului magnetic.

S-a elaborat și un program de calcul numeric a rezistivității la plăci de formă arbitrară, folosind algoritmul Newton-Raphson cu precizări privind inițializarea procedurii de calcul.

B.4) Stabilirea unei noi metode de determinare a tensiunii Hall la plăci de formă arbitrară, folosind doar trei electrozi. Aceasta a permis dezvoltarea metodei modelizării electrocinetice pentru determinarea rezistivității și coeficientului Hall în cîmp magnetic transversal la plăci de formă arbitrară, indicîndu-se și o nouă variantă de aplicare.

C.1) Calculul cîmpului electrocinetic plan-paralel în prezența cîmpului magnetic transversal, uniform și invariabil în timp, la o placă semiconductoare de extindere foarte mare, în vederea stabilirii unor relații de calcul a rezistivității și coeficientului Hall. De asemenea, stabilirea influenței dimensiunilor finite ale electrozilor de alimentare folosind analogia electrostatică, calculîndu-se eroarea cu care se determină rezistivitatea în absența cîmpului magnetic dacă se consideră electrozi filiformi.

C.2) Calculul cîmpului electrocinetic în plăci circulare în prezența cîmpului magnetic transversal în vederea

stabilirii unor relații de calcul a ~~rezistivității~~ și coeficientului Hall. Se menționează posibilitatea determinării  $\rho(B)$  și  $C_H(B)$  la aceeași poziție a electrozilor, efectuând două măsurări la cele două sensuri ale câmpului magnetic.

În continuare se stabilește influența dimensiunii finite a unei plăci circulare folosind metoda funcției Green, calculându-se erorile cu care se determină rezistivitatea și coeficientul Hall dacă se consideră placa infinit extinsă.

3.3) Calculul câmpului electrocinetic într-o placă dreptunghiulară cu electrozi filiformi situată într-un câmp magnetic transversal în vederea determinării expresiilor de calcul ale ~~rezistivității~~ și coeficientului Hall pentru electrozi de măsurare așezați simetric și nesimetric. Factorii din expresiile rezistivității și coeficientului Hall ce depind de dimensiuni geometrice sînt calculați numeric pe baza unor programe în FORTRAN.

3.4) Stabilirea unei metode iterative de calcul a rezistivității și coeficientului Hall pentru o anumită valoare a inducției magnetice la plăci dreptunghiulare cu electrozi de comandă plini (pe toată lățimea plăcii).

Determinările experimentale efectuate pe un stand realizat după concepția autorului se referă la următoarele: verificarea independenței rezistențelor proprii de sensul câmpului magnetic; verificarea dependenței de valoarea și sensul câmpului magnetic a rezistențelor de transfer precum și a celor două componente ale acestora; determinarea dependenței de valoarea și sensul câmpului magnetic a rezistivității, calculată după Van der Pauw, pentru diferite perechi de electrozi; determinarea dependenței coeficientului Hall de valoarea inducției magnetice; verificarea experimentală a noii metode de determinare a tensiunii Hall cu ajutorul a trei electrozi; determinarea rezistivității și coeficientului Hall în câmp magnetic la o placă dreptunghiulară și la una de formă arbitrară, folosind metoda modelizării electrocinetice.

În afară studiului comportării dispozitivelor galvanomagnetice în aplicațiile tehnice și a cunoașterii proprietăților electrice ale materialelor semiconductoare folosite la aceste dispozitive, rezultatele obținute în prezenta lucrare prezintă interes atât în domeniul electrotehnicii teoretice, privind dezvoltarea unor metode de calcul a câmpului electrocinetic staționar în condiții de studiu mai generale, cât și în tehnica măsurărilor.



B I B L I O G R A F I E

1. ANLARS, H., Messverfahren zur Bestimmung der Störstellenverteilung in Halbleitern, Nachrichtentechnik, 1969, nr.10, p.285
2. ANDREASCU, N., O metodă pentru determinarea conductivității electrice a corpurilor masive, izotrope și anizotrope, electrotehnica, 1967, nr.11, p.397.
3. ANDREASCU, N., Deformarea câmpului electric datorită risurilor existente într-un conductor masiv aflat în regim electrocinetic staționar. Aplicații în defectoscopia nedistructivă, electrotehnica, 1968, nr.8, p.285.
4. ANDREASCU, N., Determinarea prin iterație a soluției ecuației lui Poisson, pentru un câmp plan, în domeniul cuprins între două cercuri concentrice, electrotehnica, 1969, nr.6, p.205.
5. ANDREASCU, N., aplicații ale repartiției câmpurilor electrice continue în conductoare masive în măsurarea conductivității electrice și în defectoscopia nedistructivă, Studii și Cercetări de Fizică, 1972, nr.1, p.15.
6. ANDREASCU, N., LABUSCA, S., VASILIU, S., Sur la détectabilité des défauts macroscopiques des matériaux conducteurs par des essais électriques, Revue Roumain de Physique, 1967, nr.5, p.503.
7. ANDREASCU, N., TANAS, O., Mesure de la conductibilité électrique des matériaux anisotropes au moyen des petits échantillons, Revue Roumain de Physique, 1967, nr.5, p.531
8. BARLOW, H. G., The Application of the Hall Effect in a Semiconductor to the Measurement of Power in an Electromagnetic Field, Proc. Inst. Elec. Engrs., 1955, nr.2, p.179
9. BARR, A. C., Galvanomagnetic effects in Semiconductors, Solid State Physics, 1963, Suppl.4, p.50.
10. BISHOP, F. S., HANCOX, J. L., Apparatus for measuring the Normal Hall Coefficient in Magnetic Conductors, Rev. Sci. Instr., 1971, nr.11, p.1674.
11. BIZOUARD, E., CERISIER, P., DE GAUCHY, B., Appareil d'enregistrement de la conductivité électrique et de la température, A.G.S., 1966, nr.7-8, p.097.
12. BOGOMOLOV, V. I., Ustroistvo s datchikami Halla i datchikami magnetosoprotivlenie, Gosenergoizdat, Moskva, 1961.



13. BONNEFILLE, R., Sur quelques applications électrotechniques des effets magnéto-électriques dans les semiconducteurs, *Solid State Electronics*, 1966, nr.5, p.533.
14. BRAININ, M.N., BRAININ, S.I., Oprederenie udelnoi electroprovodimosti metalov na obrazjah v forme discov i listov, *Zavodskaja Laboratoria*, 1967, nr.1, p.47.
15. BROUDY, R.M., Galvanomagnetic Coefficients for Arbitrary Geometry, *Journal Appl. Phys.*, 1958, nr.5, p.853.
16. BUEHLER, M.G., PARSON, J.L., Magnetoconductive correction factors for an isotropic Hall plate with point sources, *Solid State Electronics*, 9, 1966, p.395.
17. BUSCH, C, JAGGI, R., BRAUNSCHEIG, P., Ballistische Methode zur Messung des Hall-Effekts mit induzierten Strömen, *Helv. Phys. Acta*, 26 3/4, 1956, p.392.
18. CLAWSON, A.R., WISDER, H.H., Bibliography on the Hall effect theory and applications, *Solid State Electronics*, 7, 1964, p.387.
19. CRISTEA, V., Instalație pentru studierea variației cu temperatura a constantei Hall, a conductibilității electrice și a magnetorezistenței, *Studia Universitatis Babeș-Bolyai Cluj, Seria Physica*, 1973, nr.1, p.25.
20. DANCEA, I., Programarea calculatoarelor numerice pentru rezolvarea problemelor cu caracter tehnic și de cercetare științifică, Editura Dacia, Cluj, 1973.
21. DE MEY, G., VAN CAMPANHOUT, J., hall-beweglichkeitmessungen auf dünnen halbleiterschichten, *A.T.M.*, 1975, nr.4, p.55.
22. DE SABATA, I., Cimpul electric din transductoare Hall în regim ovasistaționar, Teză de doctorat, I.P. Timisoara, 1966.
23. DEW-HUGGESS, D., JONES, A.H., BROCK, G.S., Improved automatic Four-Point Resistivity Probe, *Rev. Sci. Instr.*, 1959, nr.10, p.920
24. DOBRES, S., Contribuții la studiul generatorului Hall ca element de circuit, Teză de doctorat, I.P. Timisoara, 1978
25. DONOGHUE, J.J., BARTLY, R.P., A new Method for precision Measurement of the Hall and Magnetoresistive Coefficients, *Rev. Sci. Instr.*, 1951, nr.7, p.513.
26. DURN, S.S., MC CRACKEN, D.D., Metoda numerice cu programe în FORTRAN IV, editura Tehnică, București, 1976.

27. DRABLE, J.R., SOLFS, R., Geometrical Effects in Transverse Magnetoresistance Measurements, *J. Electronics and Control*, 1957, nr.3, p.259.
28. DURAND, S., *Electrostatique*, tom.III, Masson, Paris, 1960.
29. EDEN, R.C., ZARZAN, S.I., Semiautomatic Hall effect Measurements System, *Rev.Sci. Instr.*, 1970, nr.7, p.1030.
30. EMILIANOV, A.I., KONKOV, V.L., O zavisimosti rezultatov zondovih izmerenii provodimosti poluprovodnikovih obrazcov ot ih tolscini, *Izv.Vys.Zav.Fizica*, 1967, nr.5, p.114.
31. FISCHER, G., GRAIG, D., MOOSER, S., Apparatus for the Measurement of Galvanomagnetic Effects in High Resistance Semiconductors, *Rev.Sci.Instr.*, 1961, nr.7, p.842.
32. FLUGGE, S., *Handbuch der Physik*, vol. XI, Halbleiter, Springer-Verlag, 1957.
33. FRANKEL, D., *Traductoare galvanomagnetice*, editura Facla, Timisoara, 1974.
34. FRANKEL, D., DA SABATA, I., *Praductorul Hall*, editura Tehnică, București, 1968.
35. FRANKEL, D., GRUN, U., Uber die Methode der Nullspannungskompensation bei Hallgeneratoren, *Solid State Electronics*, 12, 1969, p.201.
36. GEMMICH, H., etc., eine Methode zur Messung des Hall-Effektes an Materialien mit hohem spezifischen Widerstand, *Zeitschrift Angew.Phys.*, 1967, nr.4, p.269.
37. GRANN, M., electrode geometries for which the transverse magnetoresistance is equivalent to that of a Corbino disk, *Solid State Electronics*, 2, 1961, p.314.
38. GRANN, M.A.GUNN, M.S., Four point probe hall effect and resistivity measurements upon semiconductors, *Solid State Electronics*, 1972, nr.5, p.577.
39. GRUN, U., Generatorul hall in sarcina in regim de functionare stationara, Teza de doctorat, I.P.Timisoara, 1971.
40. GULASRUP, V.F., SCHONRODAR, F.A., Grenzen der Anwendbarkeit des 4 - Spitzen-Gleichstrom-Mesverfahrens an Silicium-Proben, *A.T.M.*, 1960, nr.10, p.237.
41. GUPAI, L., Determination of galvanomagnetic coefficients by a one-point method, *Solid State Electronics*, 16, 1973, p.395.

42. GÚTAI, L., On some mathematical methods used in the solution of the mixed boundary value problems of electrical transport measurements, Acta Techn. Acad. Scient. Hungaricae, 80, 1975, p.251.
43. GÚTAI, L., KOJZAS, I., Determination of semiconductor-metal contact resistance by an angle-dependent geometrical magnetoresistance method, Appl. Phys. Letters, 1975, nr. 0, p.325.
44. HARGREAVES, J. K., MILLARD, D., The accuracy of four-probe resistivity measurements on silicon, Brit. J. Appl. Phys., 1962, nr. 5, p.231.
45. HELER, A., Contribuții teoretice și experimentale privind folosirea efectelor galvanomagnetice din materiale semiconductoare la măsurarea puterilor electrice, Teză de doctorat, I.P. Timișoara, 1966.
46. HEMLINGER, P. J., Measurement of high Resistivity Semiconductors using the Van der Pauw Method, Rev. Sci. Instr., 1973, nr. 6, p.698.
47. MANNINGS, A. J., STRAHL, U. D., Eine einfache Impulsmethode zur Messung des Hall-Effektes, Zeitschrift angew. Phys., 1968, nr. 8, p.149.
48. HILTONYI, M., WEISS, H., Die galvanomagnetischen Eigenschaften von InSb bei hohen Magnetfeldern, Solid State Electronics, 5, 1962, p.71.
49. HORN, M., Zur Messung von Halbleiterschichten auf andersleitender Unterlage mit einer Fünfspitzenmethode, Zeitschrift angew. Phys., 1963, nr. 6, p.491.
50. HORNSTRA, J., VAN DER PAUW, L. J., Measurement of the Resistivity Constants of anisotropic Conductors by means of Plane-Parallel Discs of Arbitrary Shape, J. Electronics and Control, 1959, nr. 2, p.169.
51. HOTTIAN, S. D., POHL, H. G., Four Probe Cell for Resistivity Measurements at Temperature independent Pressures, Rev. Sci. Instr., 1971, nr. 3, p.387.
52. JACCARD, C., Four-Point Methode for Measuring the Volume and Surface Conductivities of a thin Sample, Zeitschrift Angew. Mathem. und Phys., 1960, nr. 6, p.657.
53. KALASV, I. G., LAVRENKOVA, L. G., PUGREBNIK, I. P., Experimentalnoe sravnenie catirentoocchinih metodov izmerenia effekta Halla s electroprovodnosti, Izv. Vis. Uceb. Zav. Fizica, 1969, nr. 2, p.20.

54. KENNEDY, J.K., Four-Point Probe for Measuring the Resistivity of Small Samples, Rev.Sci.Instr., 1962, nr.7, p.773.
55. KEYWELL, E., DOROCIESKI, G., Measurement of the Sheet Resistivity of a Square Wafer with a Square Four-Point Probe, Rev.Sci.Instr., 1960, nr.8, p.833.
56. KIRSAV, I.O., Fizica semiconductorilor, editura științifică și enciclopedică, București, 1977.
57. KITTEL, C., Introducere în fizica corpului solid, editura tehnică, București, 1972.
58. KONROV, V.L., K teorii izmerenia electroprovodnosti poluprovodnikovih plenok metodom zondov, Fizica Tverdogo Tela, 1964, nr.1, p.304.
59. KONROV, V.L., Ob izmerenii postoianoi holla poluprovodnikovih plenok metodom zondov, Fizica Tverdogo Tela, 1964, nr.1, p.308.
60. KONROV, V.L. O provodimosti tonkih poluprovodnikovih plenok na provodiaschih podlojkah, Fizica Tverdogo Tela, 1964, nr.7, p.2207.
61. KONROV, V.L., RUBTCOVA, R.A., O teorii zondovih izmerenii na electroprovodimosti poluprovodnikovih plenok, Izv. Vis.Sob. Zav.-Fizica, 1965, nr.1, p.135
62. KUERT, I., LIPPMANN, H., Hallgeneratoren. Eigenschaften und Anwendungen, Springer-Verlag, Berlin, 1968.
63. LANGS, J., Method for Hall Mobility and Resistivity Measurements on thin Layers, Journal Appl.Phys., 1964, nr.9, p.2659.
64. LAPLUMS, J., Bases théoriques pour la mesure de la resistivité et de la constante hall par la méthode des points, L'onde électrique, 1955, nr.2, p.113.
65. LAVINE, J.M., alternate Current Apparatus for Measuring the Ordinary Hall Coefficient of ferromagnetic Metals and Semiconductors, Rev.Sci.Instr., 1958, nr.11, p.970.
66. LAPUSAN, V., Contribuții la studiul și aplicarea efectului magnetoresistiv, Tesă de doctorat, I.I. Timișoara, 1971.
67. LIPPMANN, H.J., KUERT, I., Der Geometrieinfluss auf den transversalen magnetischen Widerstandskoeffizient bei rechteckförmigen Halbleiterplatten, Z.f.Naturforsch., 13a, 1958, p.462.

68. LIPPMANN, H.J., KUERT, P., Der Geometrieinfluss auf den Hall - Effekt bei rechteckigen Halbleiterplatten, Z. f. Naturforsch., 13 a, 1958, p.474.
69. LOGAN, M.A., An AC Bridge for Semiconductor Resistivity Measurements using a Four-Point Probe, The Bell Syst. Techn. Jour, 1961, nr.3, p.885.
70. MADLUNG, O., Physics of III-V Compounds, John Wiley & Sons, Inc., 1964.
71. MIRCEA, A., Semiconductor sheet resistivity measurements on square samples, J. Sci. Instr., 1964, nr.11, p.679.
72. MIRCEA, A., The Geometric Factor in Semiconductor Four-Probe Resistivity Measurements, Solid State Electronics, 6, 1963, p. 459.
73. NAGELS, P., DEVRACSE, J., DENOYER, M., Electronic Conduction in Single Crystals of Uranium Dioxide, Journal Appl. Phys, 1964, nr.4, p.1175.
74. NICOLA, A., Fizica semiconductorilor și aplicații, Editura didactică și pedagogică, București, 1975.
75. NOVACU, V., Culegere de probleme de electrodinamică, editura tehnică, București, 1964.
76. OBSERLÄNDER, S., WILHELM, W.J., Geometriefaktoren für elektrische Leitfähigkeit und Feldstärke in symmetrisch kontaktierten Quadern, Phys. Status Solidi, 1965, nr.2, p.569.
77. PAULNACK, C.L., CHAPLIN, N.J., Minimal Maintenance Probe for Precise Resistivity Measurement of Semiconductors, Rev. Sci. Instr., 1962, nr.6, p.873.
78. PERRIER, A.L., Mesures magnétogalvaniques et champs radiaux, Helv. Phys. Acta, 25, 1952, p.469.
79. PINSKER, A.P., Primeneniia poluprovodnikov v generatorov Holia v avtomatike, Kiev, 1961.
80. PISTOULET, B., Mesures des propriétés électriques des semi-conducteurs, L'Onde Électrique, 1955, nr.1, p.71.
81. POHL, R.G., Hall Effect Measurement in Semiconductor Rings, Rev. Sci. Instr., 1959, nr.9, p.783.
82. PUSKAS, F., ILONCA, GH., O instalație pentru măsurarea constantei Hall și a rezistenței electrice la semiconductori în regim de impulsuri, Studii și cercetări de fizică, 1967, nr.2, p.167.
83. PUTLEY, F.H., The Hall effect and related phenomena, London, Butterworth, 1960.
84. RADULĂȚ, R., Bazele electrotehnicii. Probleme. vol. I, Editura didactică și pedagogică, București, 1970.



85. RAVUZ, J., L'effet Hall et son application à la détermination des paramètres caractéristique des semiconducteurs, R.G.S., 1967, nr.4, p.644.
86. RZEWUSKI, H., WERNER, Z., New Double-Frequency Method for Hall Coefficient Measurements, Rev.Sci.Instr., 1965, nr.2, p.235.
87. SCHNABEL, P., Vierpunktmetode zur Messung der elektrischen Widerstandanisotropie, Zeitschrift Angew.Phys., 1967, nr.2, p.136.
88. SCHNABEL, P., Four-Point Method for Measuring the Anisotropy of Resistivity, Philips Res.Rep., 1964, nr.1, p.43.
89. SCHUMANN, P.A., HALLENBACK, J.F., A novel four-point probe for epitaxial and bulk semiconductor resistivity measurements, J.Electrochem.Soc., 1963, nr.6, p.538.
90. SCHUMANN, P.A., SCHLEIBER, L.S., Precision Over-Under Four-Point Probe with a small Probe Spacing, Rev.Sci.Instr., 1964, nr.8, p.959.
91. SMITS, F.M., Measurement of Sheet Resistivities with the Four-Point Probe, The Bell Syst. Techn.Jour., 1950, nr.5., p.711.
92. SZEJÁN, P., Eine neue allgemeine Methode zur Messung des spezifischen Erdbodenwiderstandes, A.T.M., 1975, nr.1, p.5.
93. SWARTZANDRUBER, L.J., Four-point probe measurement of non-uniformities in semiconductor sheet Resistivity, Solid State Electronics, 2, 1964, p.413.
94. SWARTZANDRUBER, L.J., ULLER, F.H., COLEMAN, J.A., Direct Reading Instrument for Silicon and Germanium Four-Probe Resistivity Measurements, Rev.Sci.Instr., 1968, nr.12, p.1878.
95. SORA, C., Introducere în studiul generatorului Hall, Editura Academiei, București, 1969.
96. SORA, C., Cuadripolul electric, Editura tehnică, București, 1964.
97. SORA, C., Über die Antiresiprozitätsbedingung bei Hallplättchen beliebiger Geometrie, Rev.Roum.Sci.Tech.-Electrotechnique et Energétique, 1971, nr.4, p.679.
98. SORA, C., DOBRS, S., On transfer resistances of a Hall Plate, Bul.IPT, 1974, fasc.2, p.139.
99. SORA, C., VETRAN, I., Unele considerații privind determinarea rezistivității și coeficientului Hall la materiale semiconductoare prin metoda Van der Pauw, Bul.IPT.Seria Electrotehnică, 1974, fasc.2, p.131.

100. ȘORA.C., VETRES.I., Asupra determinării rezistivității și coeficientului Hall la materiale semiconductoare, Comunicare la Ses.șt.a Univ.din Craiova, 12-13 noiembrie 1976.
101. ȘORA.C., HELSER,A., GRUN.U., VETRES,I., RADU.D., Dispozitiv pentru măsurarea curenților intensi pe bază de efect Hall, Lucrări tehnico-științifice.Electrotehnică, I.P.T., Ses.com.13-15 mai 1977, p.1.
102. ȘORA,C., FRANKEL,D., DE SABATA,I., VETRES,I., Realizarea unui prototip de Teslametru Hall, Protocol la Contractul de cercet.șt. cu IAIM Timișoara, 1974.
103. THILMAN,D., Vierspitzenmessungen des spezifischen Widerstandes von Silizium mit Wechselstrom, A.Intern. Wiss.Koll-TH Ilmenau, 1965, nr.4, p.69.
104. UHLIR,J.R.,a., The Potentials of Infinite Systems of Sources and Numerical Solutions of Problems in Semiconductor Engineering, The Bell.Syst.Techn.Jour., 1955, nr.1, p.105.
105. VAN DER PAUW, L.J., Messung des spezifischen Widerstandes und des Hall-Koeffizienten an Scheibchen beliebiger Form, Philips Techn.Rund,1958/59, nr.8,p.230.
106. VAN DER PAUW, L.J., A method of measuring specific resistivity and Hall effect of discs of arbitrary shape, Philips Res.Rep.,1958,nr.1,p.1.
107. VAN DER PAUW, L.J., Determination of resistivity tensor and Hall tensor of anisotropic conductors, Philips Res. Rep., 1961, nr.2, p.187.
108. VAUGHAN,D., Four-probe resistivity measurements on small circular specimens, Brit.Jour.,Appl.Phys.,1961,nr.8, p.414.
109. VETRES,I., Conductivitatea și coeficientul Hall ale materialelor semiconductoare în cîmp magnetic, Comunicare la Ses.șt. IPT, 27-28 octombrie 1979.
110. VETRES, I., Dependența rezistențelor proprii <sup>și</sup> de transfer ale dispozitivelor galvanomagnetice de sensul inducției magnetice, în curs de publicare la Bul.IPT.
111. VETRES,I., Unele precizări privind determinarea rezistivității în prezența inducției magnetice, Bul.IPT.Seria Electrotehnică,1977,fasc.1,p.177.



112. VĂTRĂȘ, I., Componentele rezistențelor de transfer ale materialelor semiconductoare în câmp magnetic staționar, Bul.IPT, seria electrotehnică, 1978, fasc.2, p.166.
113. VĂTRĂȘ, I., Unele precizări privind tensiunea Hall la plăci de formă oarecare, Lucrări tehnico-științifice. electrotehnică, I.P.T., ses.com.15-15 mai 1977, p.65.
114. WASSCHER, J.D., Note on Four-Point Resistivity Measurements on Anisotropic Conductors, Philips Res.Rep, 1961, nr.4, p.301.
115. WEISS, H., Galvanomagnetic properties of InSb, J.Appl.Phys., 1961, nr.10, p.2064.
116. WEISS, H., Physik und Anwendung galvanomagnetischer Bauelemente, Friedr.Vieweg.u Sohn Braunschweig, 1969.
117. Yates, B., The electrical Conductivity and Hall Coefficient of Bismuth Telluride, Journal Electr.Control, 1959, nr.1, p.26.
118. ZDRUDSKY, D.R., BUSH, H.D., FASSETT, J.R., Four Point Sheet Resistivity Techniques, Rev.Sci.Instr., 1966, nr.7, 885.

C U P R I N S

	pag.
INTRODUCERE . . . . .	1
Cap.I.PARAMETRII FIZICI AI MATERIALELOR SEMICONDUCTOARE SI PARAMETRII GLOBALI AI DISPOZITIVELOR GALVANOMAGNETICE	
1.1. Legea conducției electrice în câmp magnetic	6
X1.2. Definierea conductivității și coeficientului Hall în prezența câmpului magnetic . . . .	10
X1.3. Dependența rezistivității și coeficientului Hall de inducția magnetică . . . . .	15
1.4. O condiție de reciprocitate.Rezistențele proprii în câmp magnetic . . . . .	19
1.5. Dependența rezistențelor de transfer de viteză și sensul câmpului magnetic . . . .	22
Cap.II. UNDE PROBLEME GENERALE ASUPRA METODELOR DE DETERMINARE A PARAMETRIILOR FIZICI AI MATERIALELOR SEMICONDUCTOARE.PRIVIRE DE ANSAMBLU	
X2.1. Considerații generale . . . . .	26
2.2. Determinarea rezistivității în absența câmpului magnetic . . . . .	27
2.2.1. Spruvete cu dimensiuni mari în comparație cu distanța dintre electrozi	27
2.2.2. Plăci de dimensiuni finite . . . . .	30
2.3. Determinarea rezistivității în prezența câmpului magnetic . . . . .	33
X2.4. Determinarea coeficientului Hall . . . . .	36
2.4.1. Metode specifice pentru determinarea coeficientului Hall . . . . .	36
2.4.2. Determinarea simultană a coeficientului Hall și a rezistivității . .	39
Cap.III. METODE DE CALCUL PENTRU PLACI SIMETRICE	
3.1. Determinarea rezistivității și coeficientului Hall la plăci de extindere foarte mare	42
3.1.1. Determinarea rezistivității.Influența dimensiunilor finite ale electrozilor de alimentare . . . . .	42
X 3.1.2. Determinarea coeficientului hall ..	47
3.1.3. Influența sensului câmpului magnetic	48

	Pag.
3.2. Determinarea rezistivității și coeficientului Hall la plăci circulare . . . . .	50
3.2.1. Determinarea rezistivității cu electrozi în linie. Influența dimensiunii finite a plăcii . . . . .	50
X 3.2.2. Determinarea coeficientului Hall . . . . .	54
3.2.3. Determinarea rezistivității cu electrozi în pătrat. Influența dimensiunii finite a plăcii . . . . .	56
X 3.2.4. Determinarea coeficientului Hall și a rezistivității cu electrozi așezați nesimetric . . . . .	57
X 3.3. Determinarea coeficientului Hall și a rezistivității la plăci dreptunghiulare . . . . .	60
3.3.1. Electrozi de măsurare așezați simetric pe suprafața plăcii . . . . .	60
3.3.2. Electrozi de măsurare așezați nesimetric pe periferia plăcii . . . . .	60
3.3.3. Electrozi de alimentare pe toată lățimea plăcii . . . . .	68
Cap. IV. METODE DE CALCUL PENTRU PLĂCI AVIND O FORMĂ OARECARE	
4.1. Metoda Van der Pauw . . . . .	71
4.1.1. Determinarea rezistivității în absența cîmpului magnetic . . . . .	71
4.1.2. Aspecte caracteristice în prezența inducției magnetice . . . . .	74
4.1.3. Calculul numeric a rezistivității plăcilor de formă oarecare . . . . .	78
X 4.1.4. Determinarea coeficientului Hall la plăci de formă oarecare . . . . .	81
4.2. Determinarea rezistivității și coeficientului Hall la plăci de formă oarecare cu metoda modelizării . . . . .	83
4.2.1. Unele proprietăți ale paralelogramului Hall . . . . .	83
4.2.2. O nouă metoda de determinare a tensiunii Hall . . . . .	85
4.2.3. O altă variantă a metodei modelizării	87

**Cap.V. DETERMINARI EXPERIMENTALE**

5.1. Instalația de măsurare . . . . .	89
5.2. Determinarea experimentală a parametrilor globali ai dispozitivelor galvanomagnetice	91
5.3. Rezultate experimentale privind îmbunătă- țirea metodei Van der Pauw . . . . .	95
5.4. Determinări experimentale referitoare la metoda modelizării electrocinetice . . . . .	100
CONCLUZII . . . . .	107
BIBLIOGRAFIA . . . . .	110